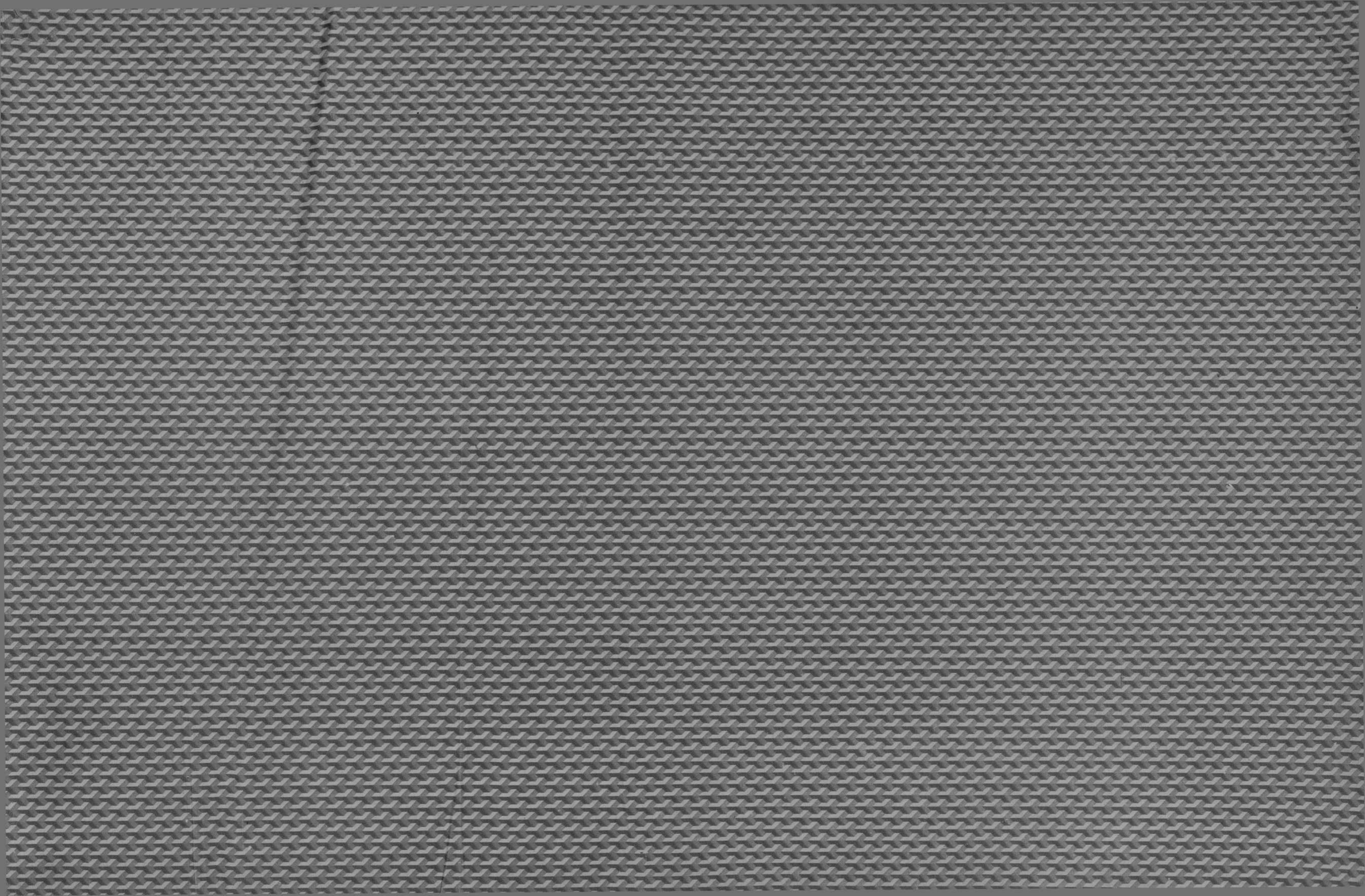


REVOLLEDO

CONSTRUCCION GENERAL

ATLAS

10011





CONSTRUCCION GENERAL,

POR

D. JOSÉ A. REBOLLEDO.

INGENIERO JEFE

Y PROFESOR DE LA ESCUELA DE CAMINOS, CANALES Y PUERTOS,

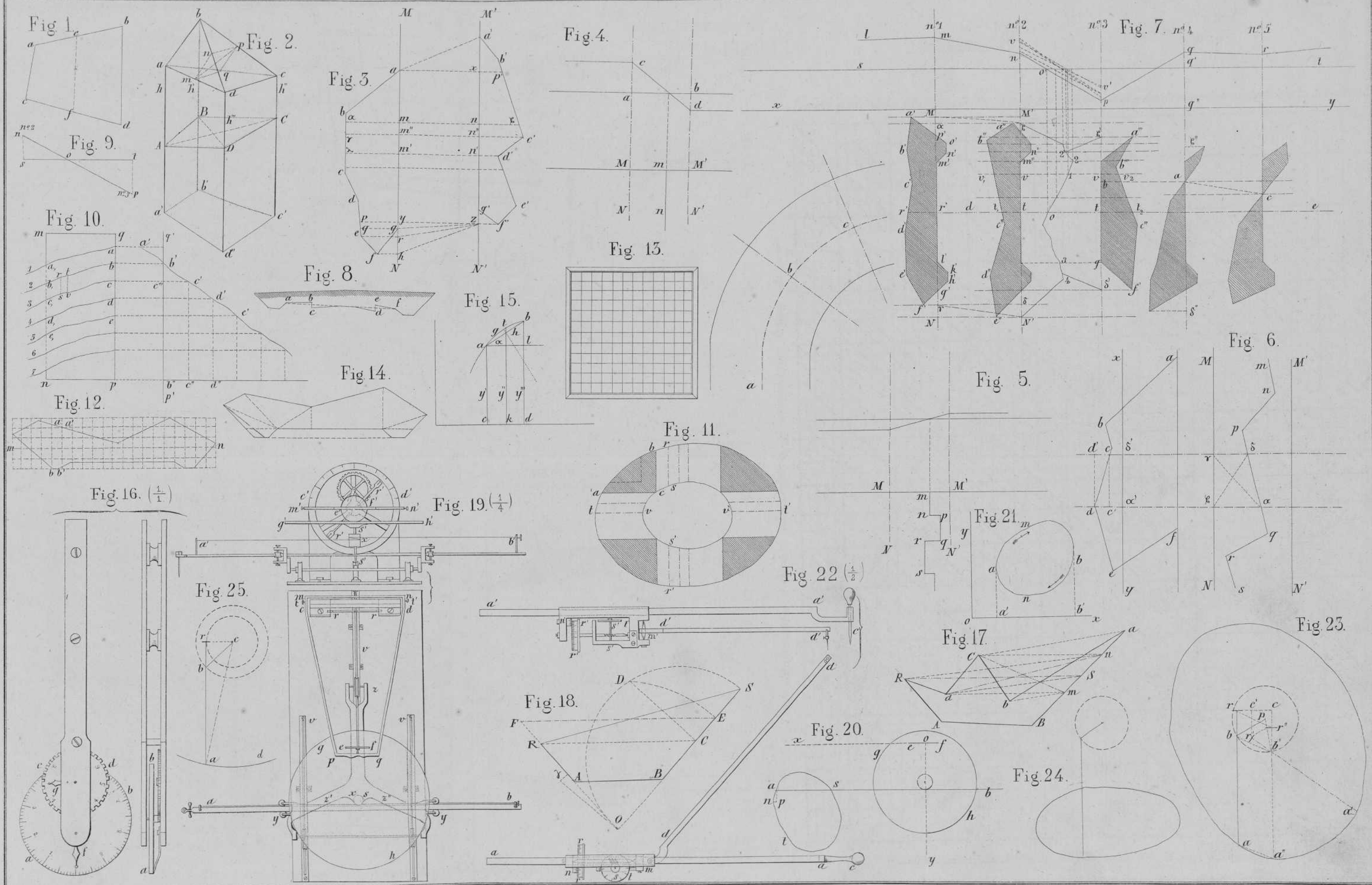
INDIVIDUO DE NÚMERO

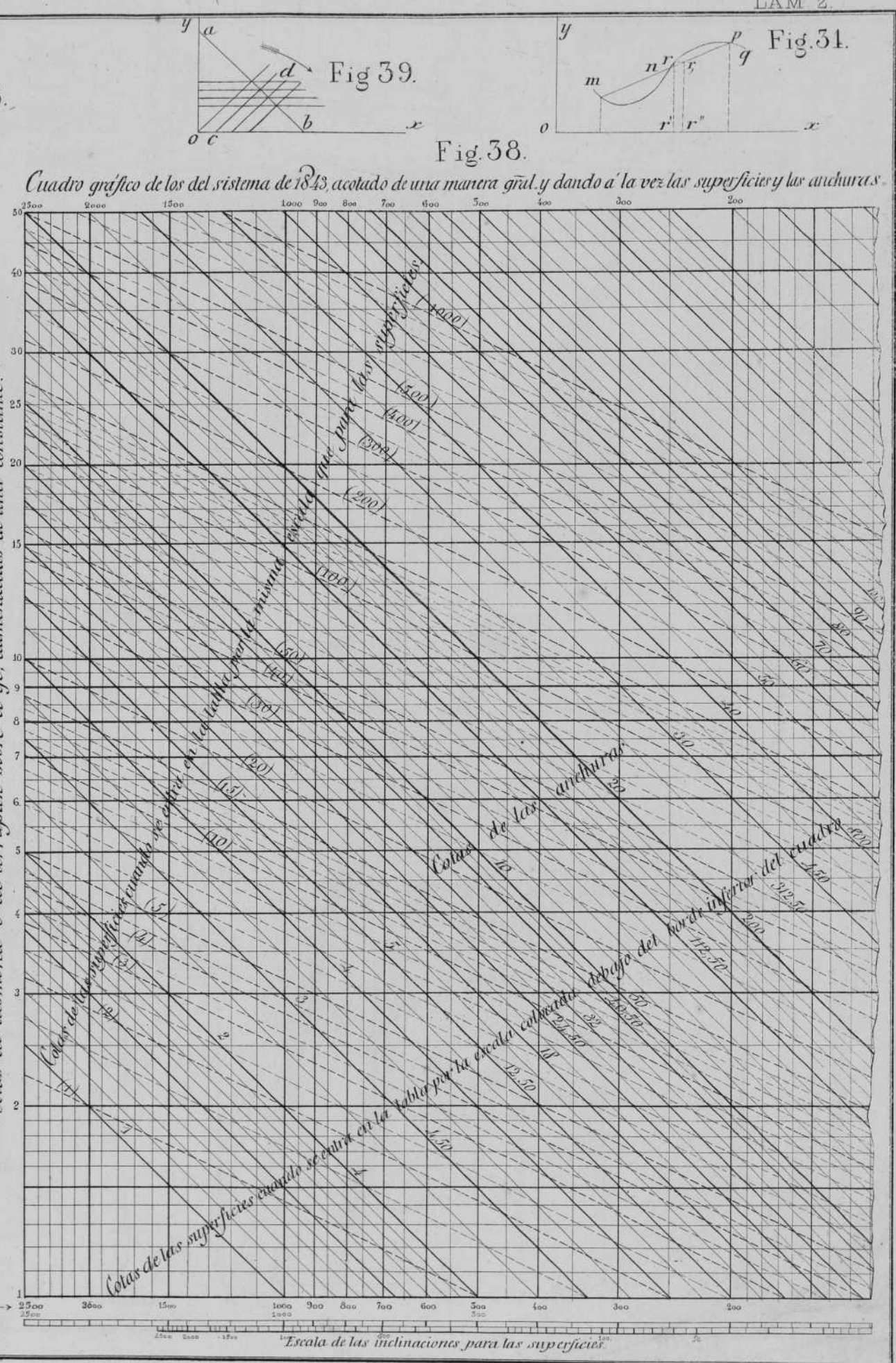
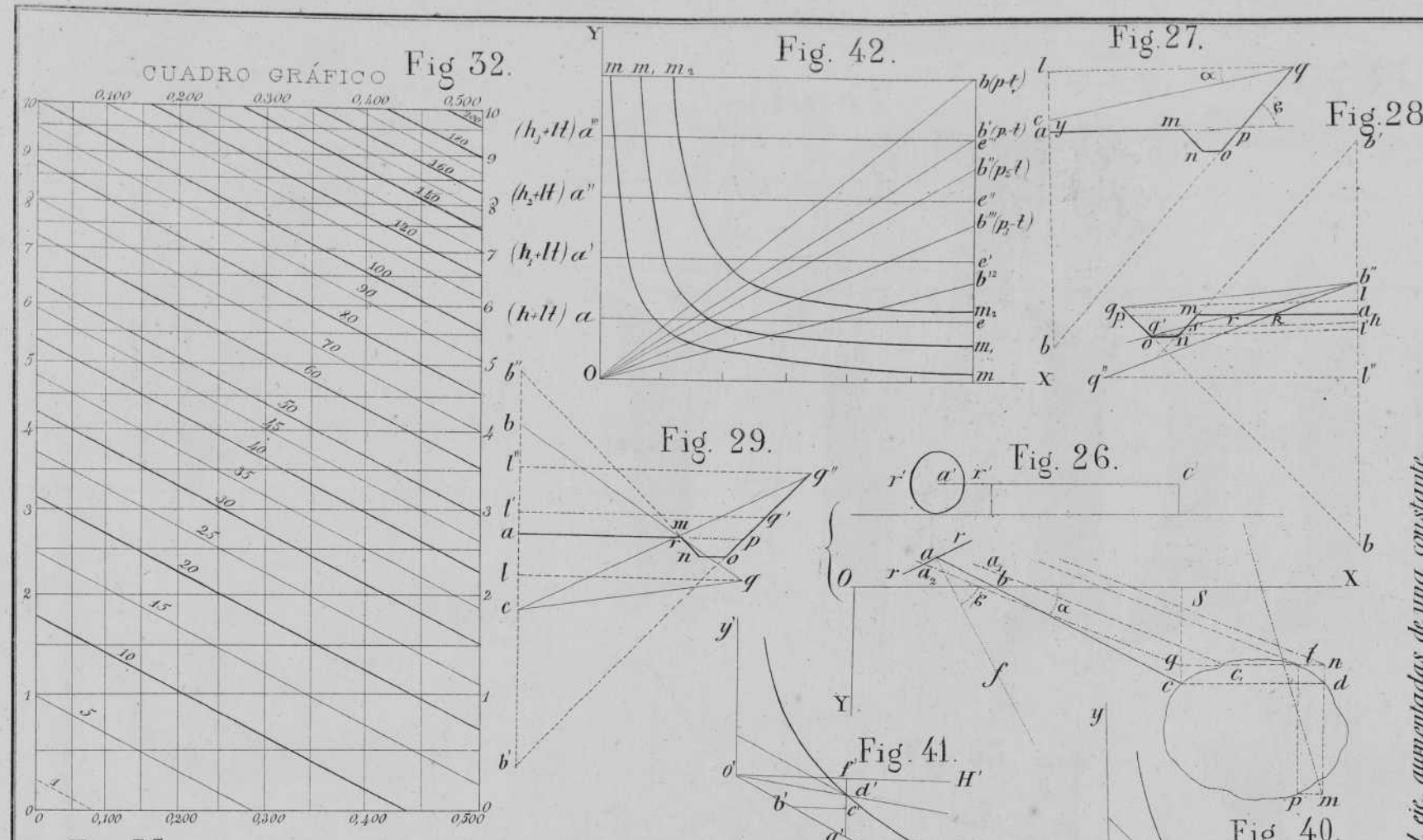
DE LA SOCIEDAD ARQUEOLÓGICA TARRACONENSE, ETC.

ATLAS.



MADRID 1876.





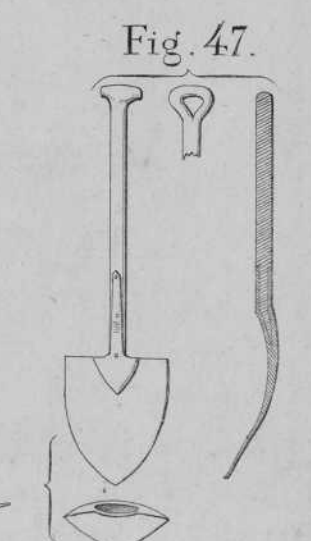
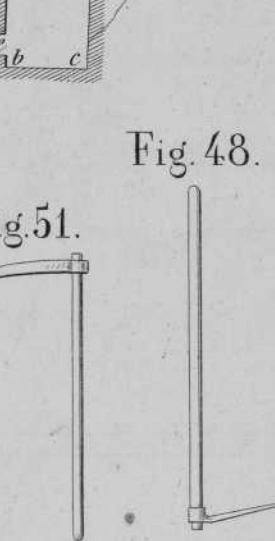
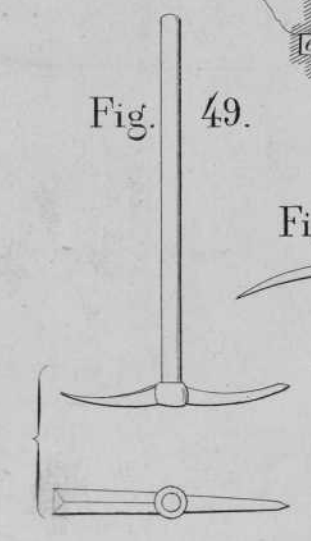
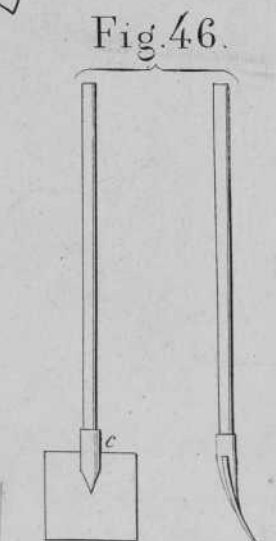
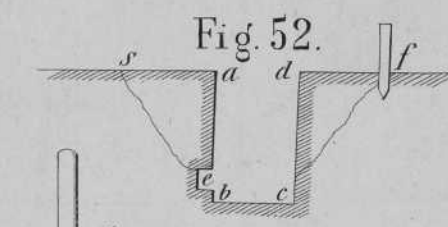
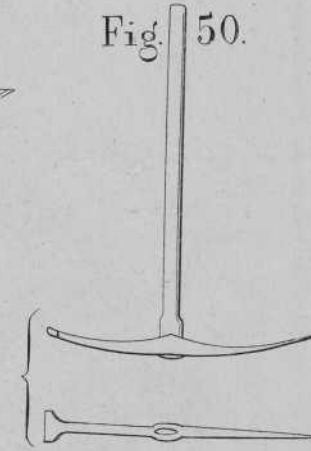
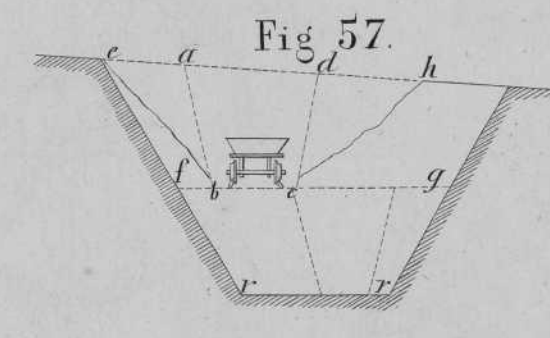
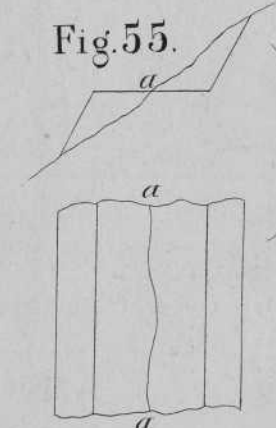
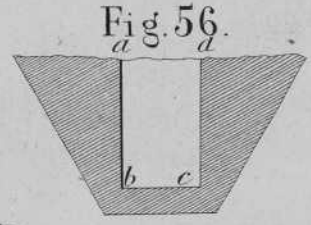
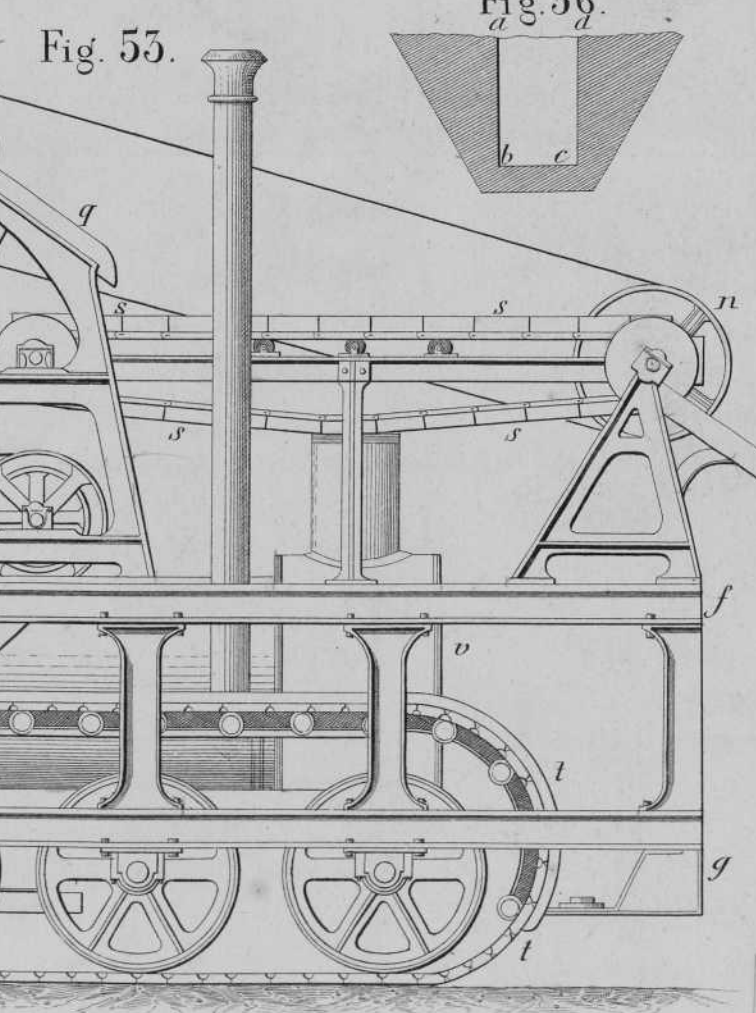
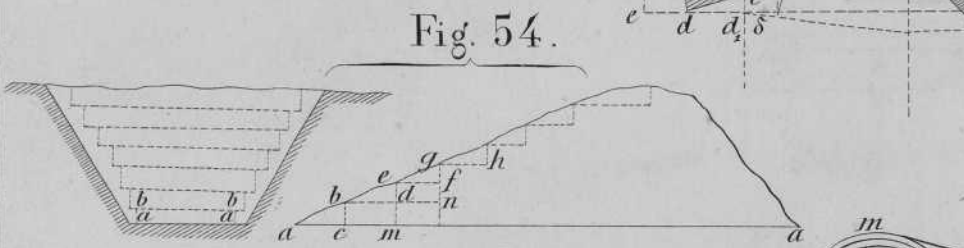
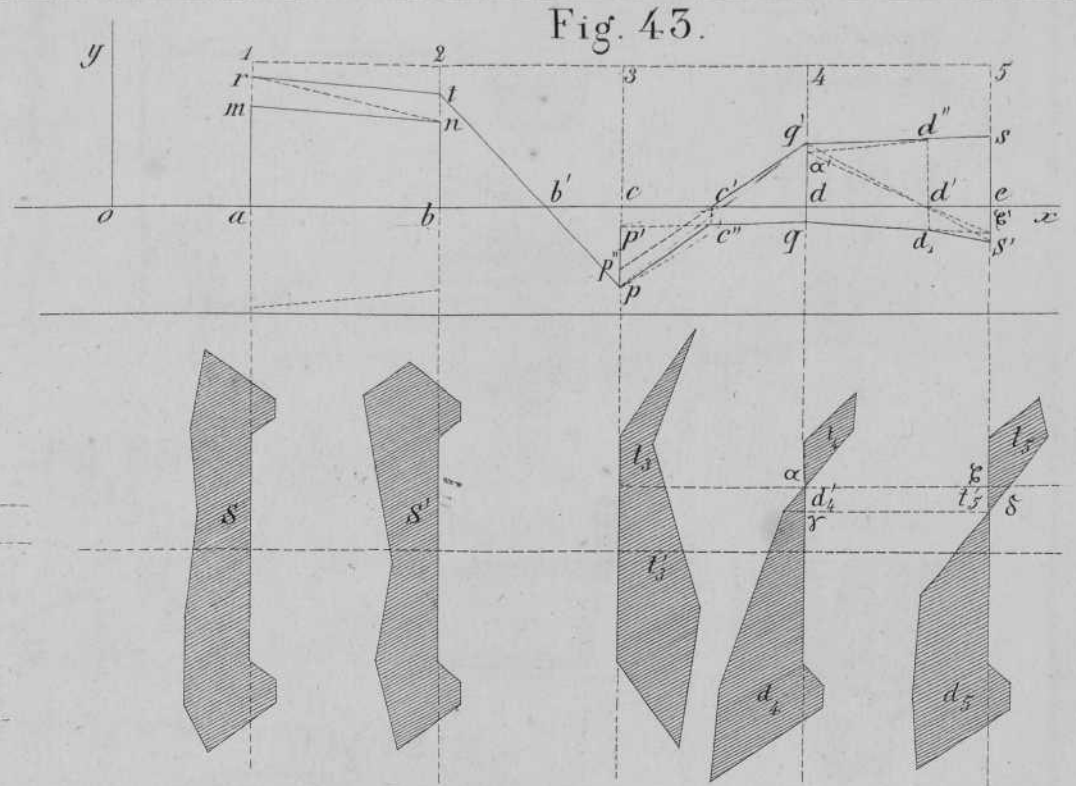
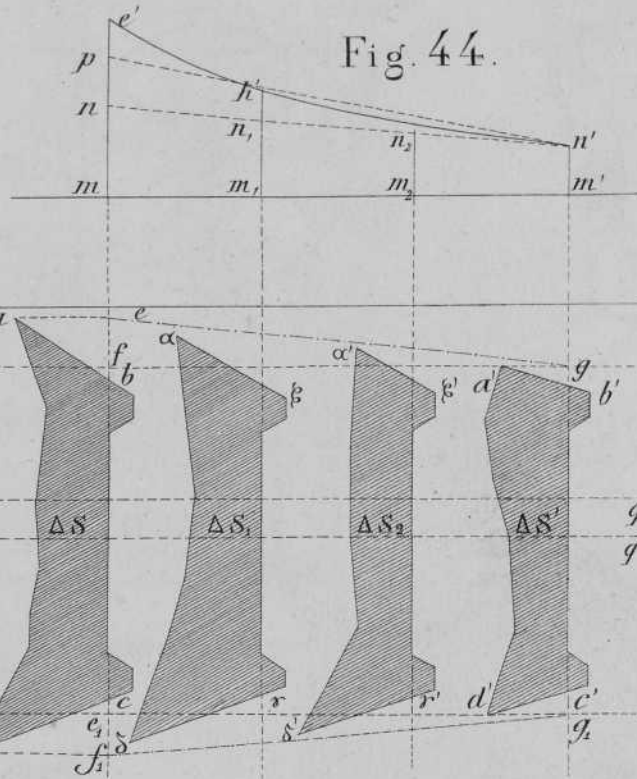
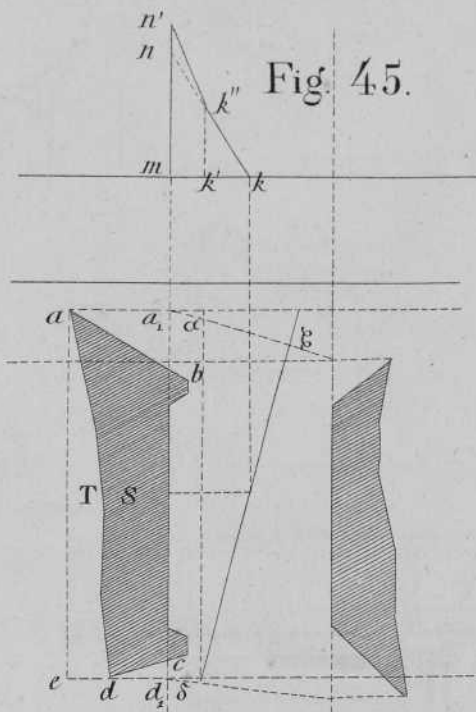
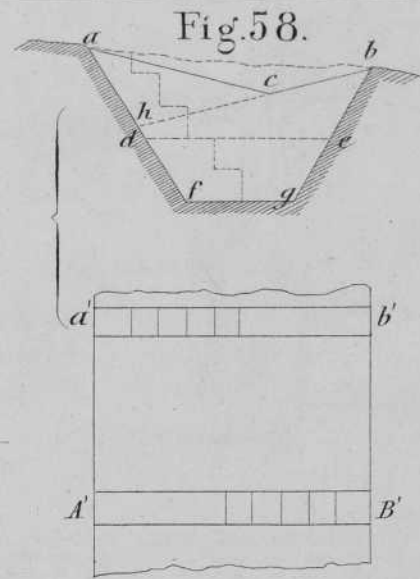


Fig. 59. ($\frac{1}{26}$)

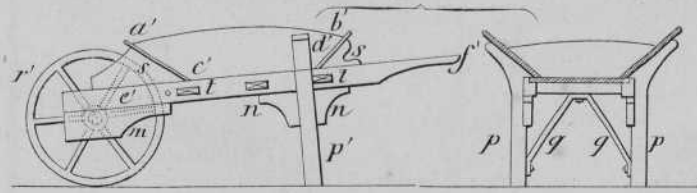


Fig. 60. ($\frac{1}{40}$)

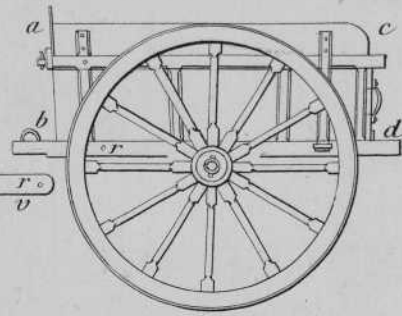


Fig. 62. ($\frac{1}{60}$)

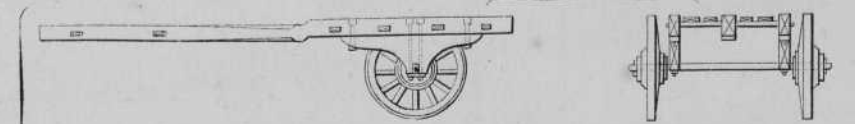


Fig. 61.

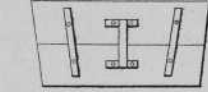


Fig. 69. ($\frac{1}{20}$)

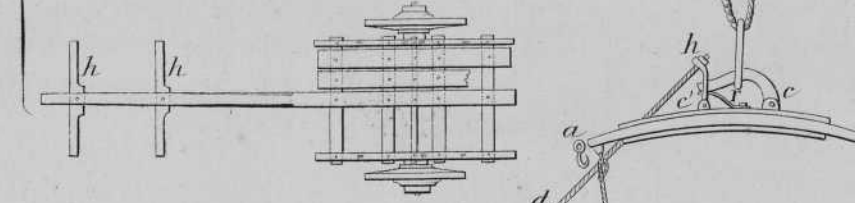


Fig. 73.

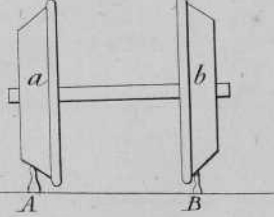


Fig. 65. ($\frac{1}{16}$)

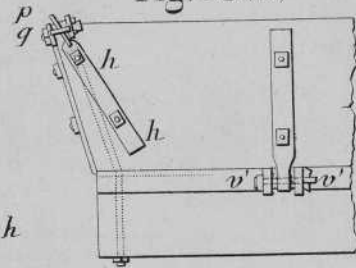


Fig. 66. ($\frac{1}{18}$)

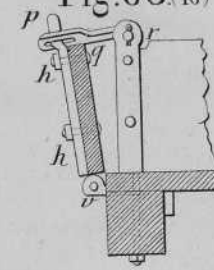


Fig. 67. ($\frac{1}{16}$)

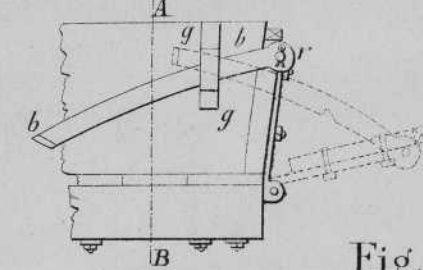


Fig. 68. Seccion por A B

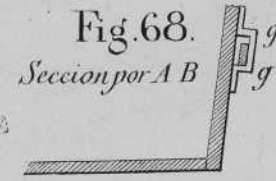


Fig. 70. ($\frac{1}{16}$)

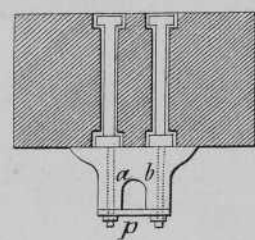


Fig. 63. ($\frac{1}{40}$)

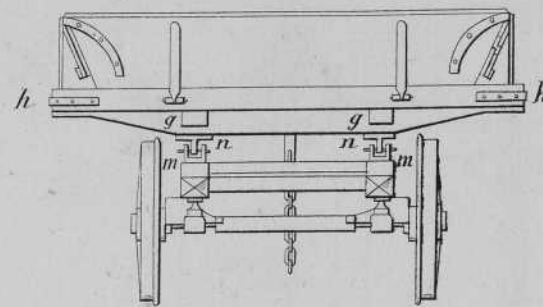
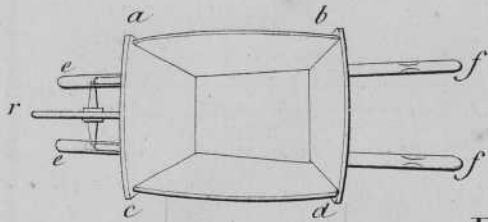


Fig. 64. ($\frac{1}{40}$)

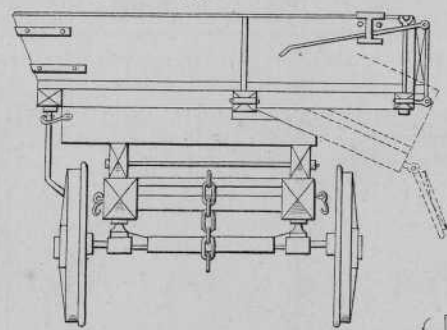


Fig. 71. ($\frac{1}{16}$)

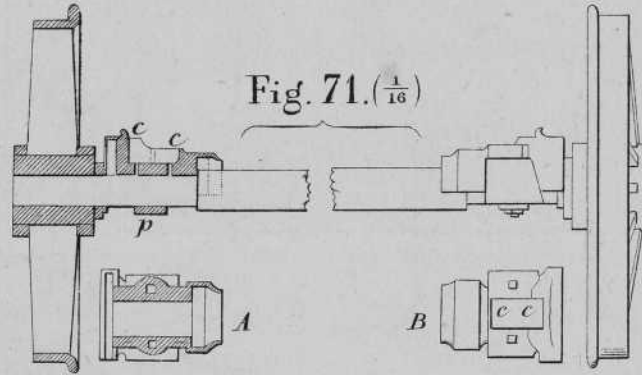


Fig. 72. ($\frac{1}{16}$)

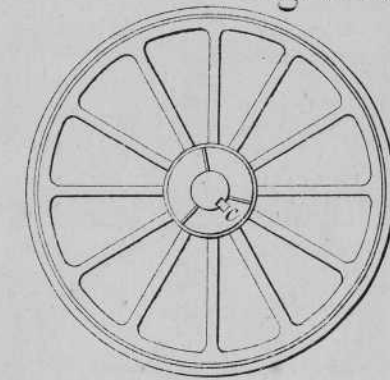


Fig. 74. ($\frac{1}{40}$)

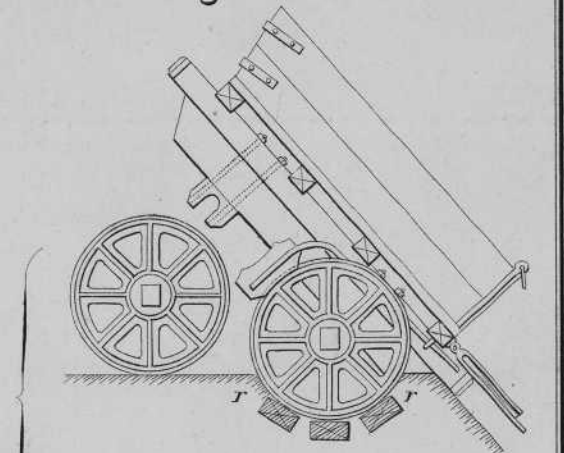


Fig. 77. ($\frac{1}{20}$)

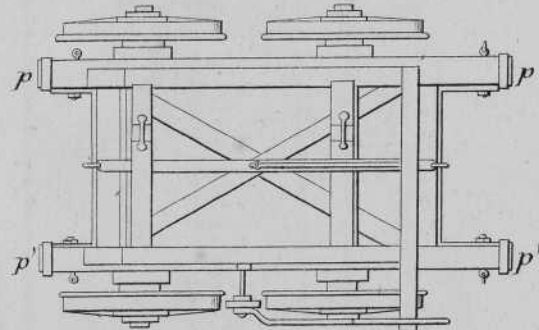


Fig. 85.

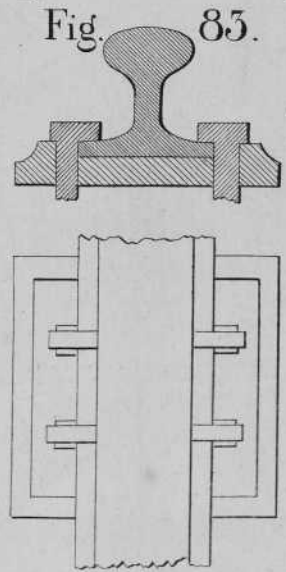


Fig. 80.

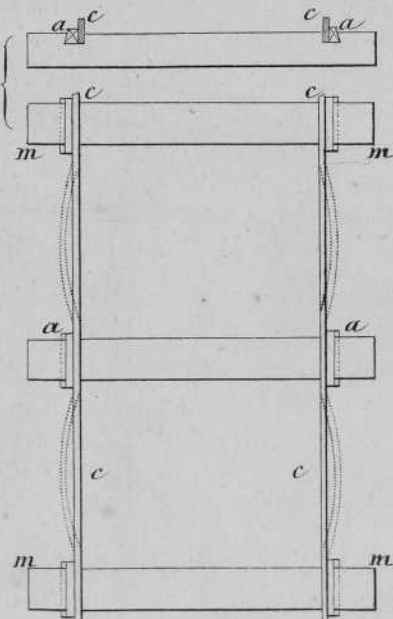


Fig. 81.

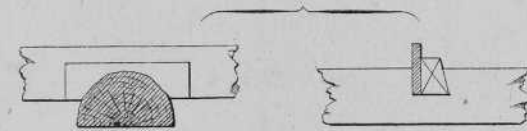


Fig. 82.

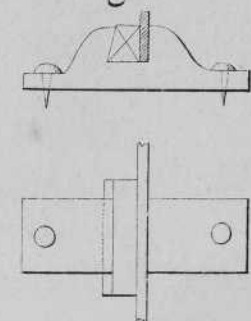


Fig. 85.

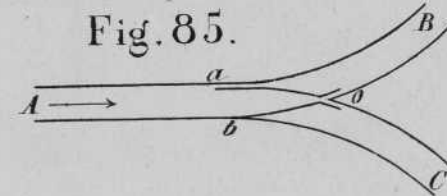


Fig. 84.



Fig. 78.

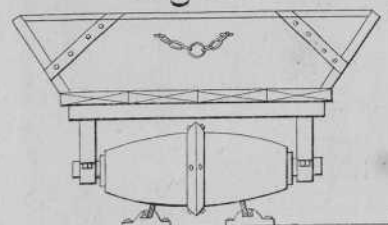


Fig. 79.

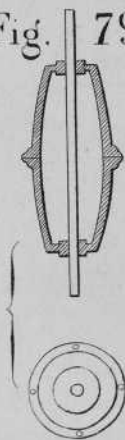


Fig. 75. ($\frac{1}{40}$)

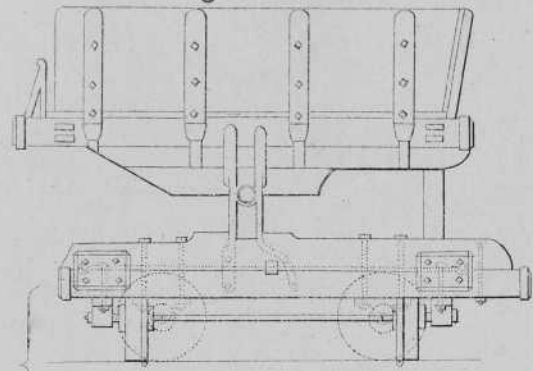


Fig. 76 ($\frac{1}{40}$)

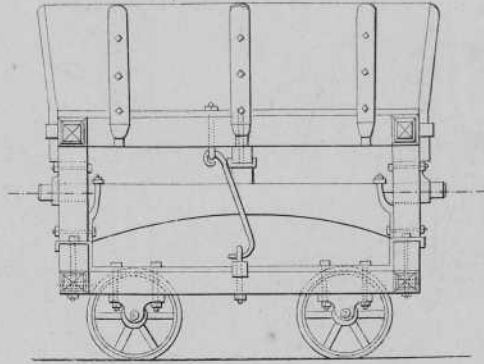


Fig. 88. ($\frac{1}{100}$)

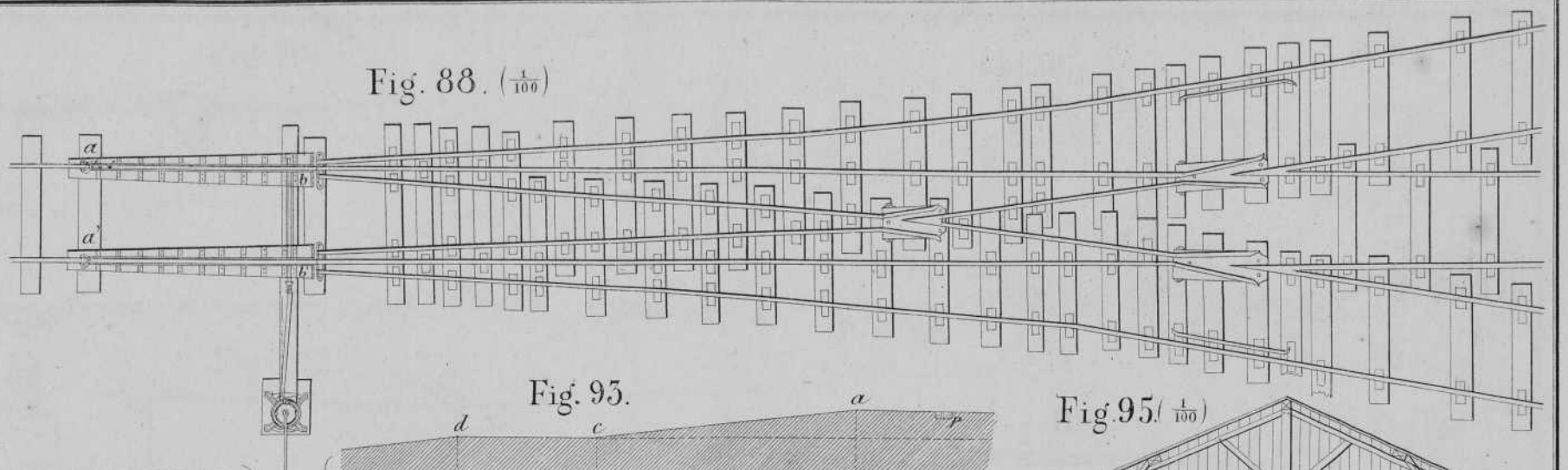


Fig. 86.

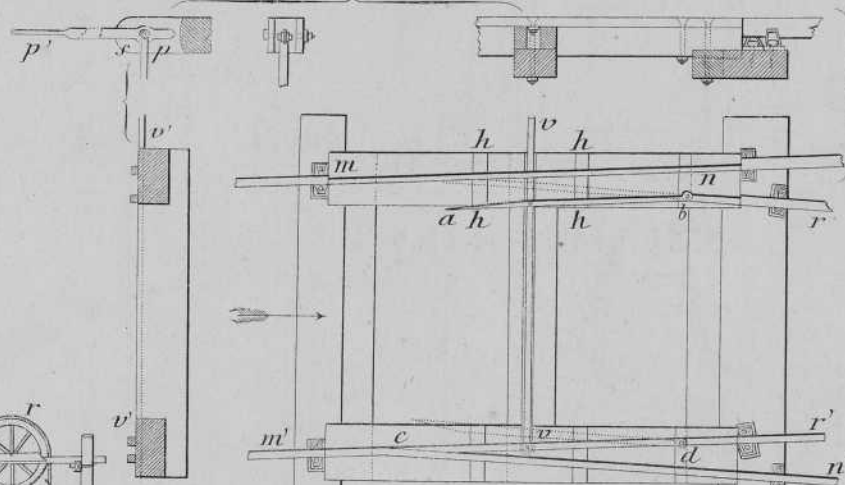
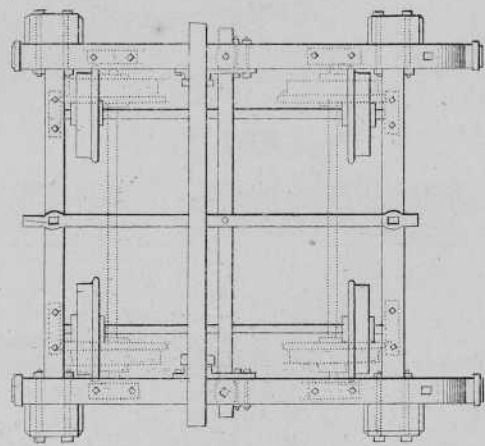


Fig. 95.

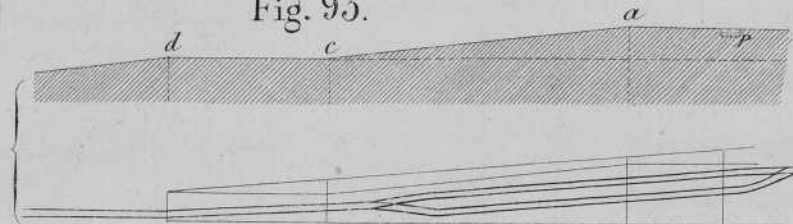


Fig. 95 ($\frac{1}{100}$)

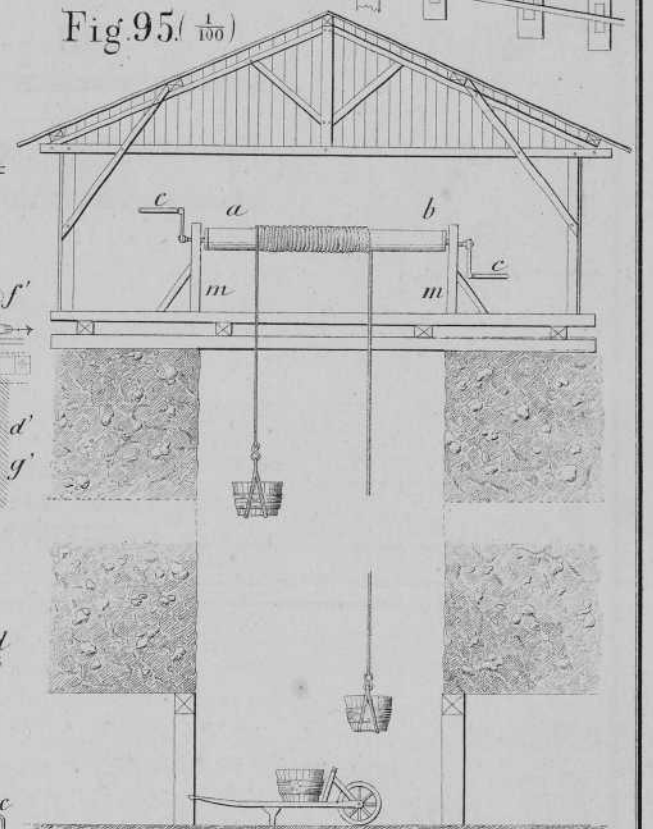


Fig. 89.

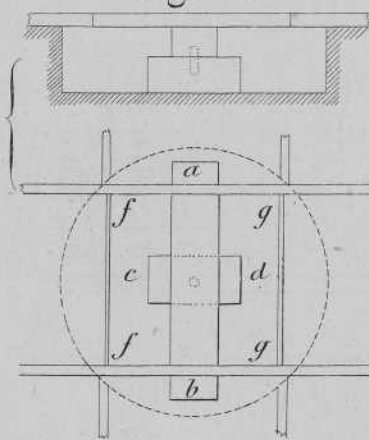


Fig. 94. ($\frac{1}{100}$)

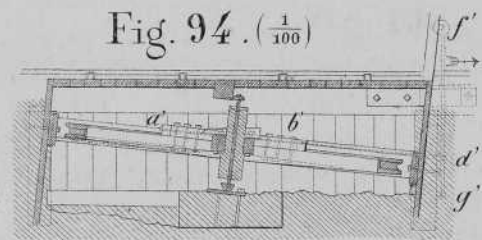


Fig. 99

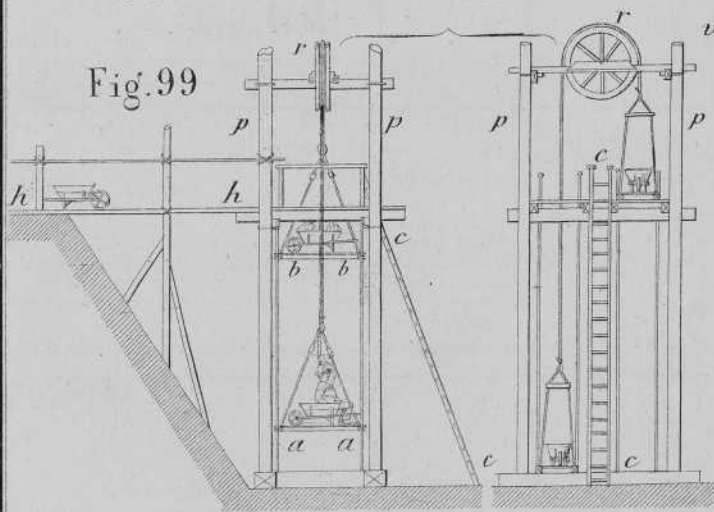


Fig. 87 ($\frac{1}{40}$)

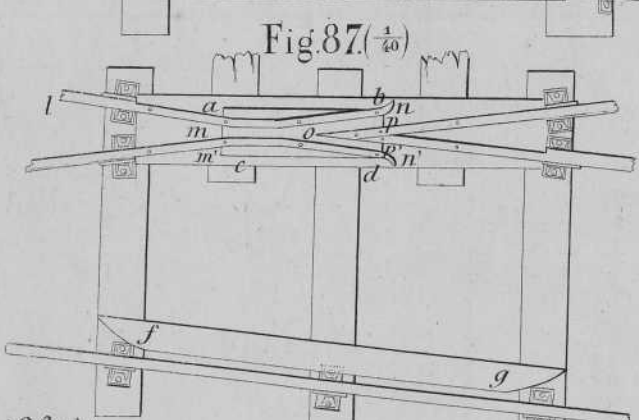


Fig. 98.

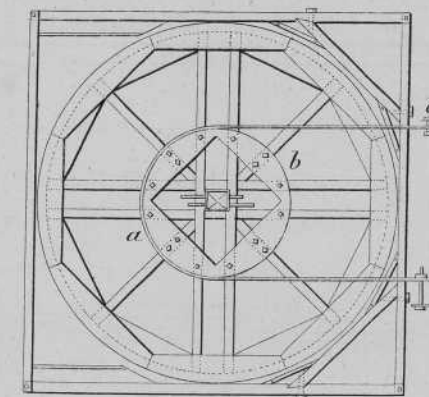
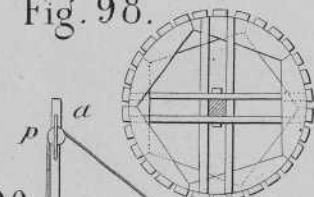


Fig. 96 ($\frac{1}{100}$)

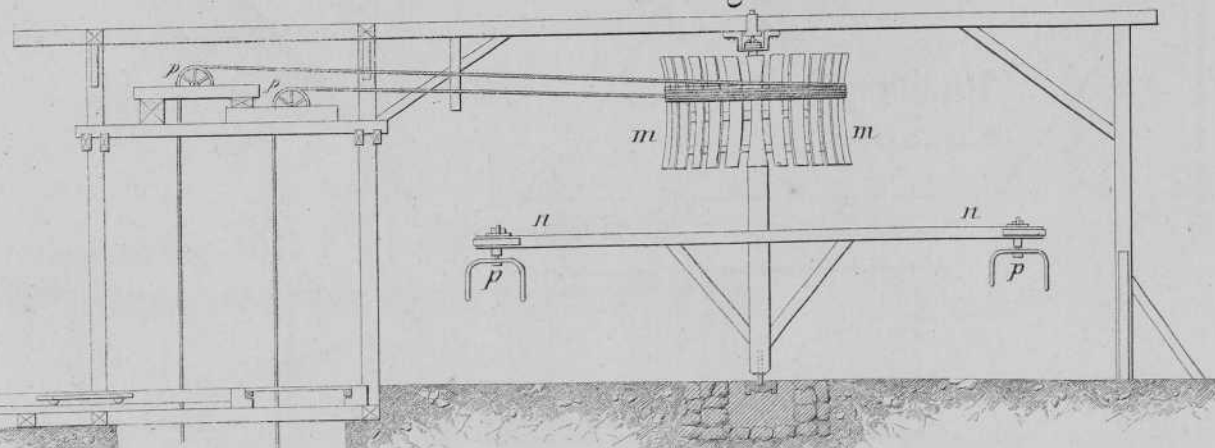


Fig. 90.

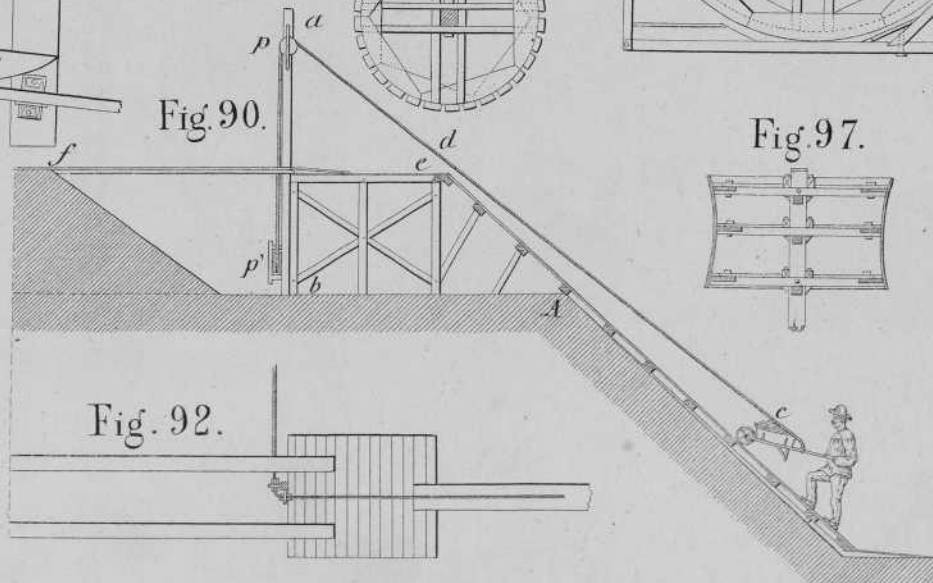


Fig. 97.

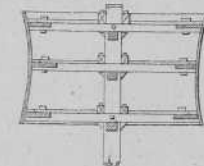


Fig. 91.

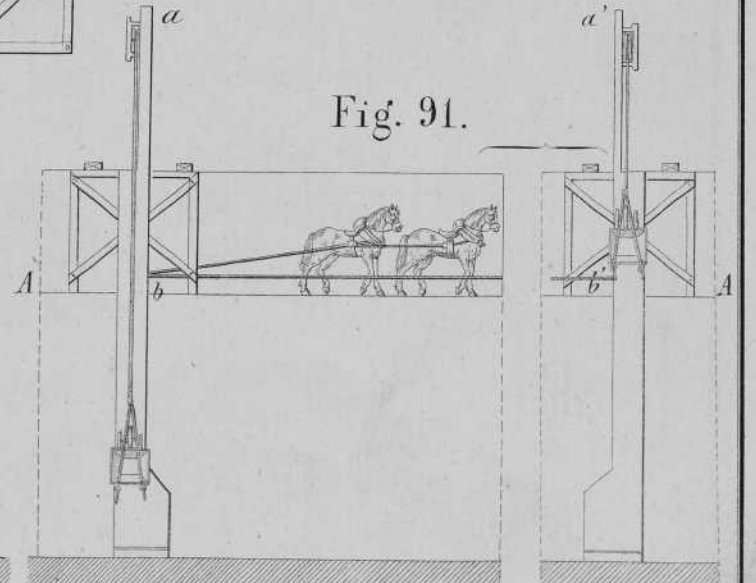
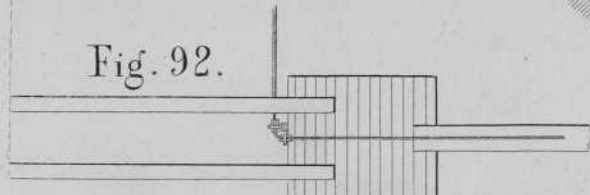
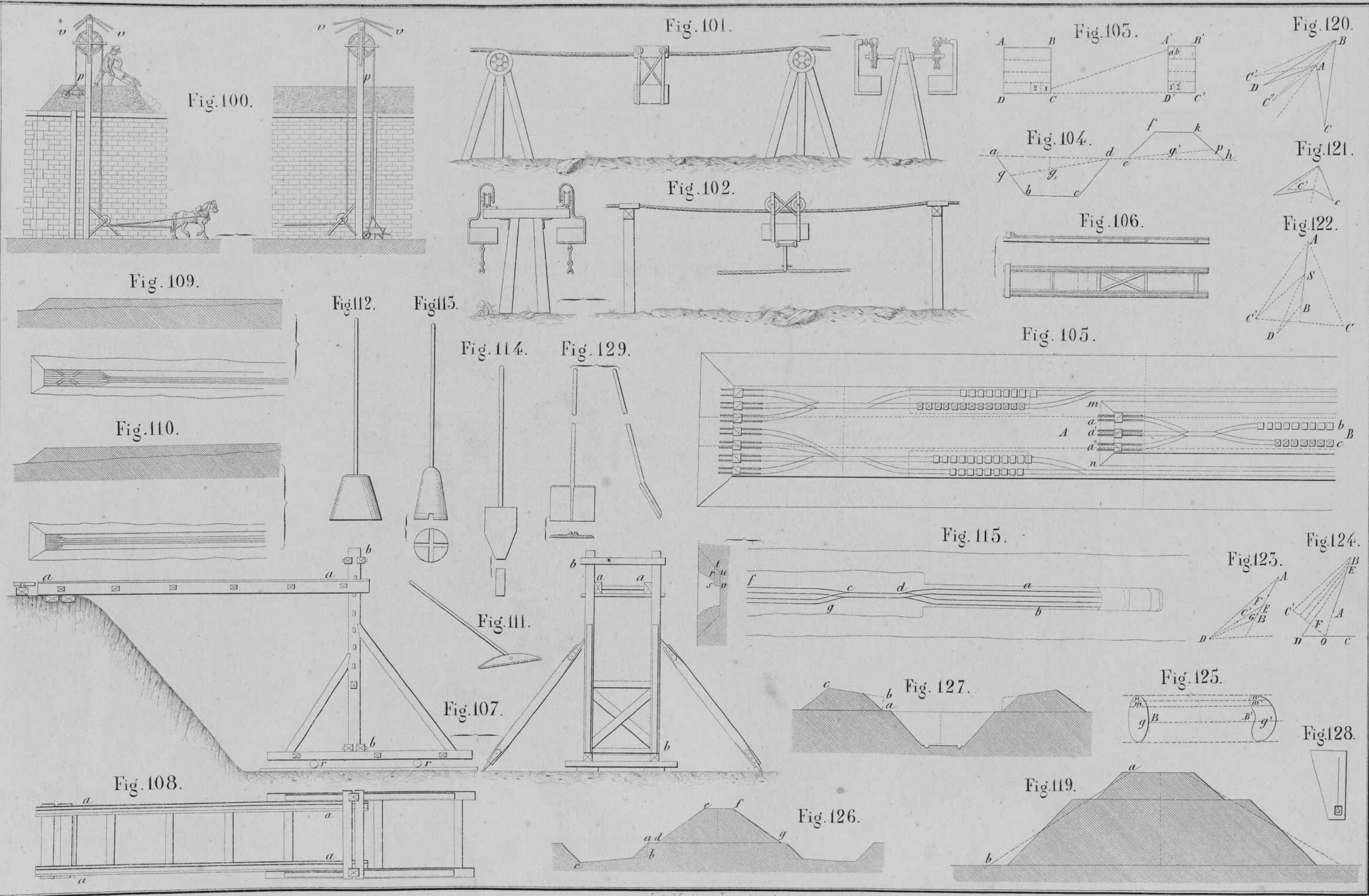
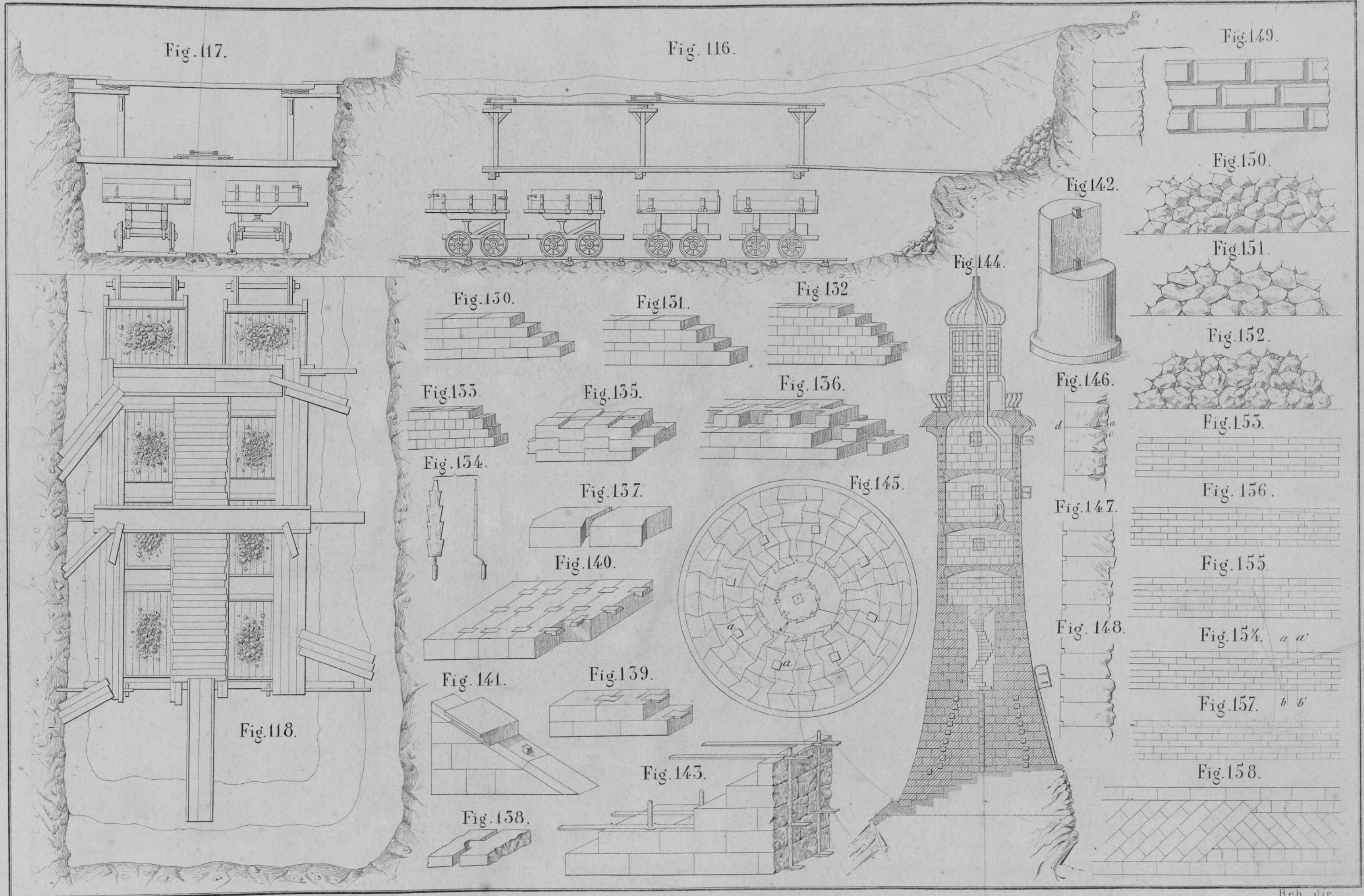


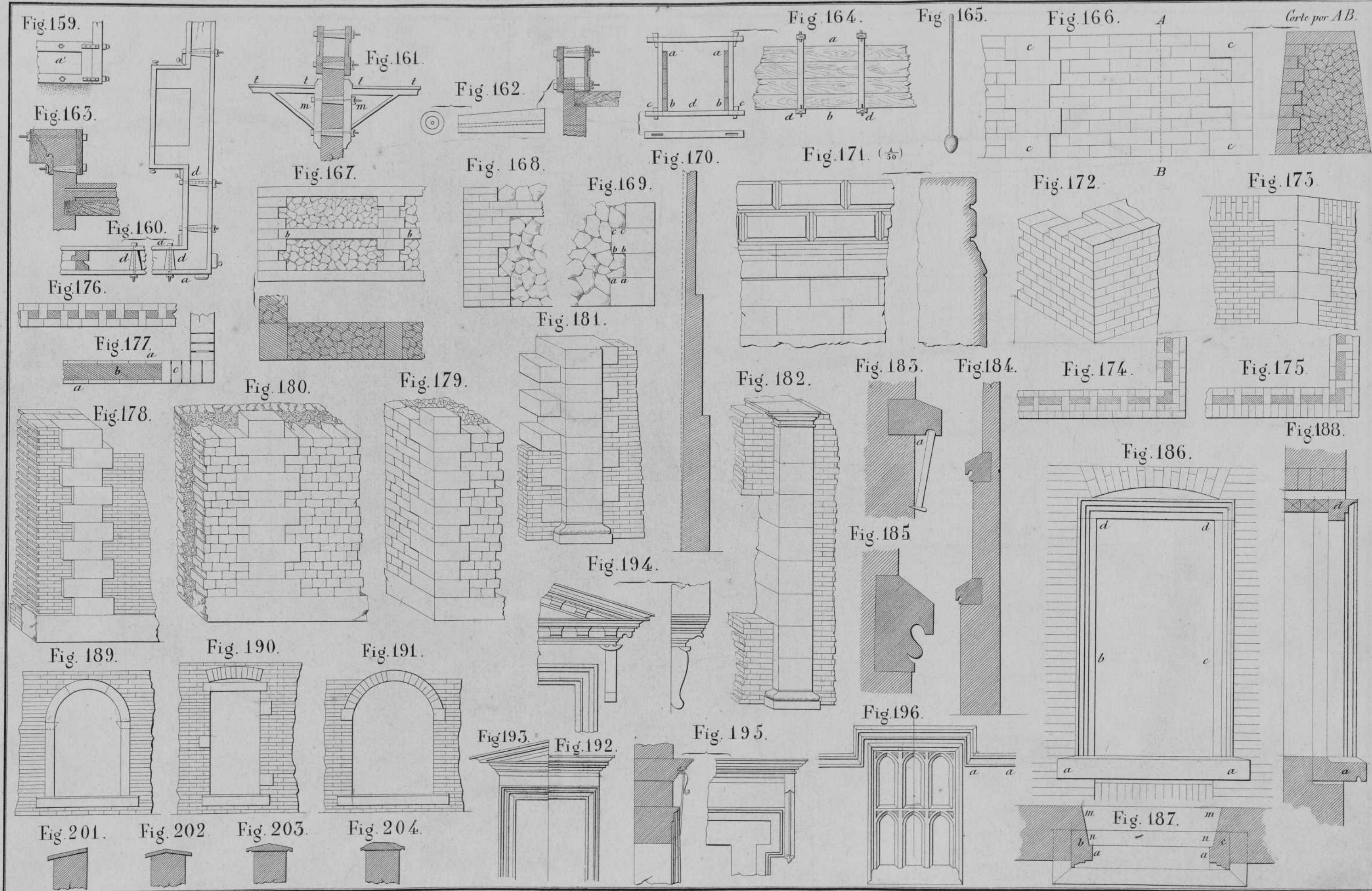
Fig. 92.

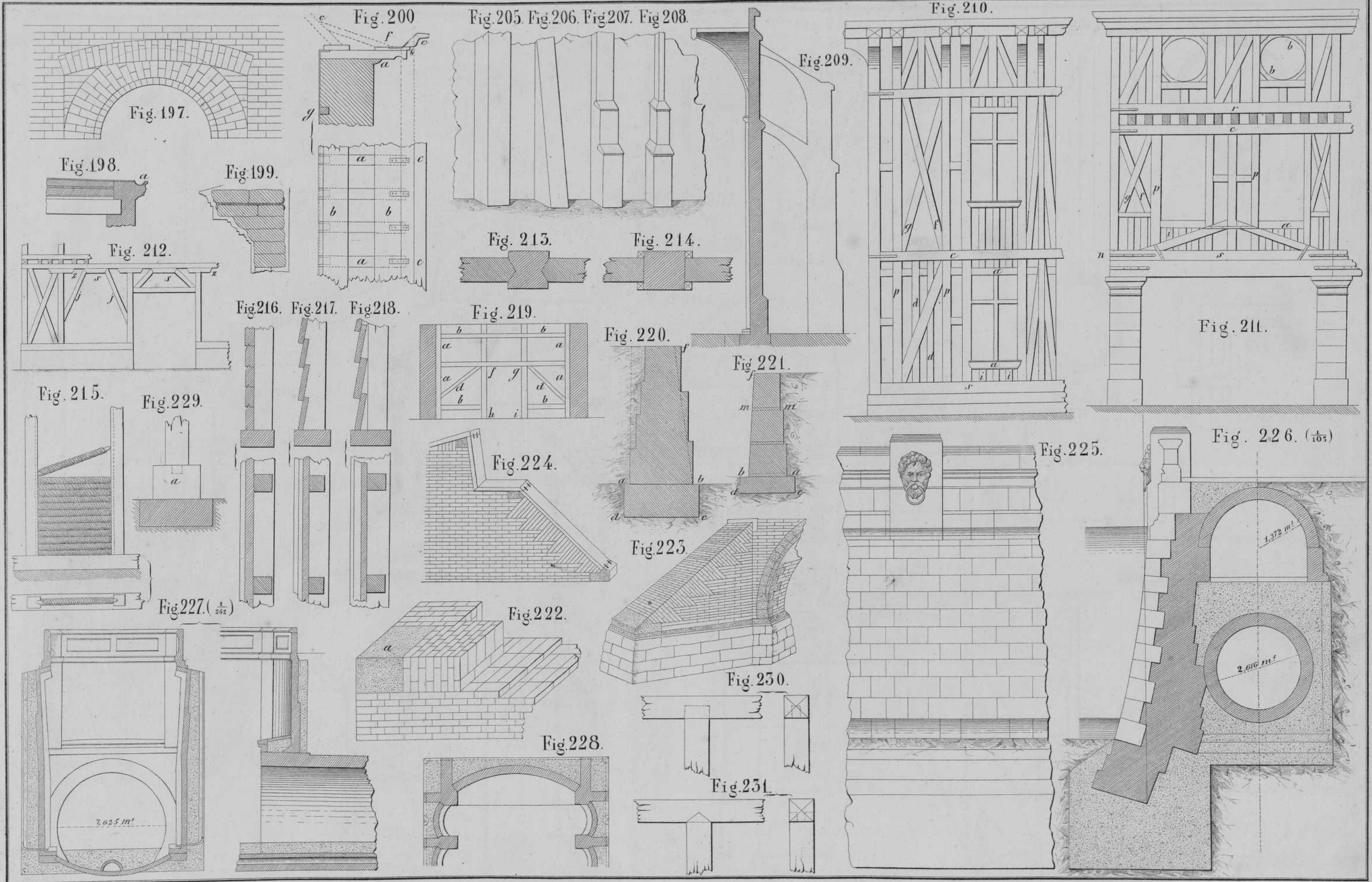


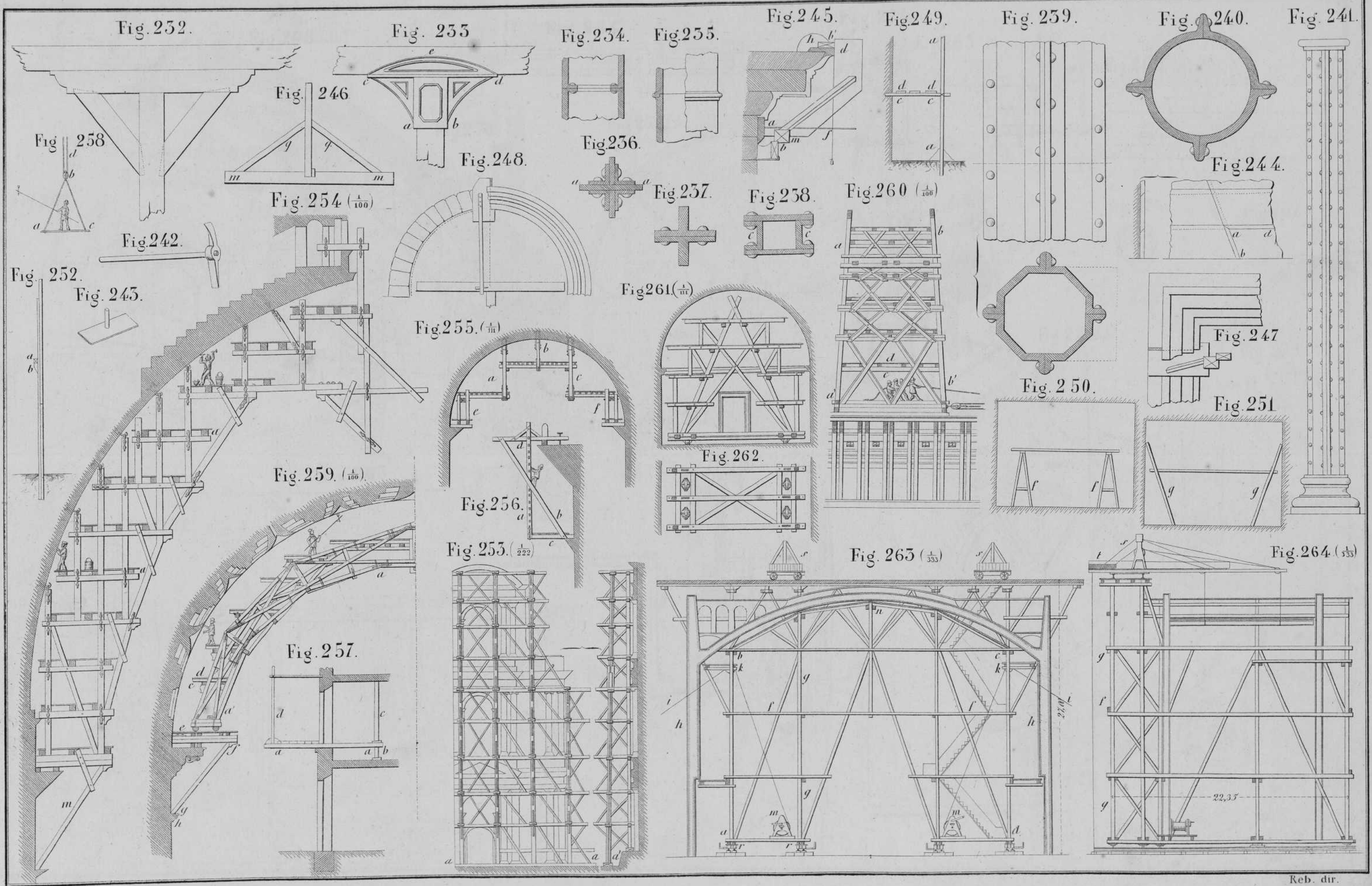


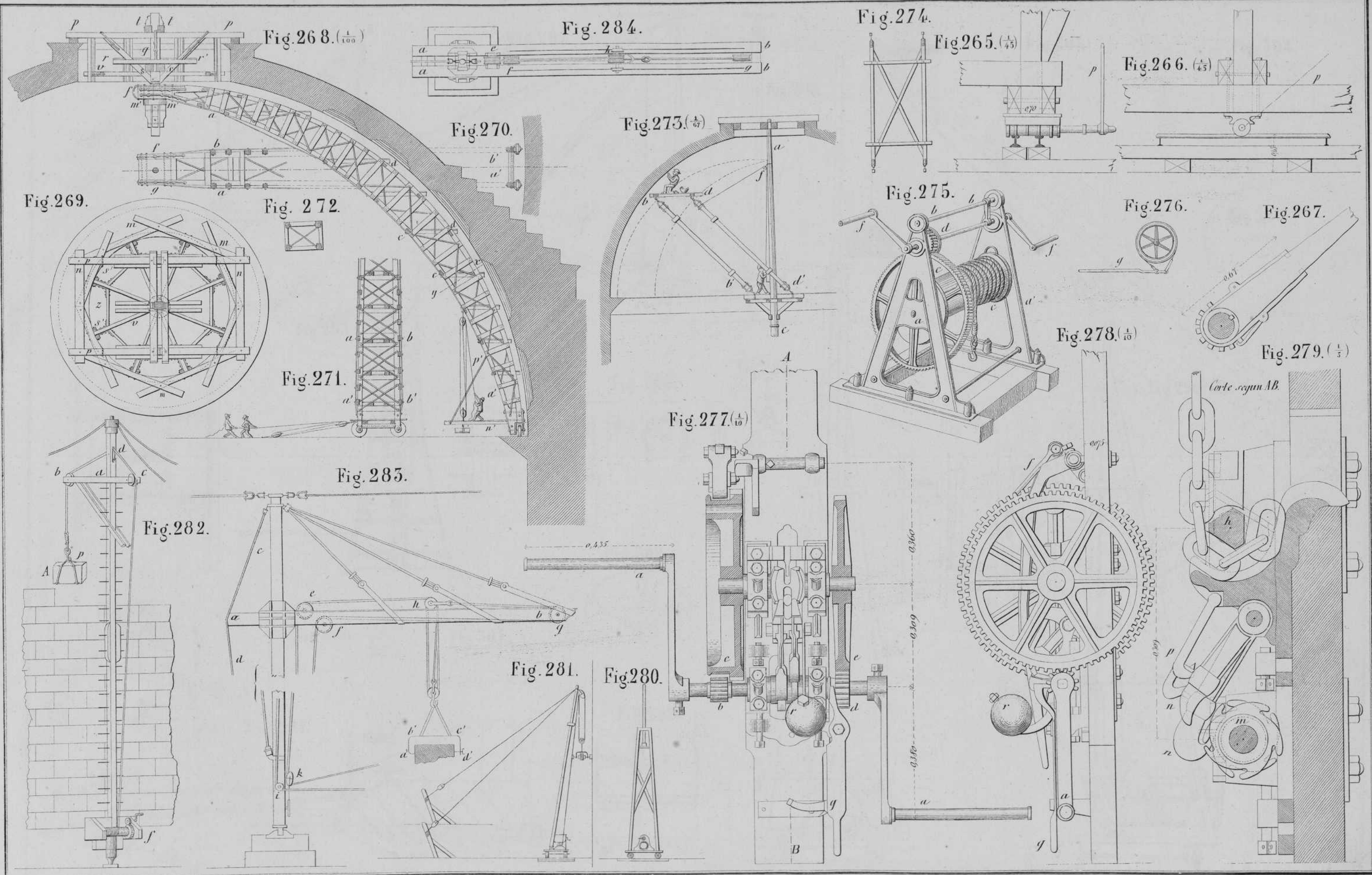












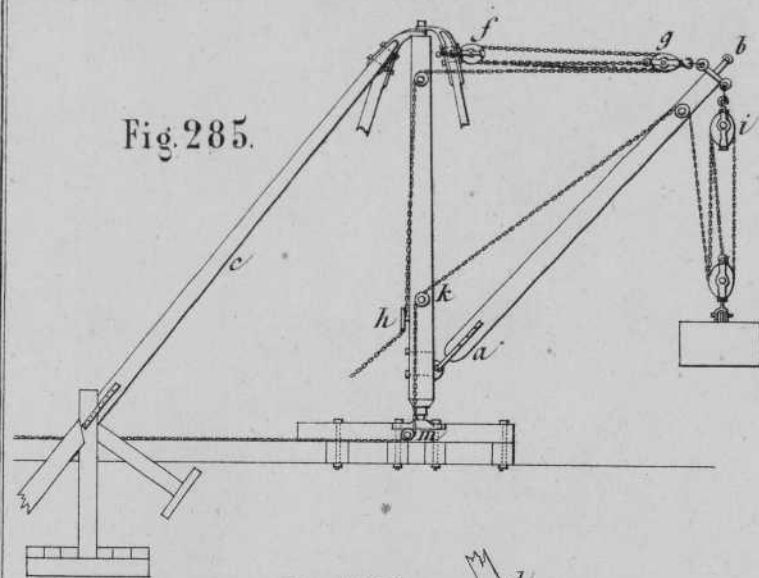


Fig. 285.

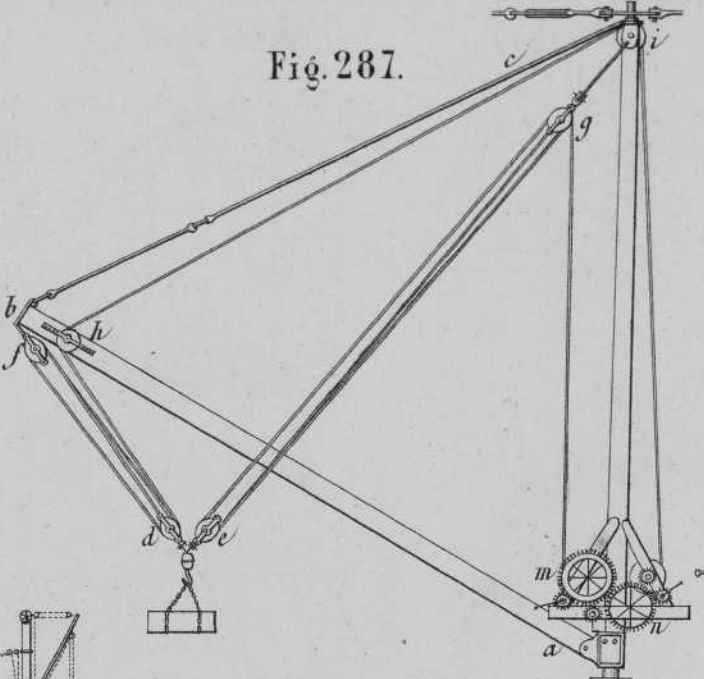


Fig. 287.

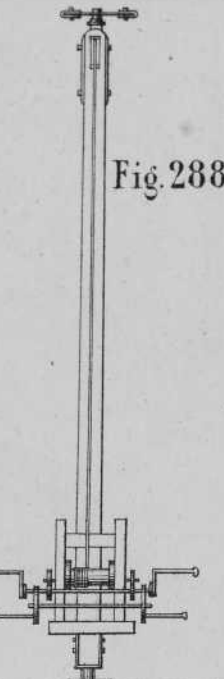


Fig. 288.

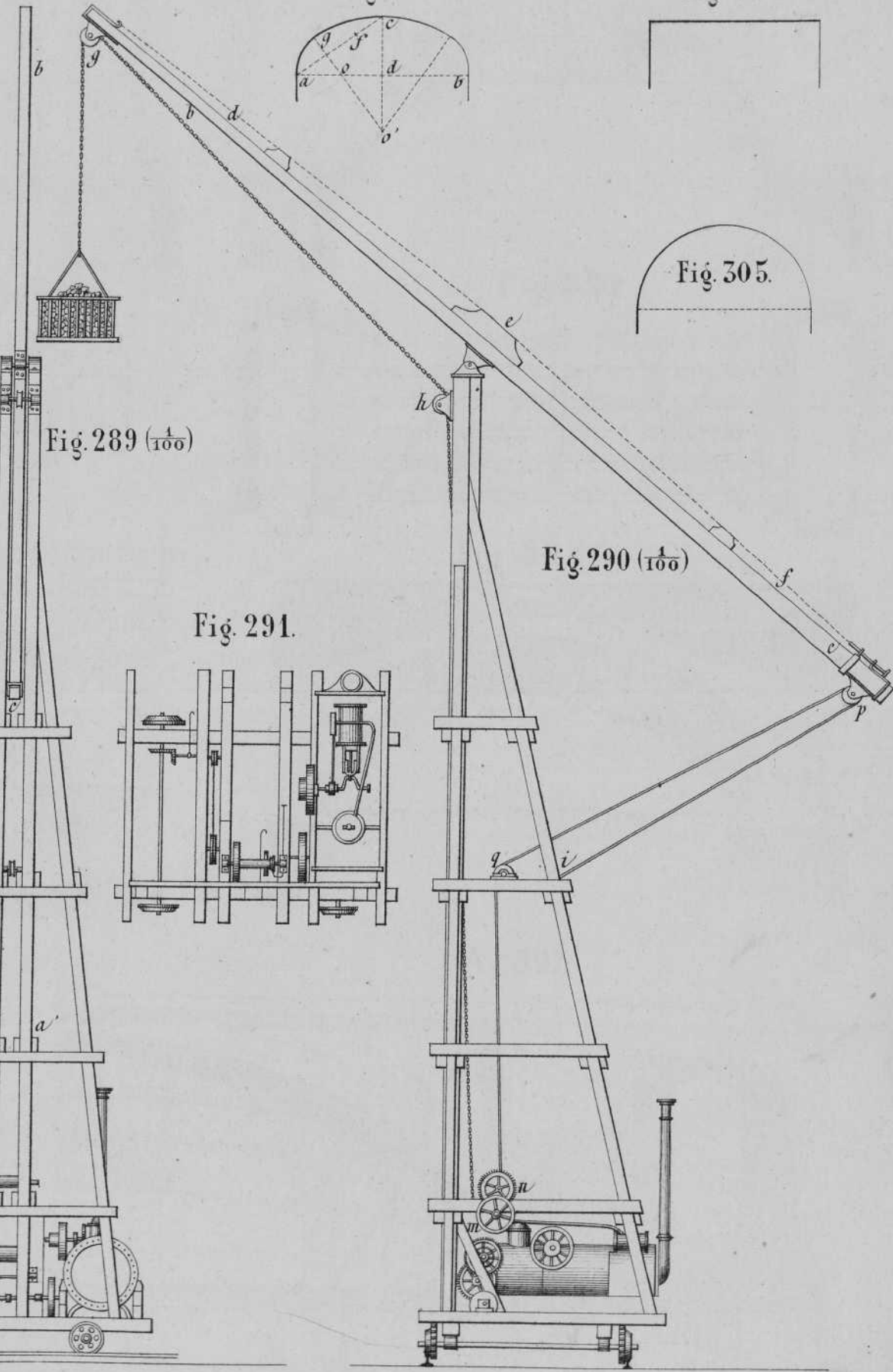


Fig. 303.

Fig. 304.

Fig. 305.

Fig. 289 (1/100)

Fig. 290 (1/100)

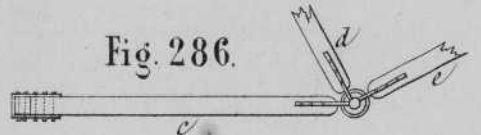


Fig. 286.

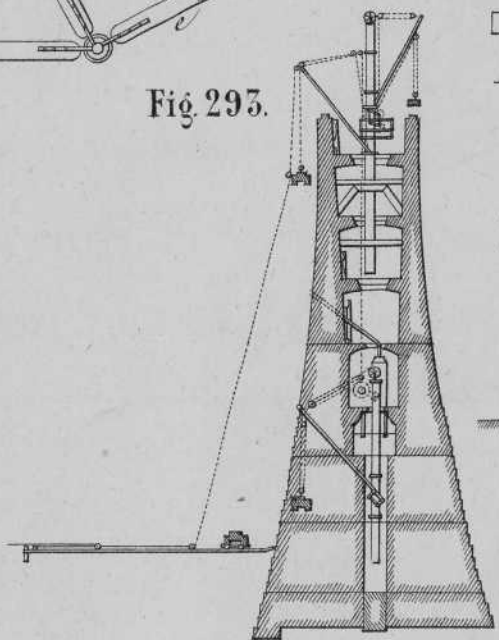


Fig. 293.

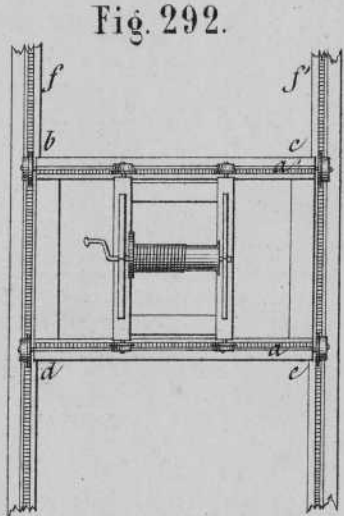


Fig. 292.

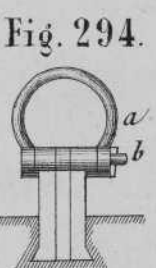


Fig. 294.

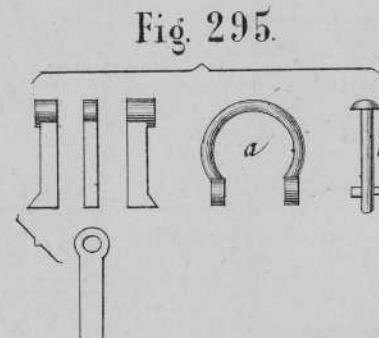


Fig. 295.

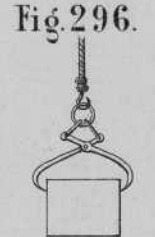


Fig. 296.

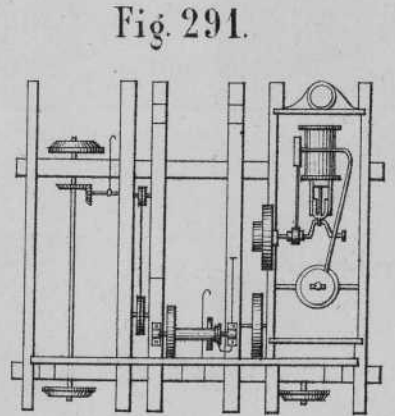


Fig. 291.

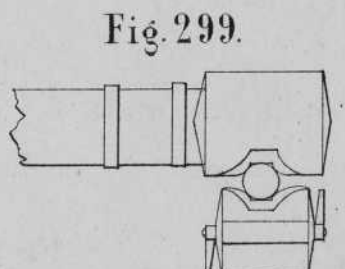


Fig. 299.



Fig. 300.

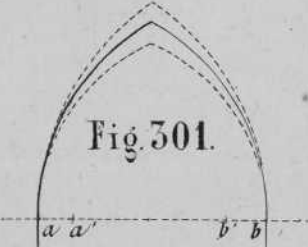


Fig. 301.

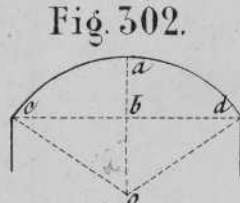


Fig. 302.

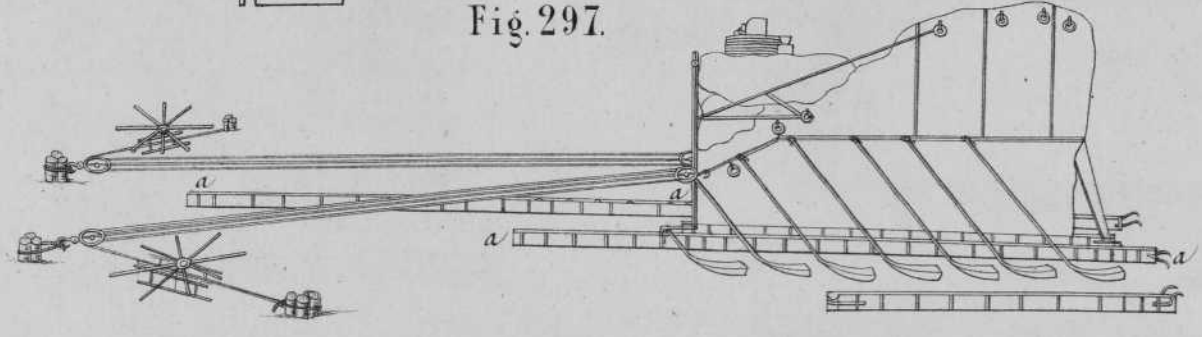


Fig. 297.

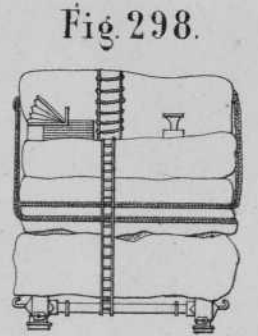


Fig. 298.

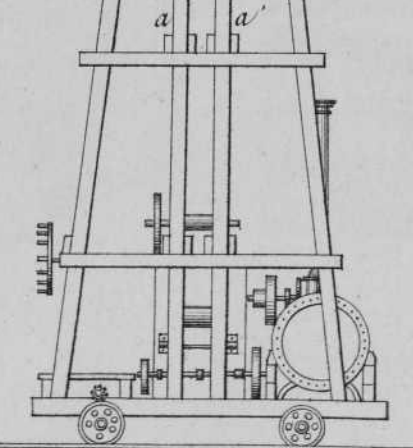


Fig. 306.

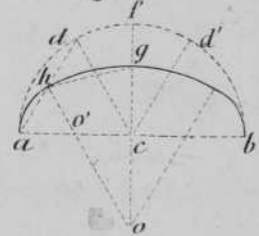


Fig. 307.

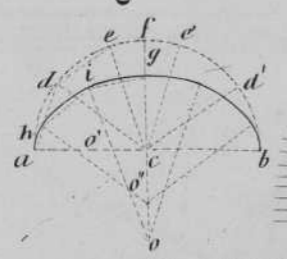


Fig. 313.

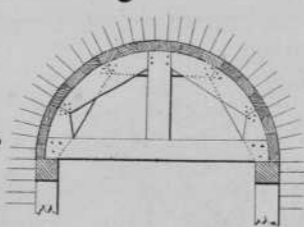


Fig. 314.

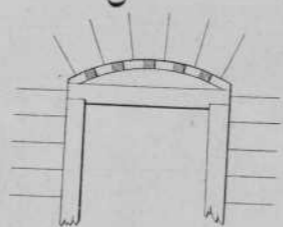


Fig. 316.

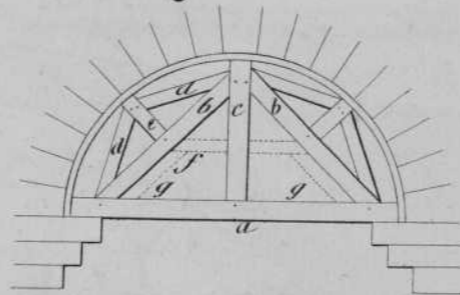


Fig. 318.

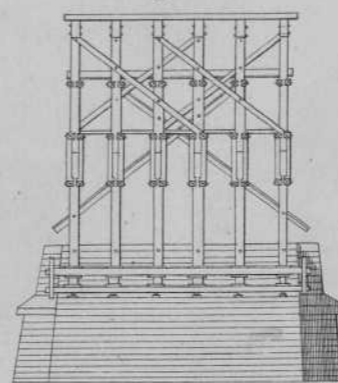


Fig. 319.

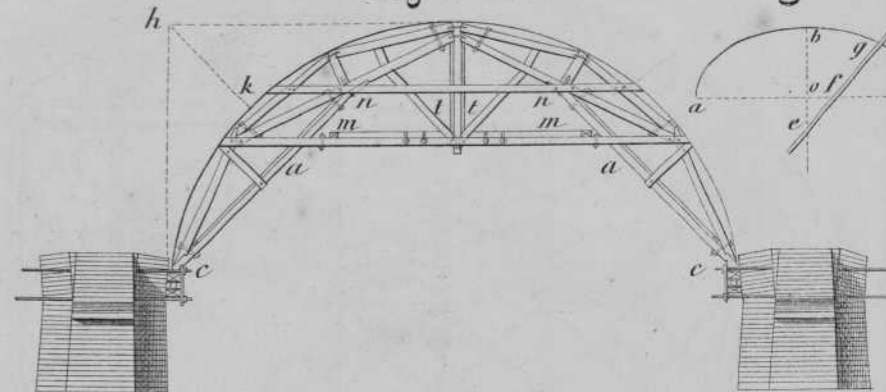


Fig. 308.

Fig. 335.

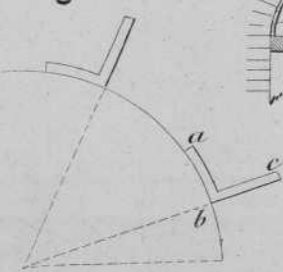


Fig. 312.

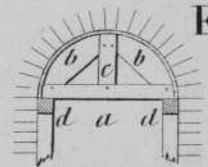


Fig. 309.

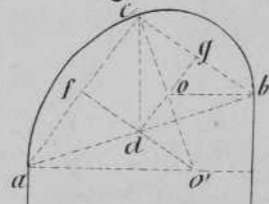


Fig. 332.

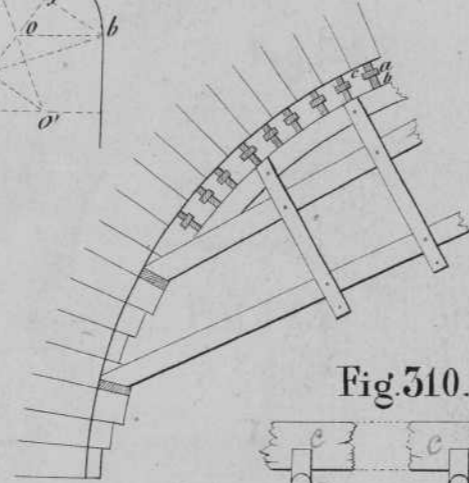


Fig. 317.

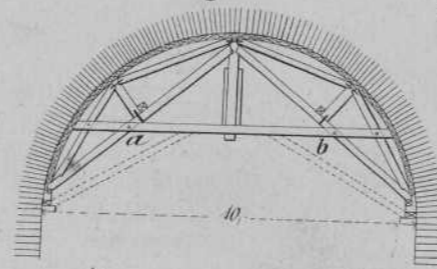


Fig. 311.

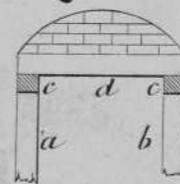


Fig. 320.

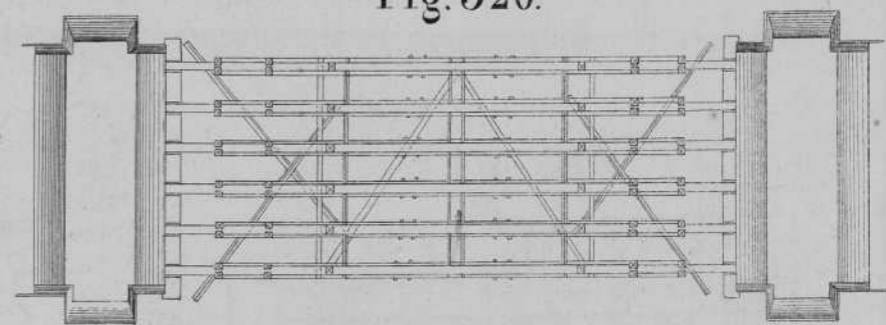


Fig. 334.

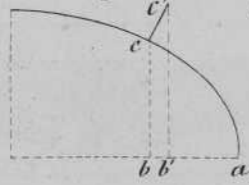


Fig. 326.

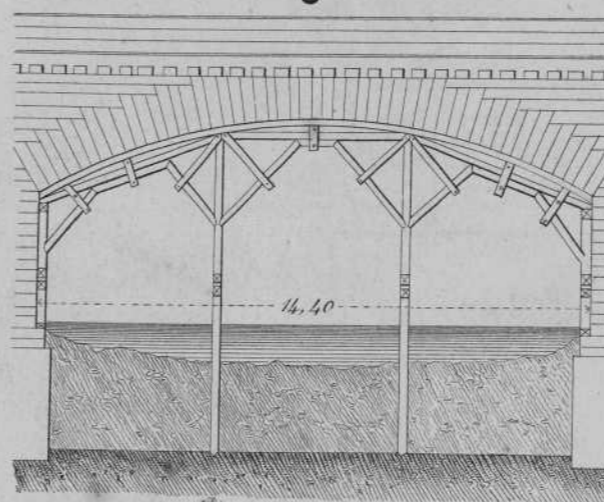


Fig. 324.

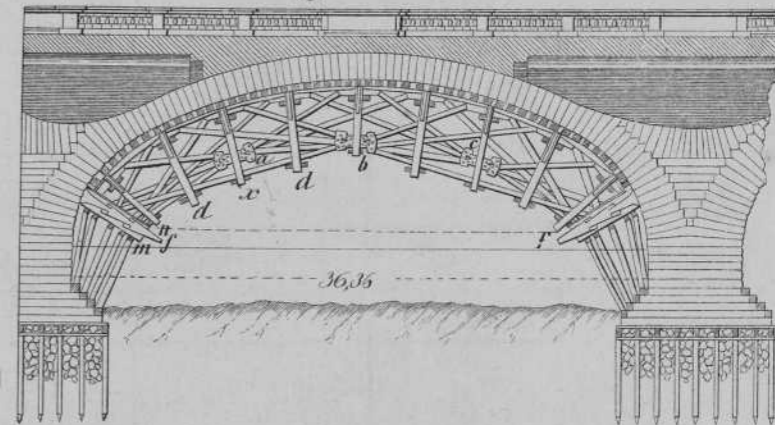


Fig. 335.

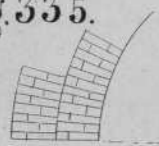


Fig. 336.

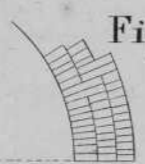


Fig. 310.

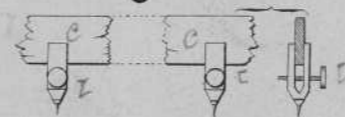


Fig. 321.

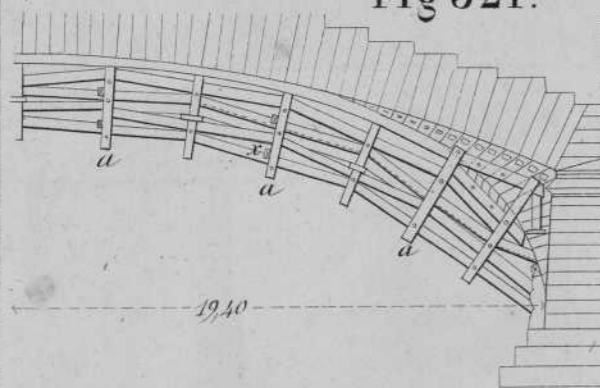


Fig. 325.

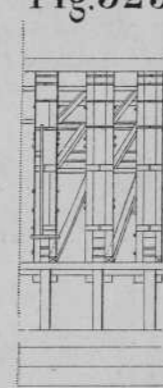


Fig. 315.

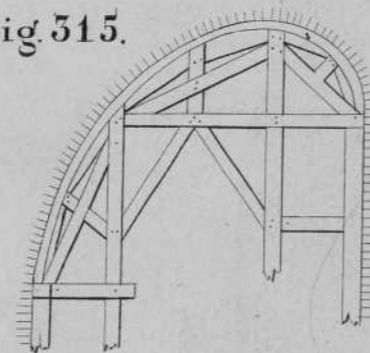


Fig. 325.

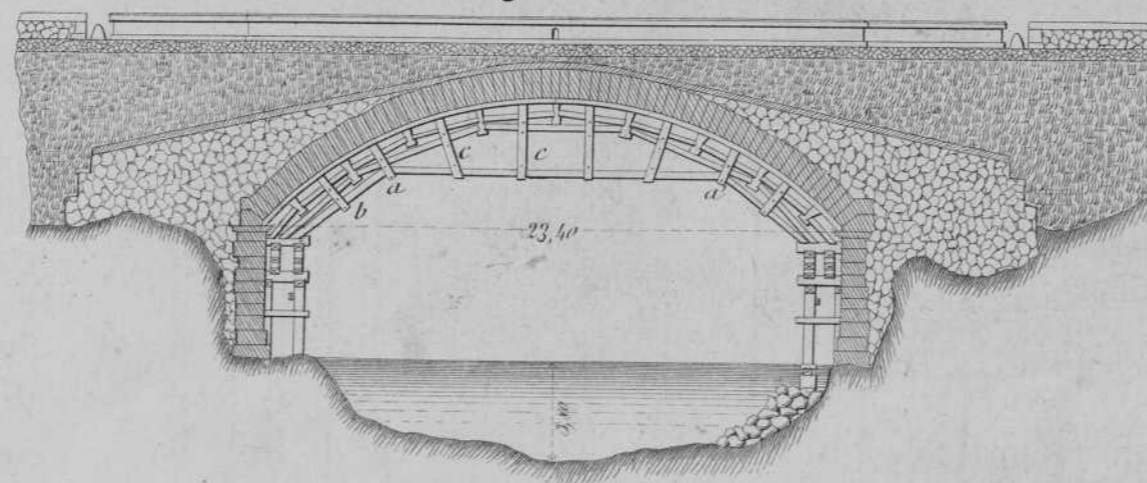


Fig. 327.

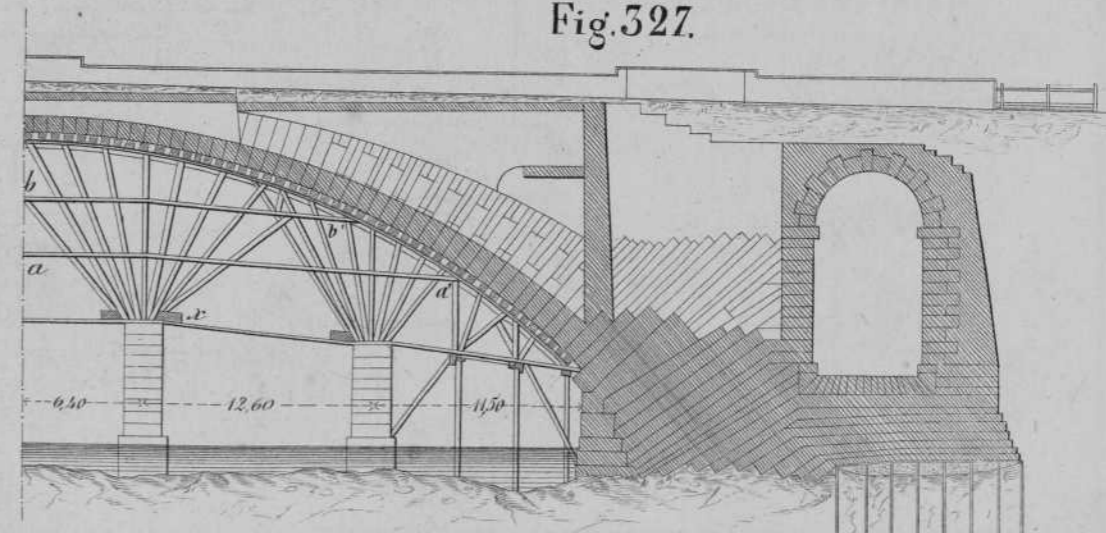


Fig. 322.

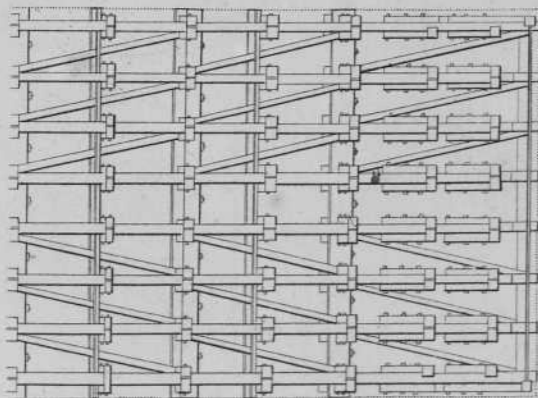


Fig. 328.

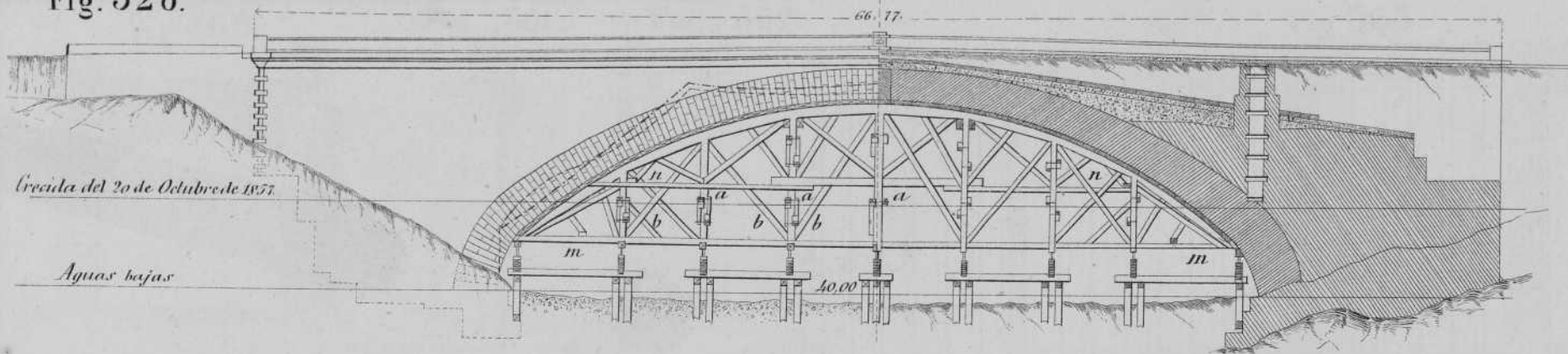


Fig. 329.

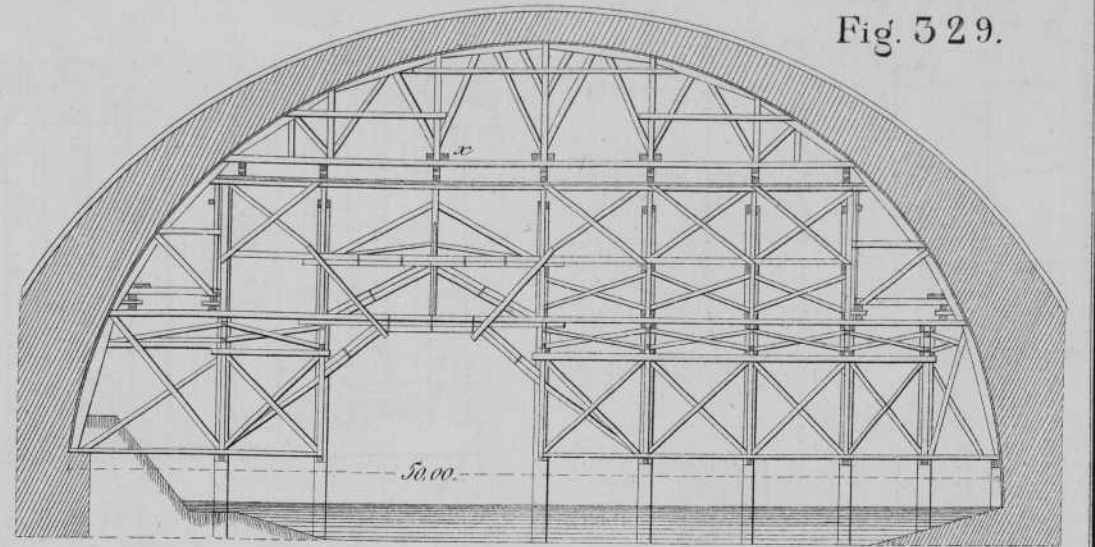


Fig. 330.

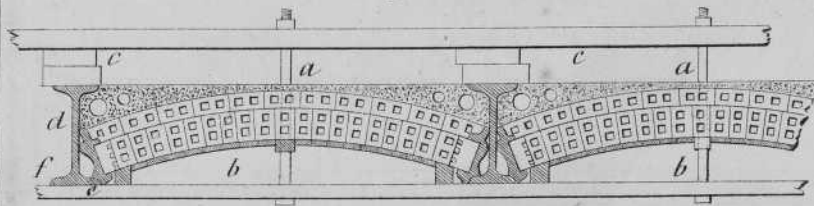


Fig. 342.

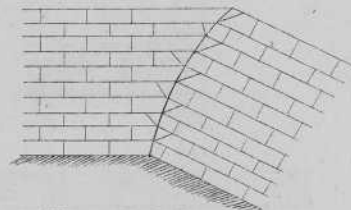


Fig. 344.

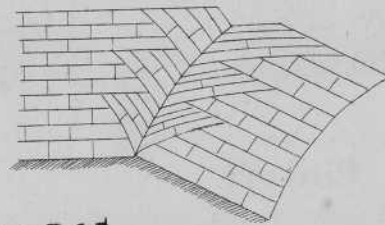


Fig. 331.

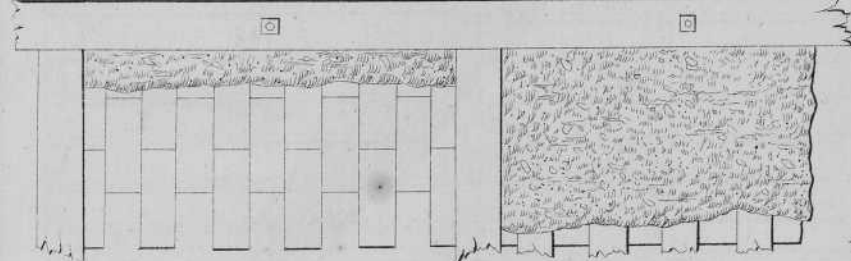


Fig. 343.

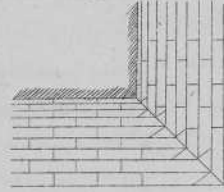


Fig. 345.

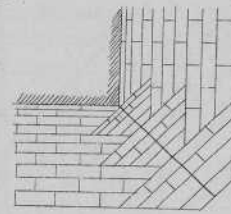


Fig. 339.

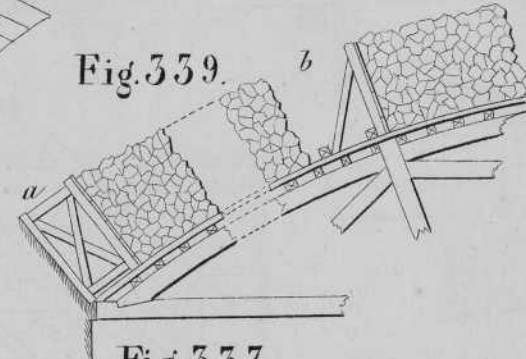


Fig. 348.

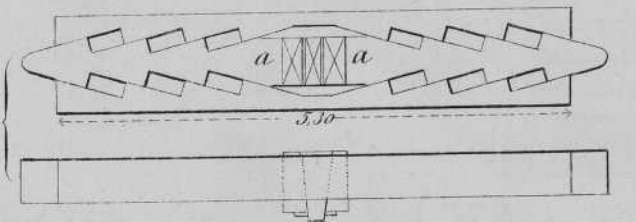


Fig. 337.



Fig. 349.

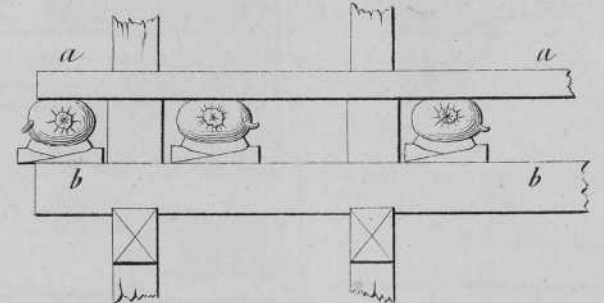


Fig. 350.

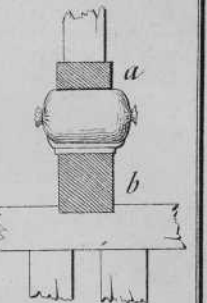


Fig. 351.

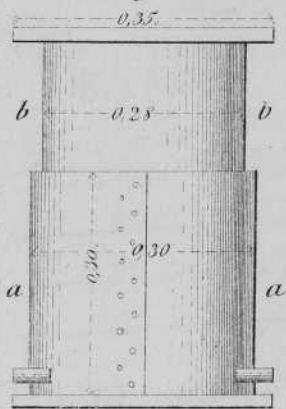


Fig. 352.

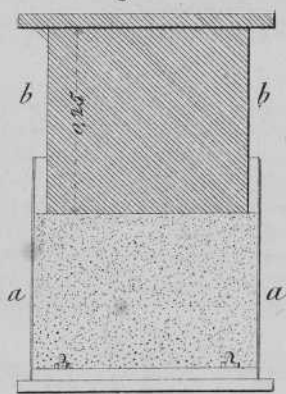


Fig. 354.

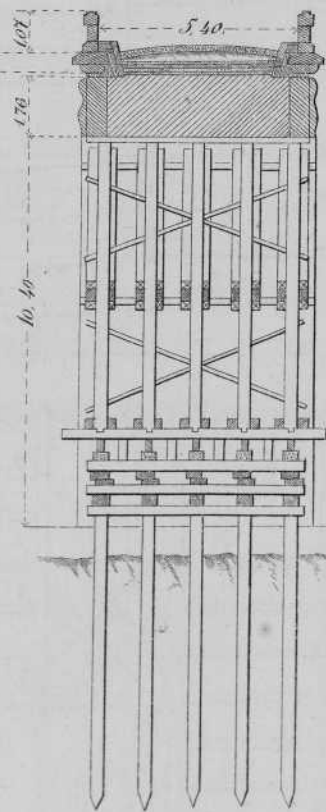


Fig. 355.

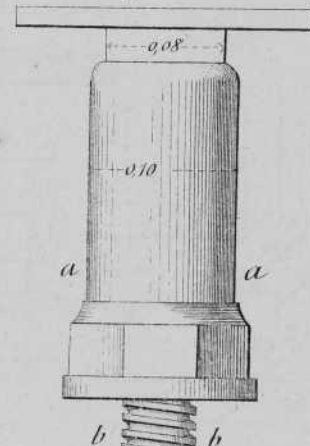


Fig. 356.

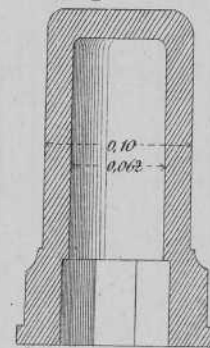


Fig. 358.

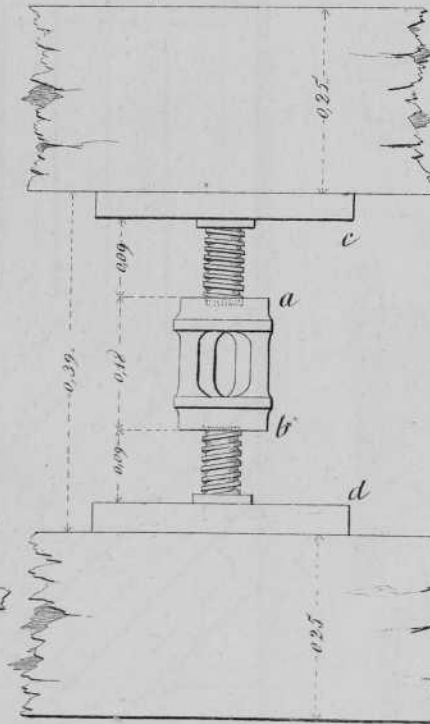


Fig. 338.

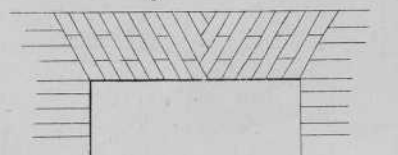


Fig. 353.

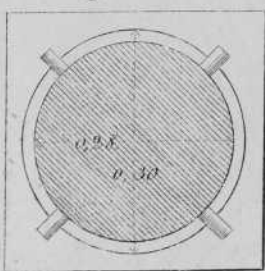


Fig. 341.

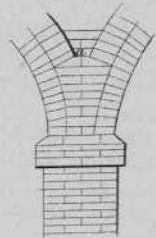


Fig. 340.

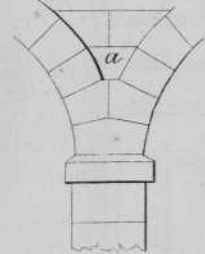


Fig. 357.

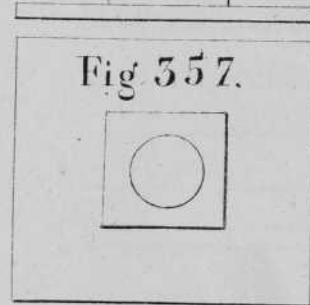


Fig. 347.

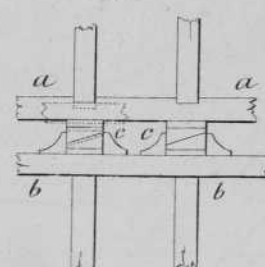


Fig. 359.

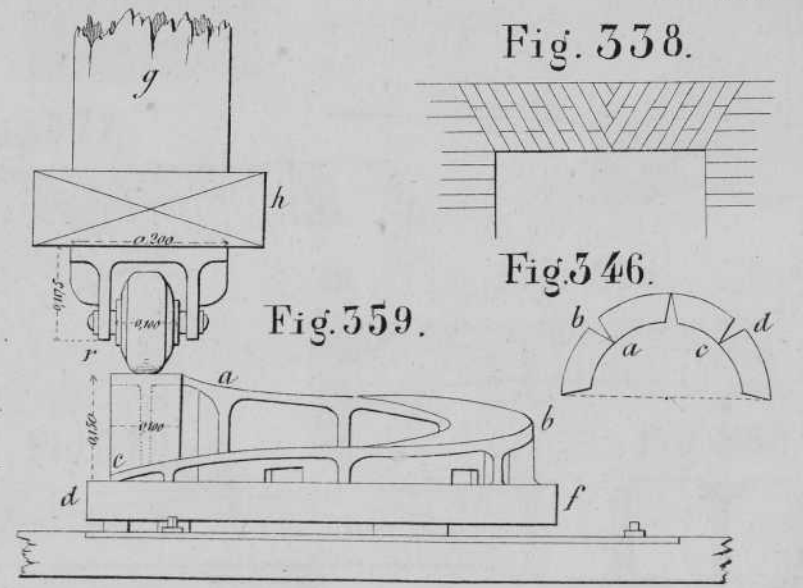


Fig. 346.



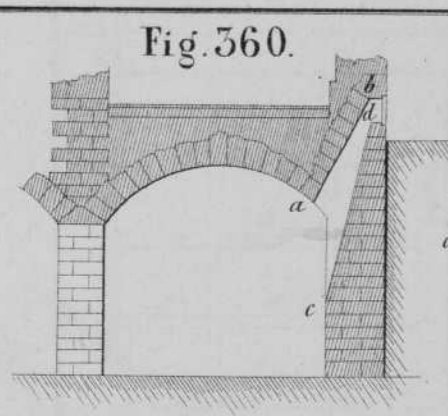


Fig. 360.

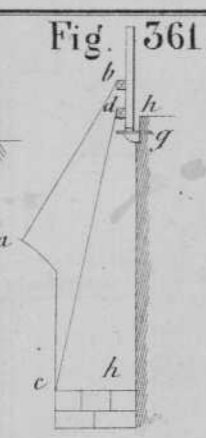


Fig. 361.

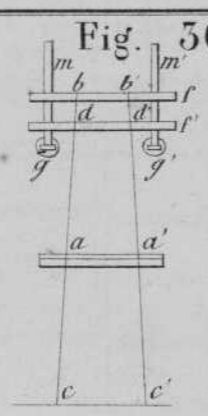


Fig. 362.

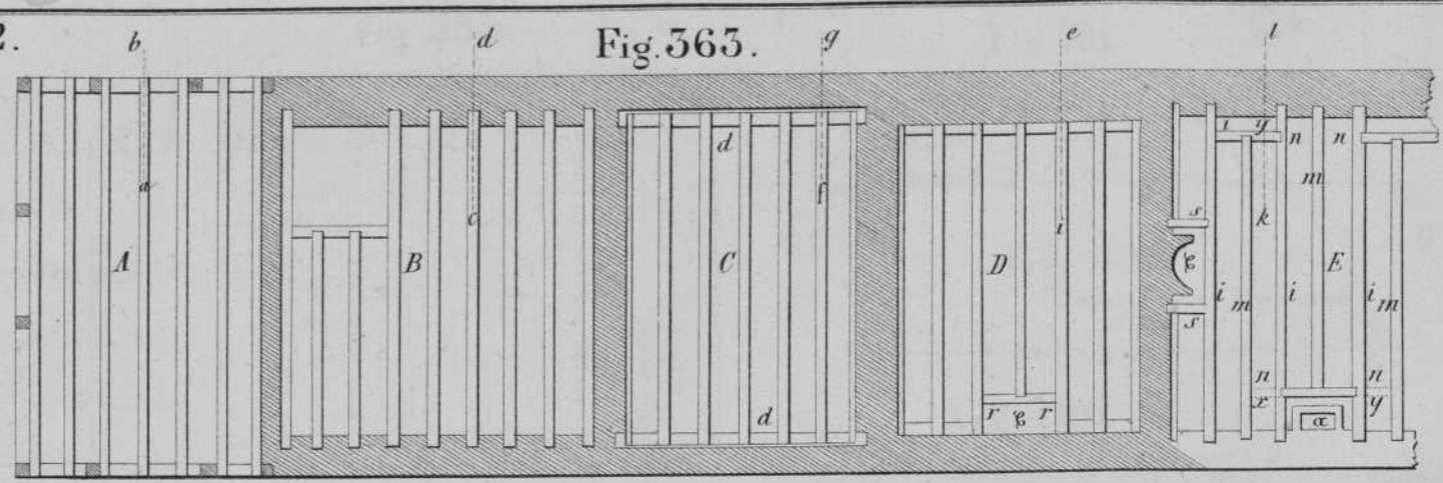


Fig. 363.

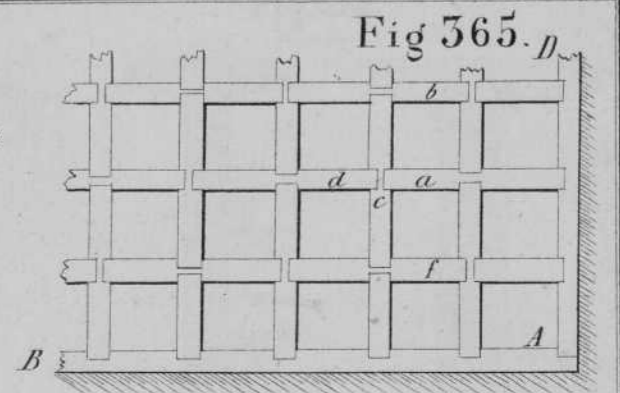


Fig. 365.

Fig. 366.

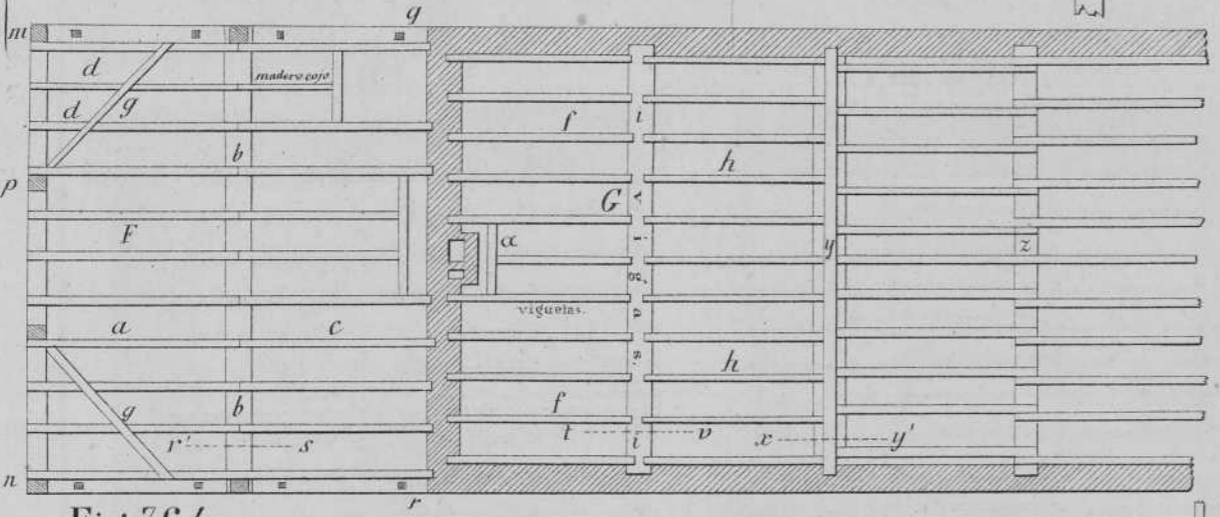
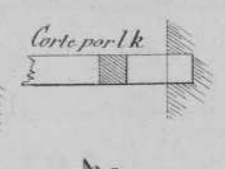
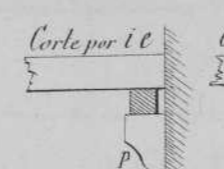
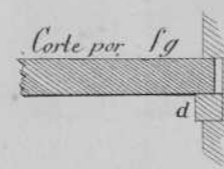
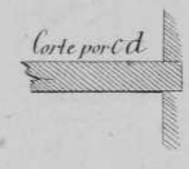
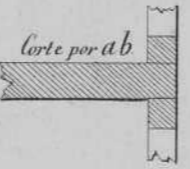
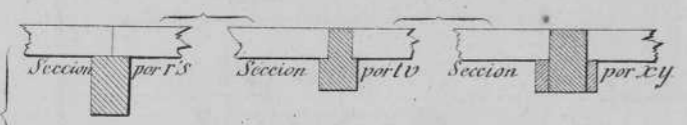


Fig. 364.

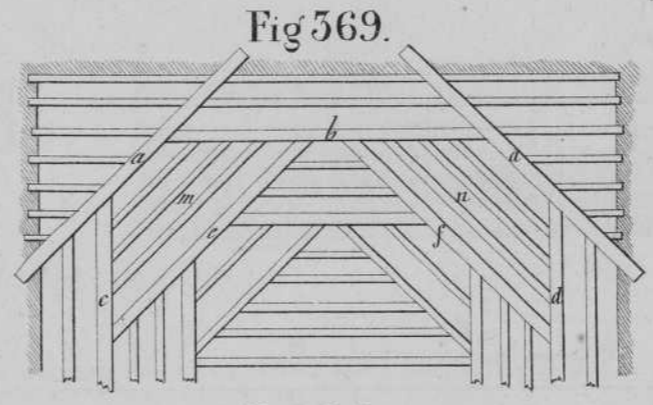


Fig. 369.

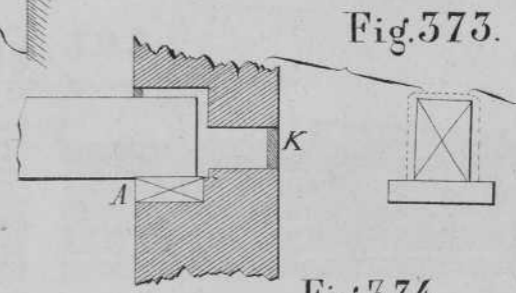


Fig. 373.

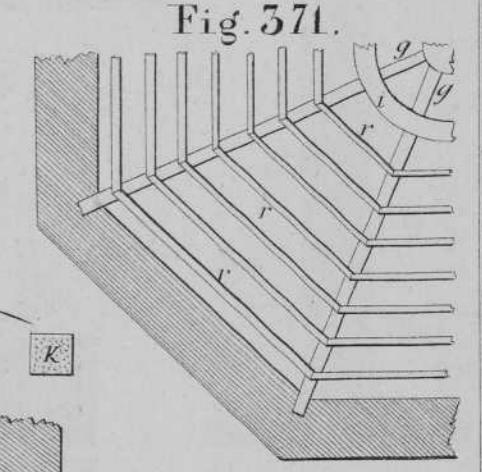


Fig. 371.

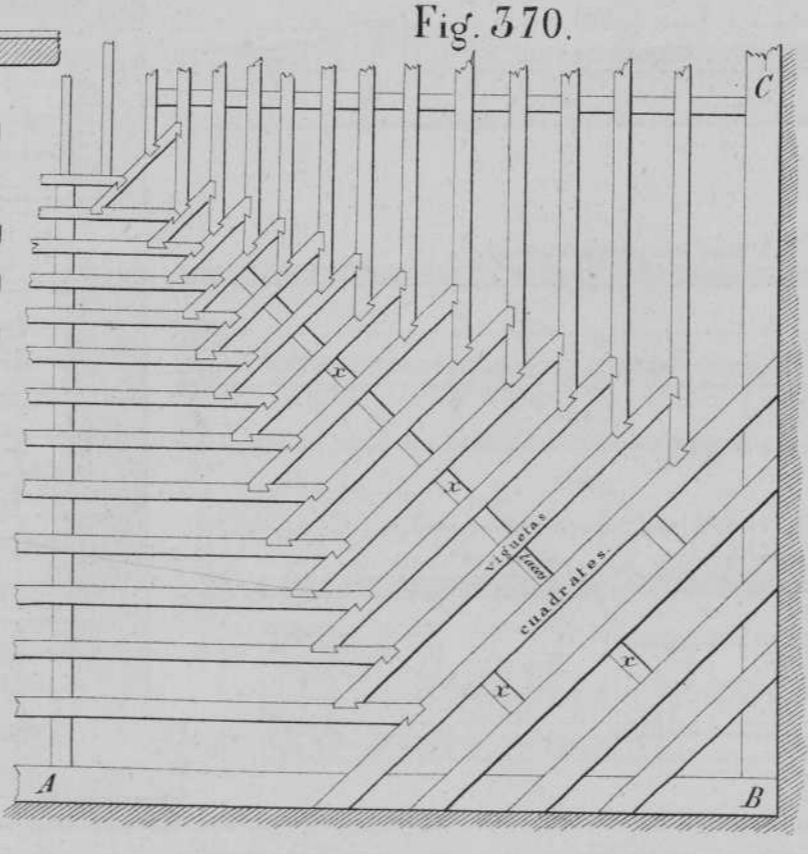


Fig. 370.

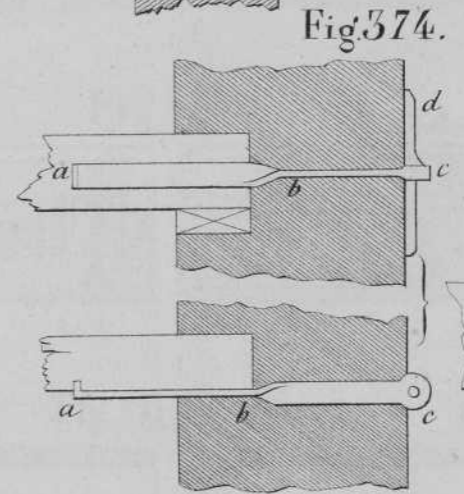


Fig. 374.

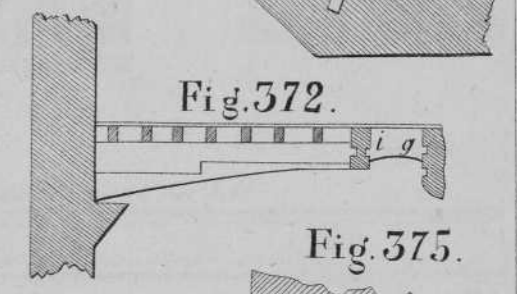


Fig. 372.

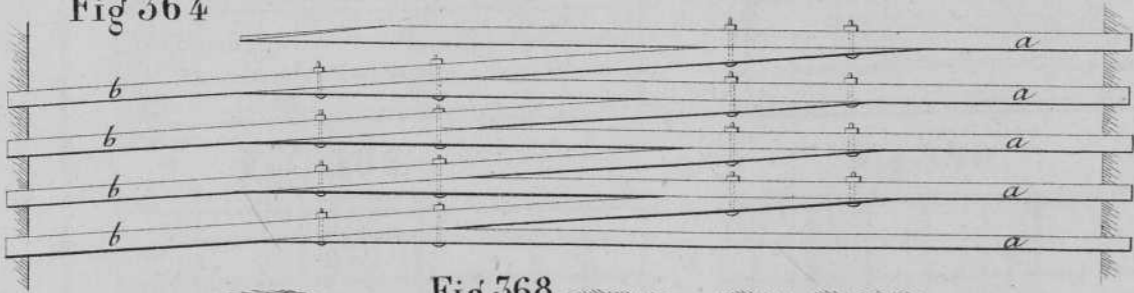


Fig. 367.

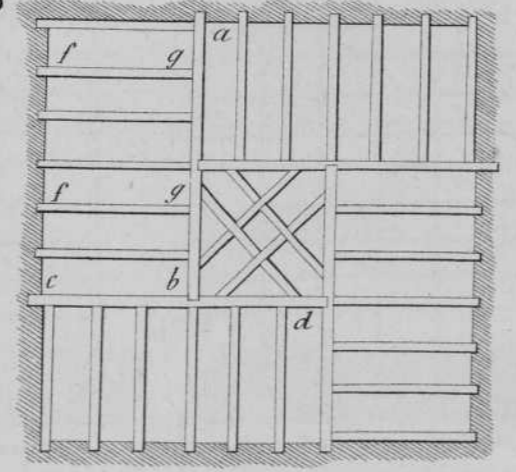


Fig. 368.

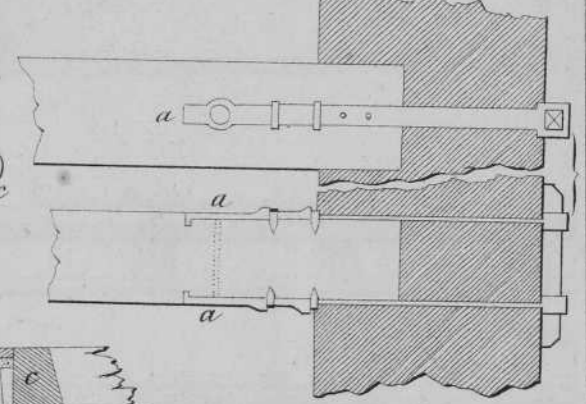


Fig. 375.

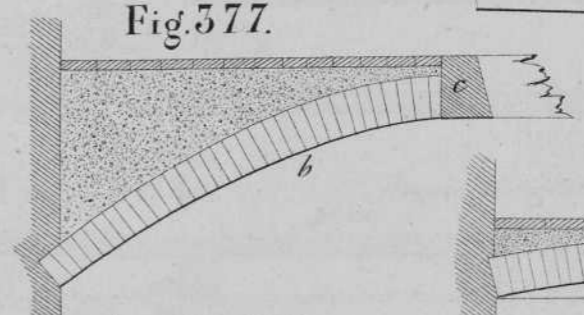


Fig. 377.

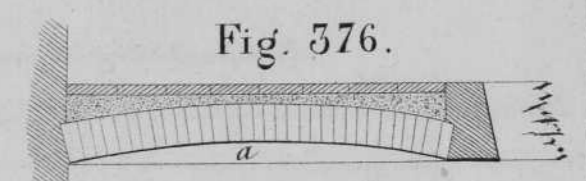


Fig. 376.

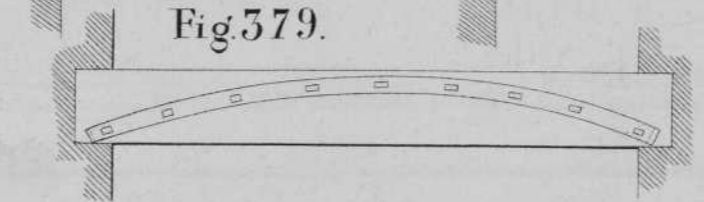


Fig. 379.

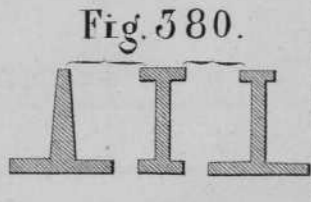


Fig. 380.

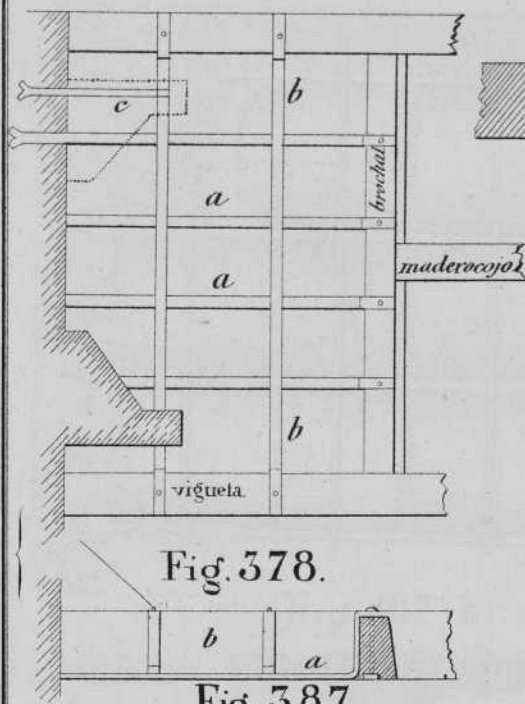


Fig. 378.

Fig. 387.

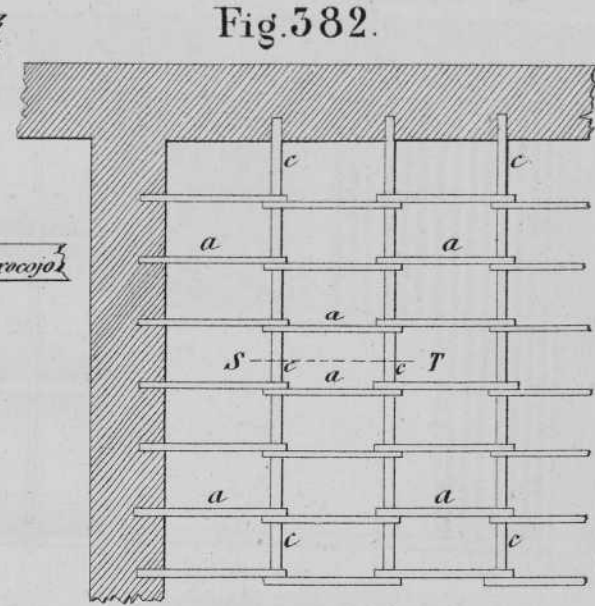


Fig. 382.

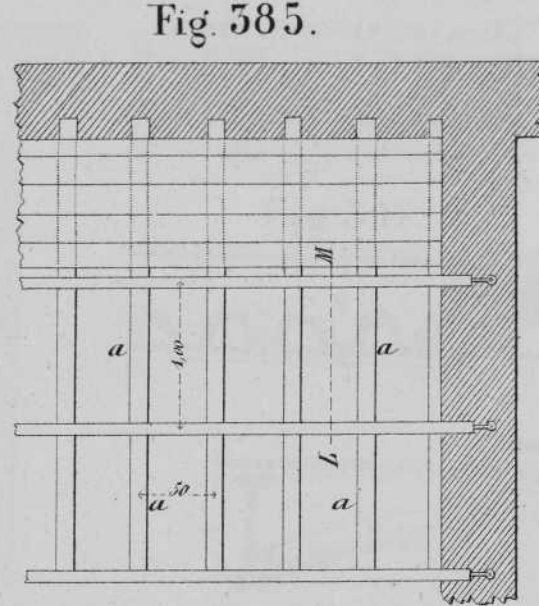


Fig. 385.

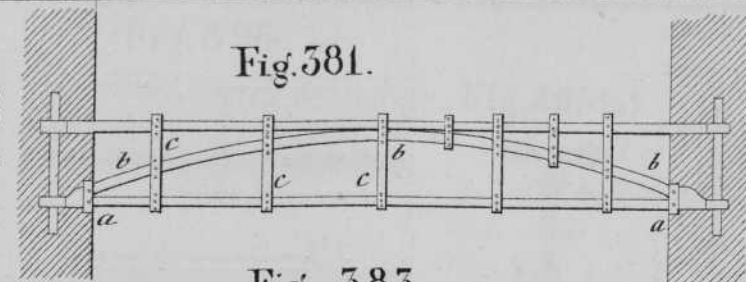


Fig. 381.



Fig. 383.

Seccion por ST (exc. doble)



Fig. 386.

Seccion por LM

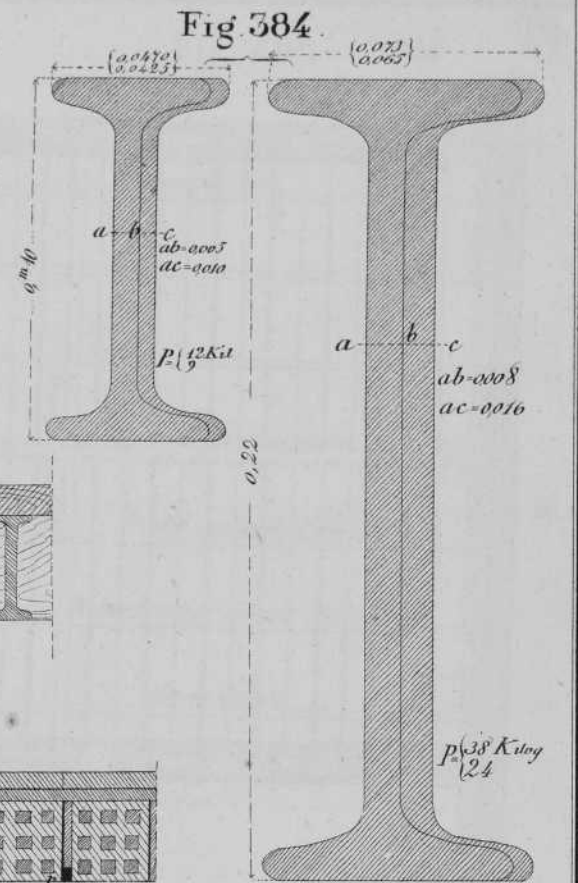


Fig. 384.

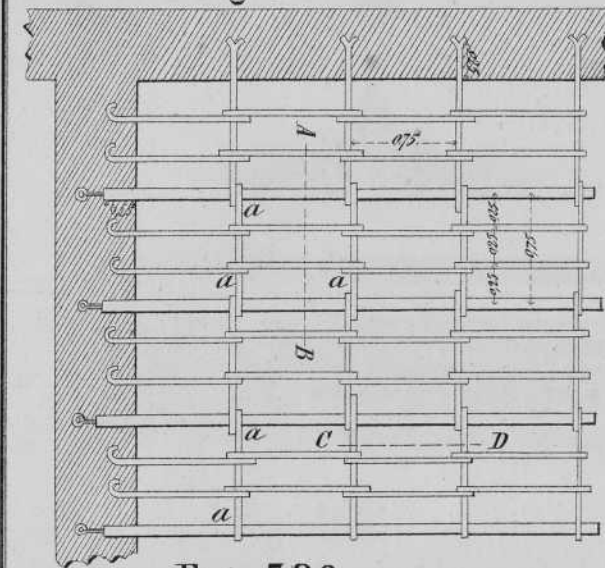


Fig. 589.

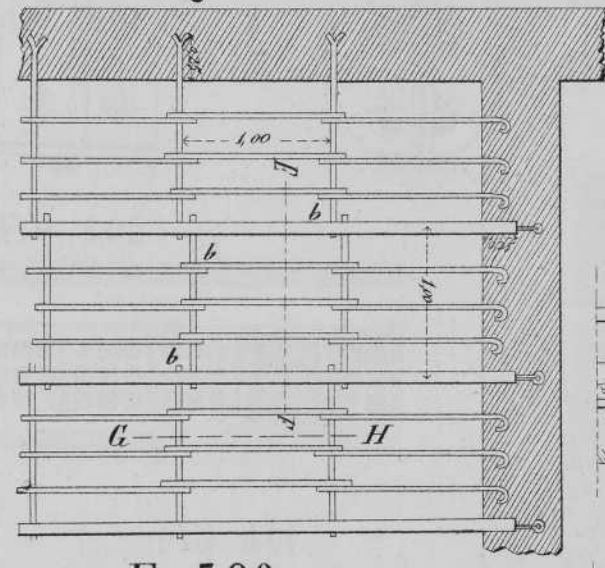


Fig. 590.

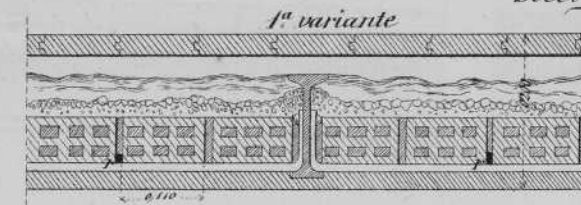


Fig. 595.

Seccion transversal por MN

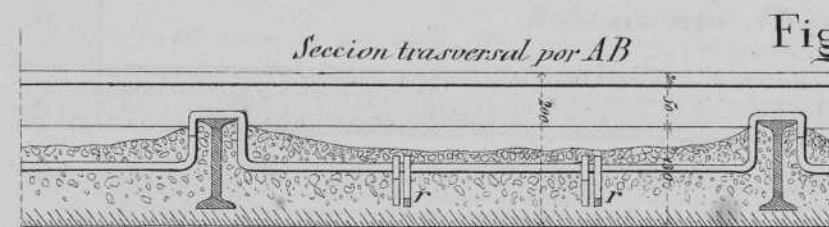
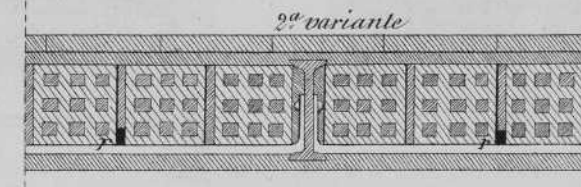


Fig. 591.

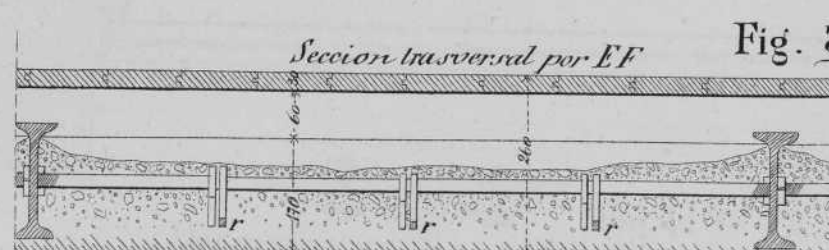
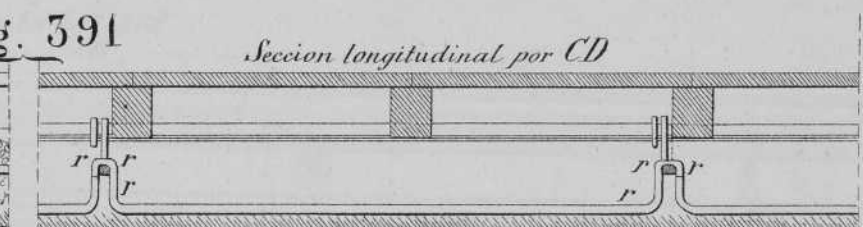


Fig. 592.

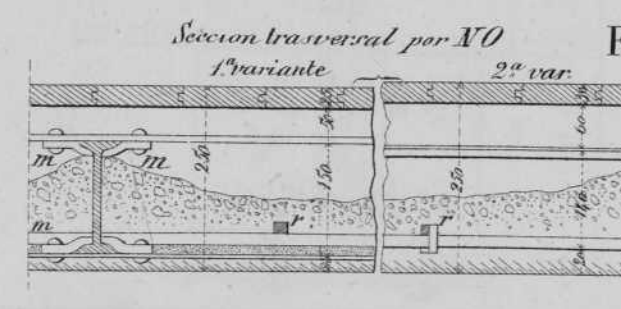
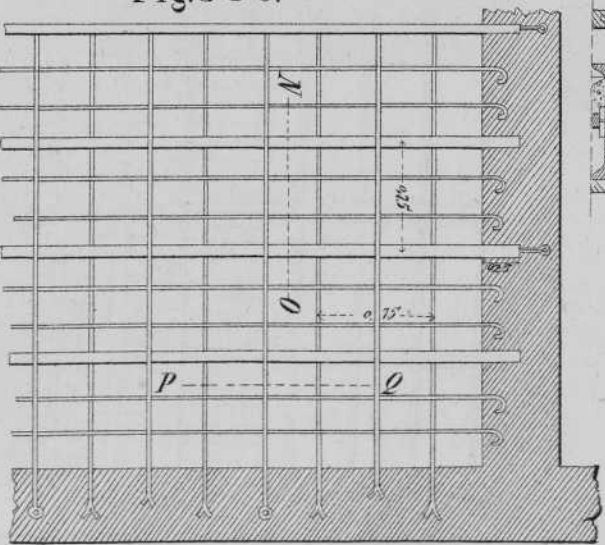
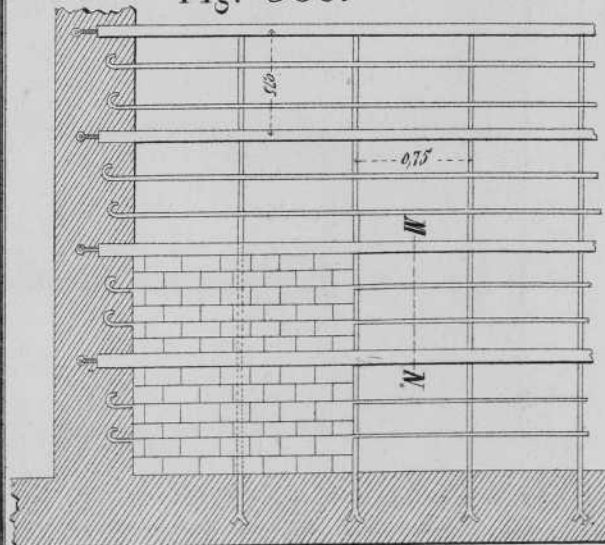
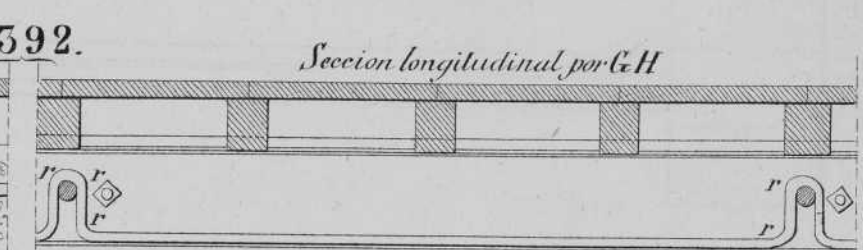
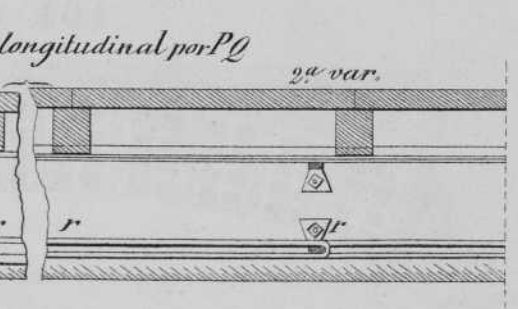
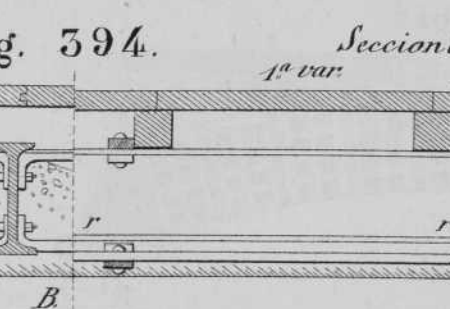
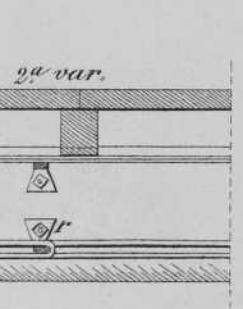


Fig. 594.



Seccion longitudinal por PQ



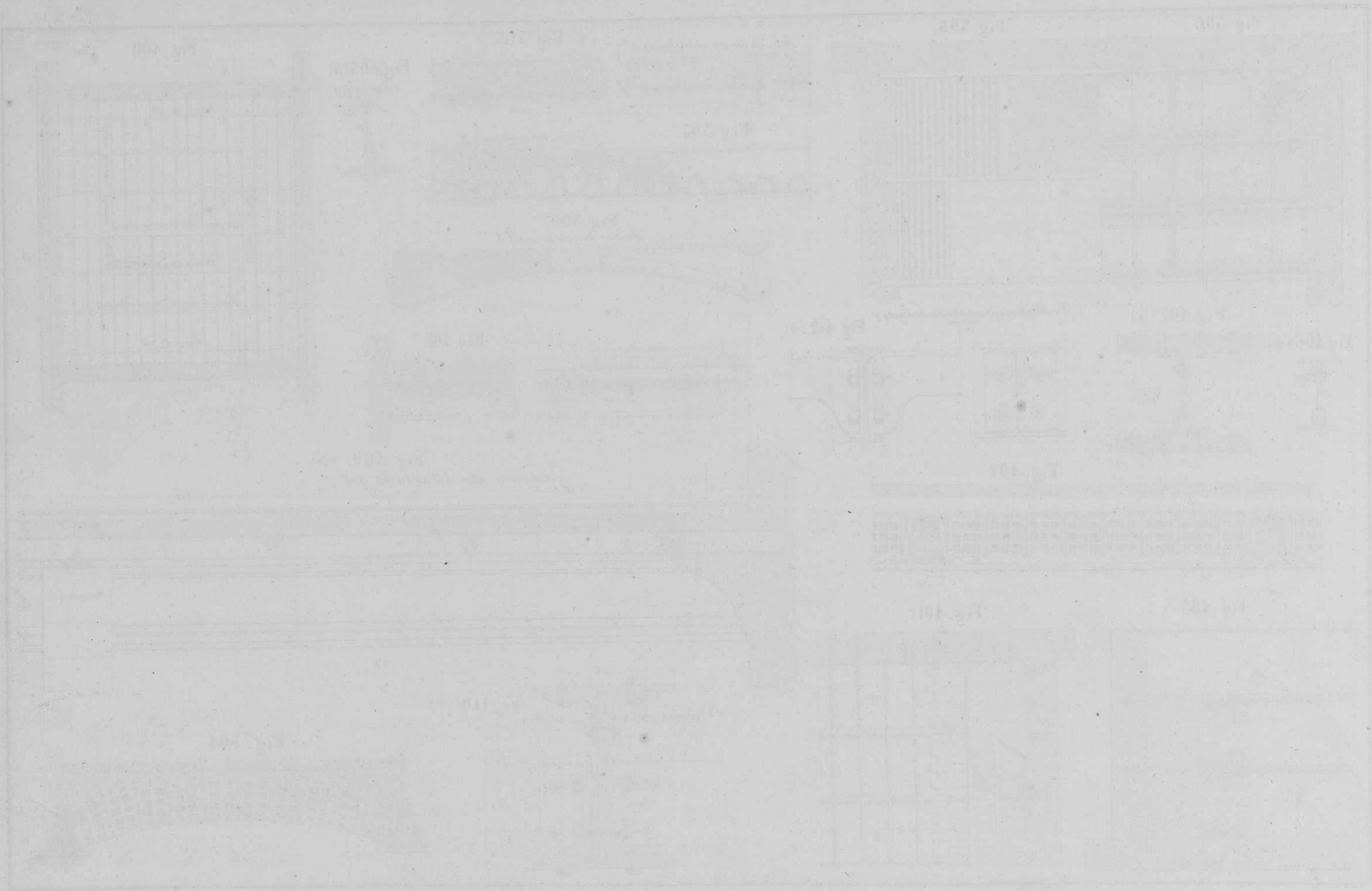


Fig. 411. ($\frac{1}{20}$)

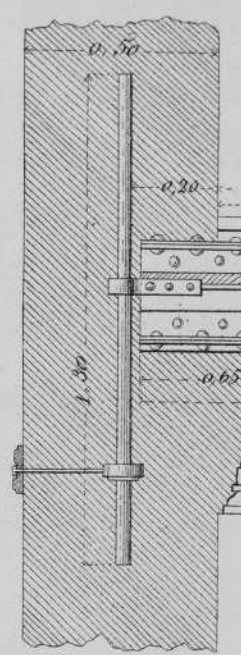


Fig. 422

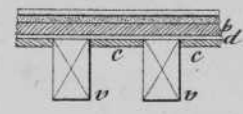


Fig. 423.

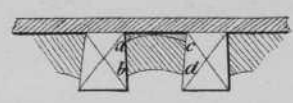


Fig. 424.

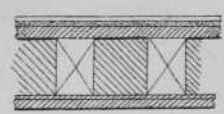


Fig. 425.

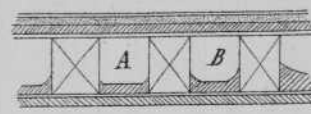
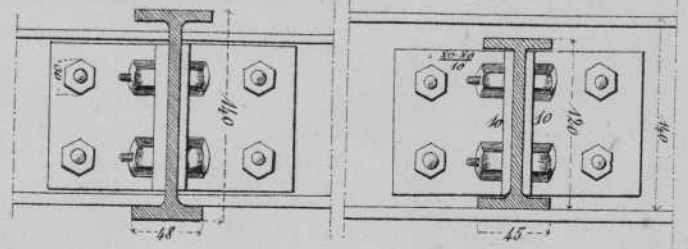


Fig. 413 ($\frac{1}{3}$)

Ensambladura de viguetas de 0^m14 y de 0^m12.



Corte C D de la fig. 408

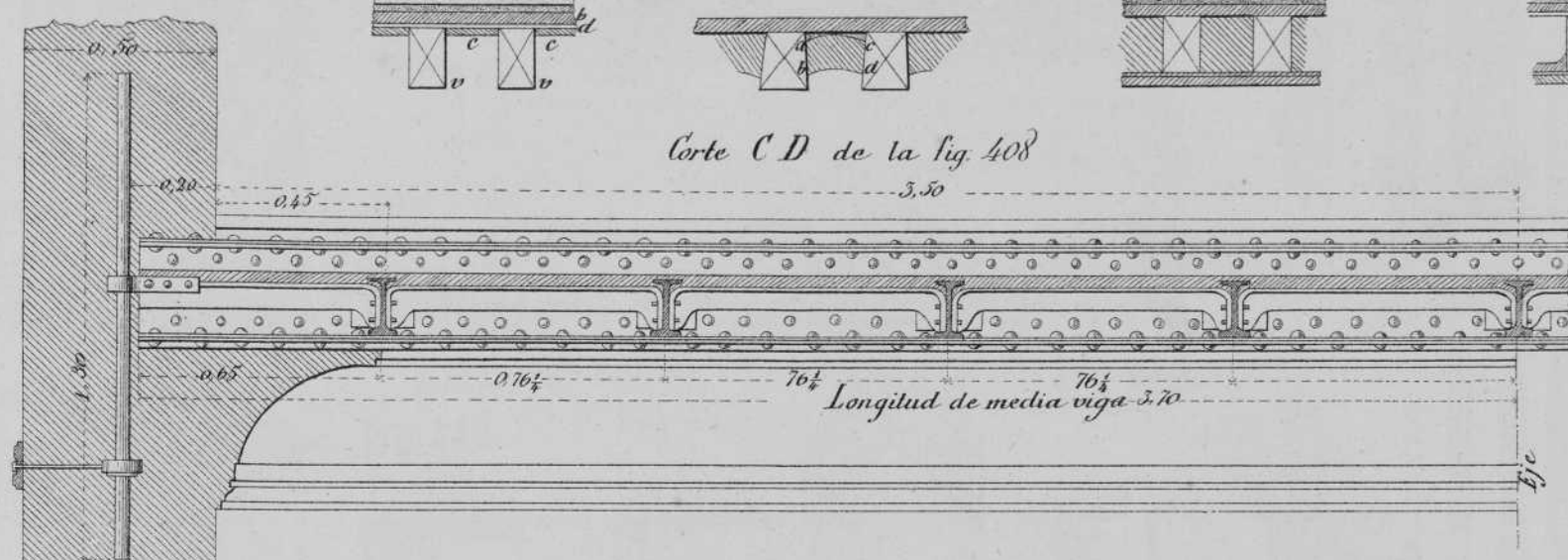


Fig. 417 ($\frac{1}{20}$)

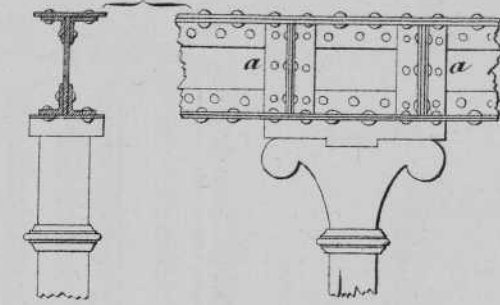


Fig. 414. ($\frac{1}{10}$)

Riandra de fundicion Corte C D

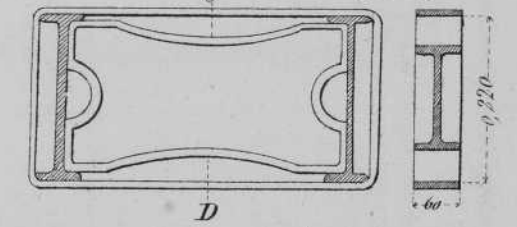


Fig. 419.

Corte a b de la fig. 418

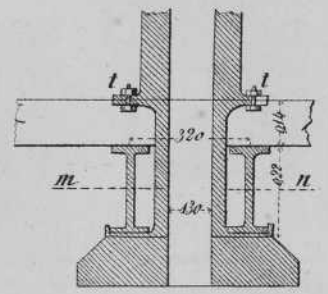


Fig. 420.

Corte m n de la fig. 419.

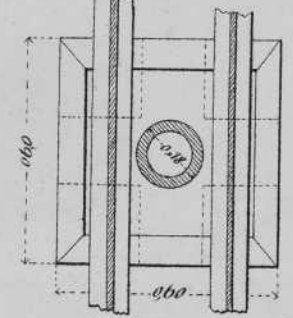


Fig. 421.

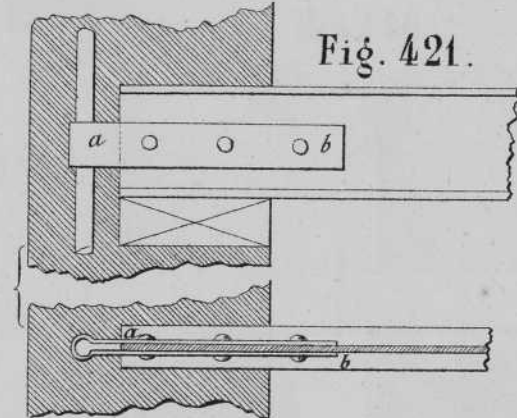


Fig. 428.

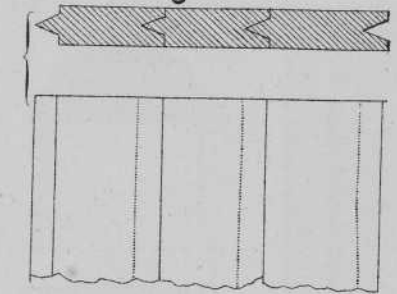


Fig. 415 ($\frac{1}{10}$)

Riandra de hierro Corte A B

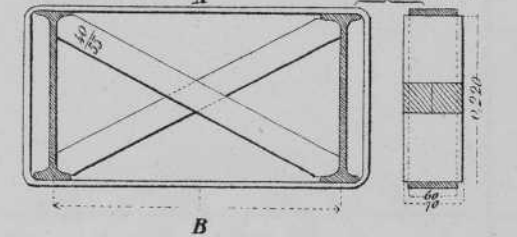


Fig. 418 ($\frac{1}{20}$)

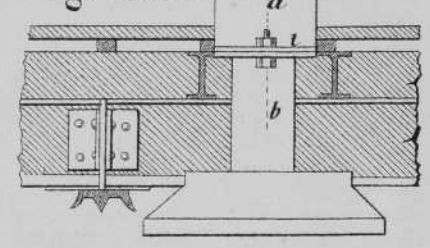


Fig. 429.

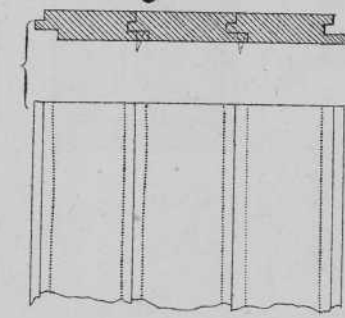


Fig. 416. ($\frac{1}{20}$)

Corte c d

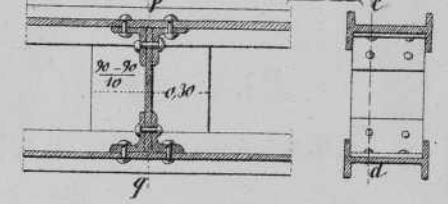


Fig. 427.

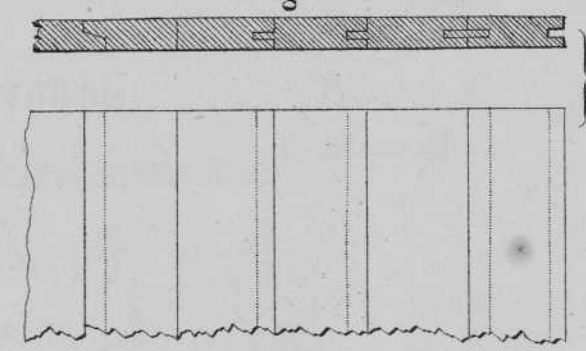


Fig. 432.

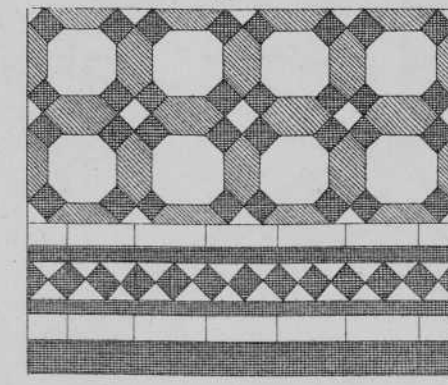


Fig. 431.

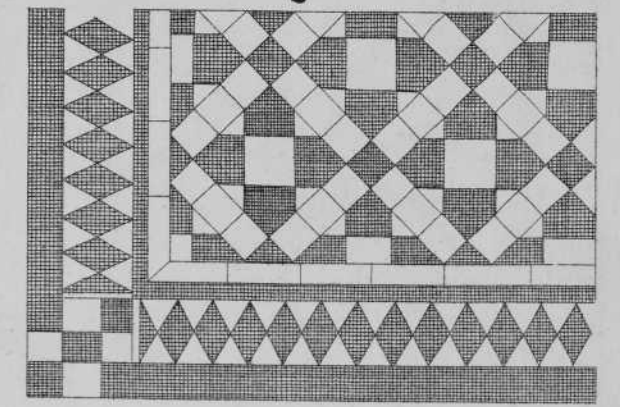


Fig. 426

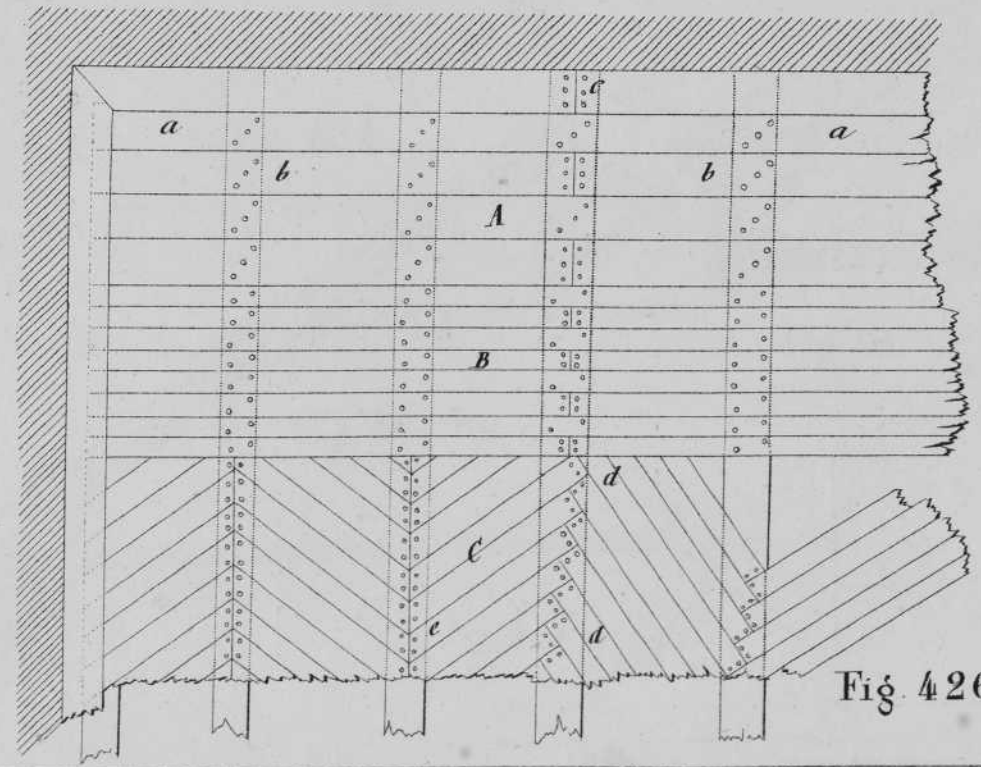
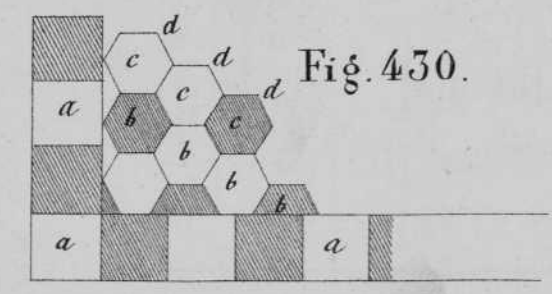


Fig. 430.



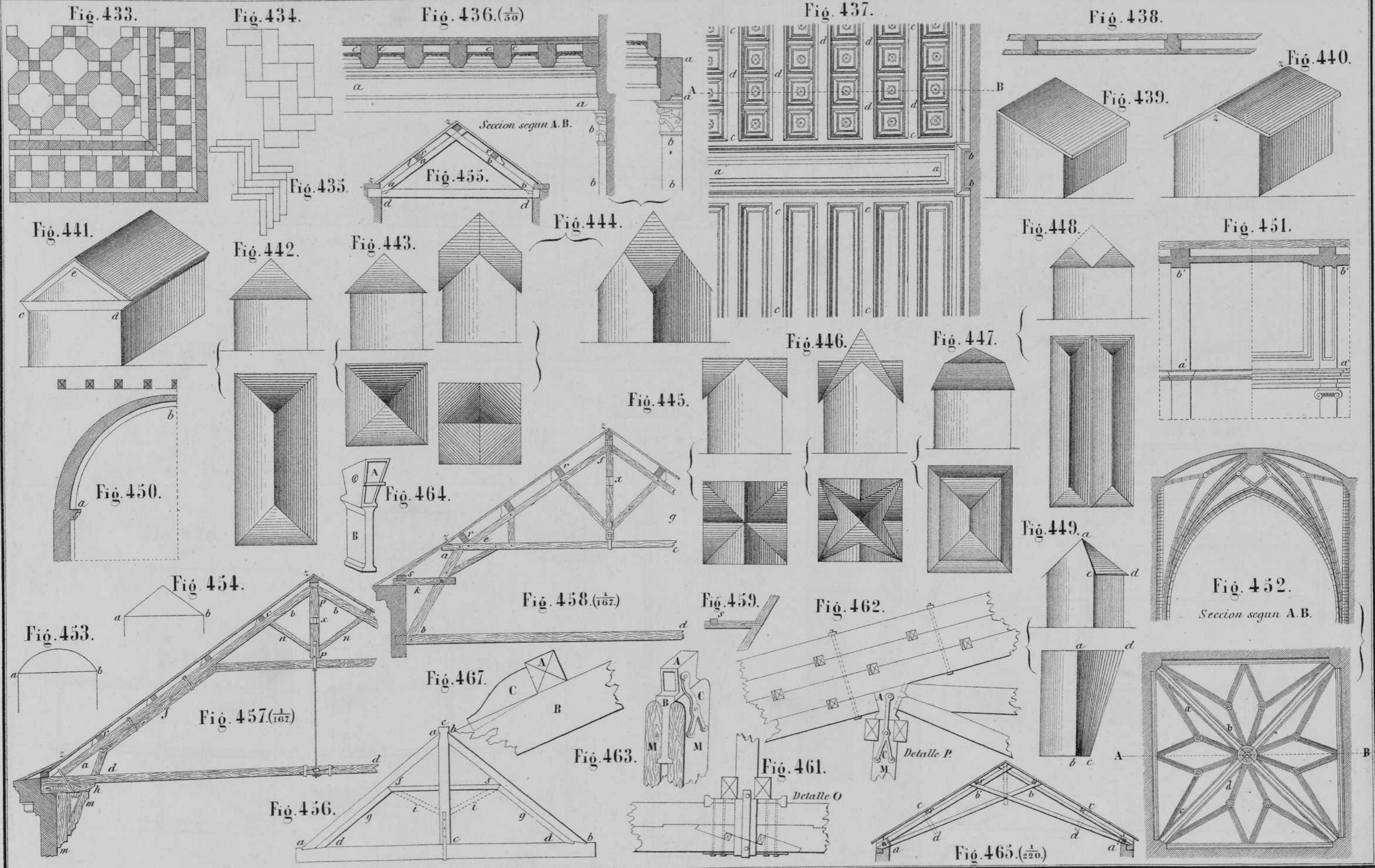


Fig. 466.

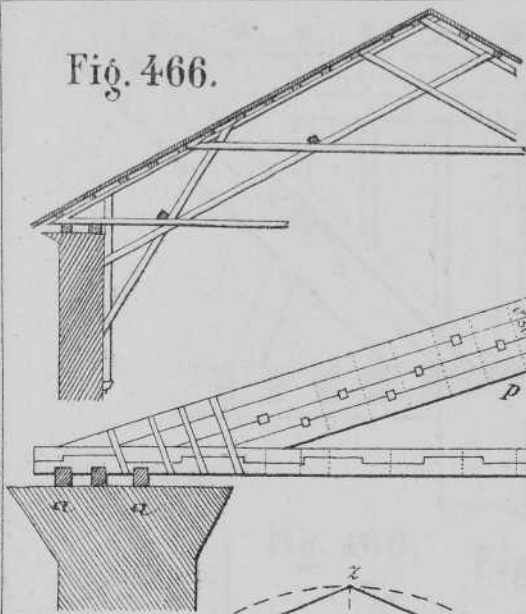
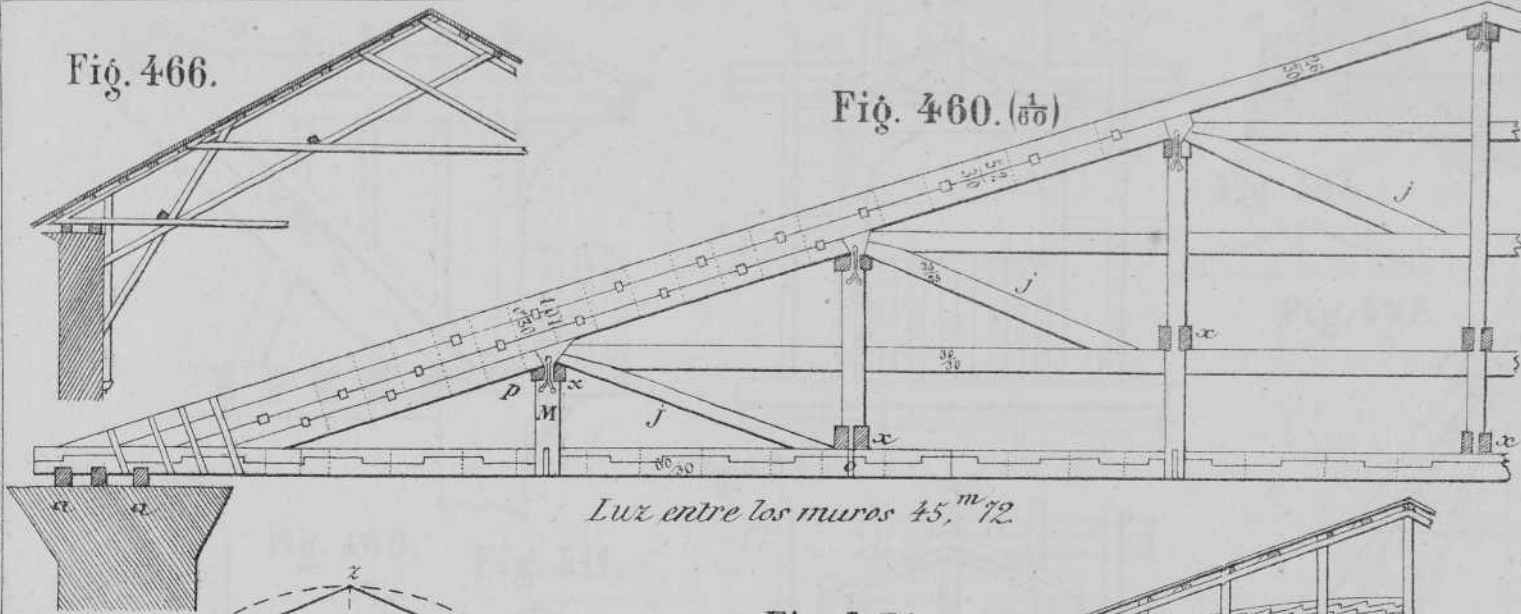


Fig. 460. (60)



Luz entre los muros 45, m 72

Fig. 472.

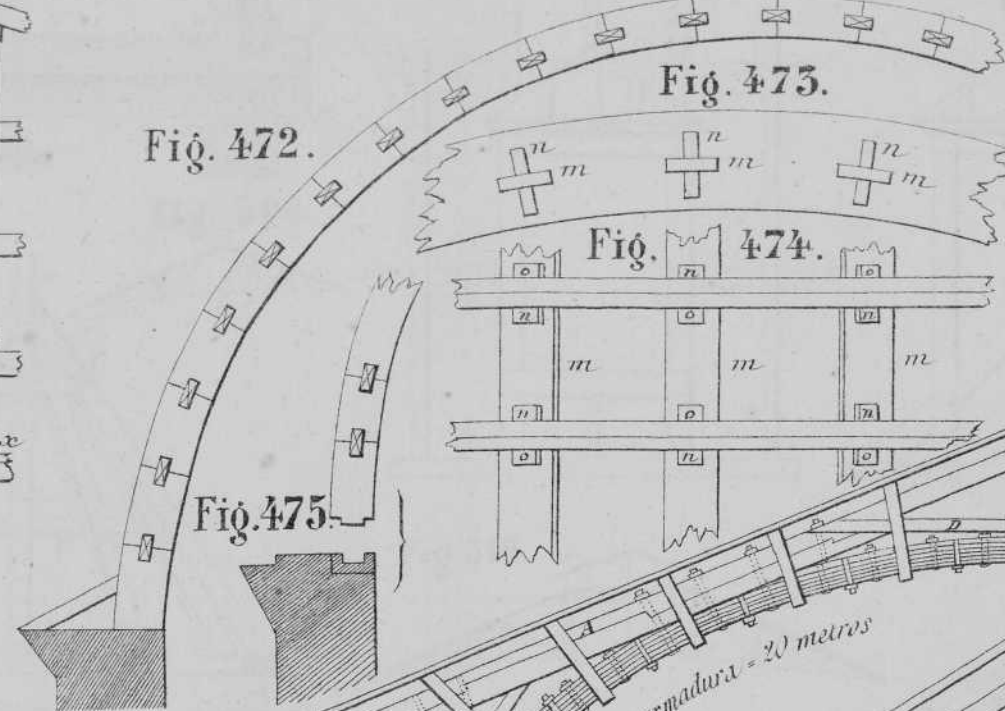


Fig. 473.

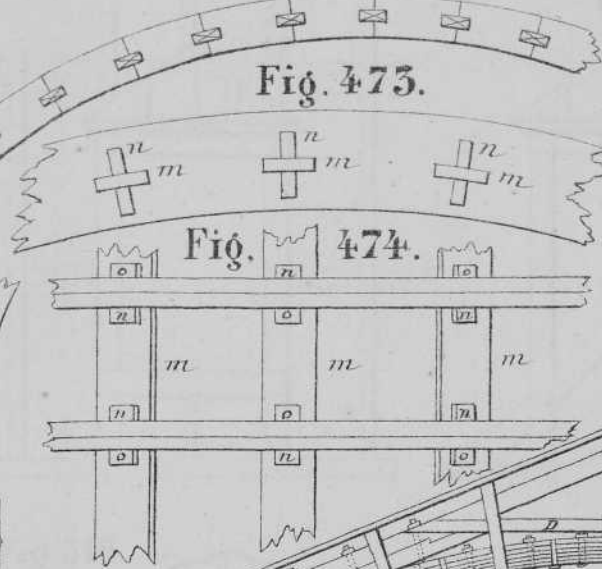


Fig. 474.

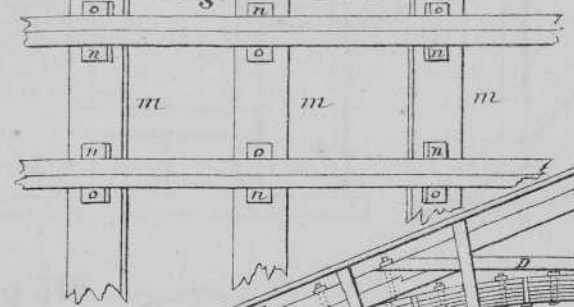


Fig. 479.

Fig. 476. (100)

Fig. 475.

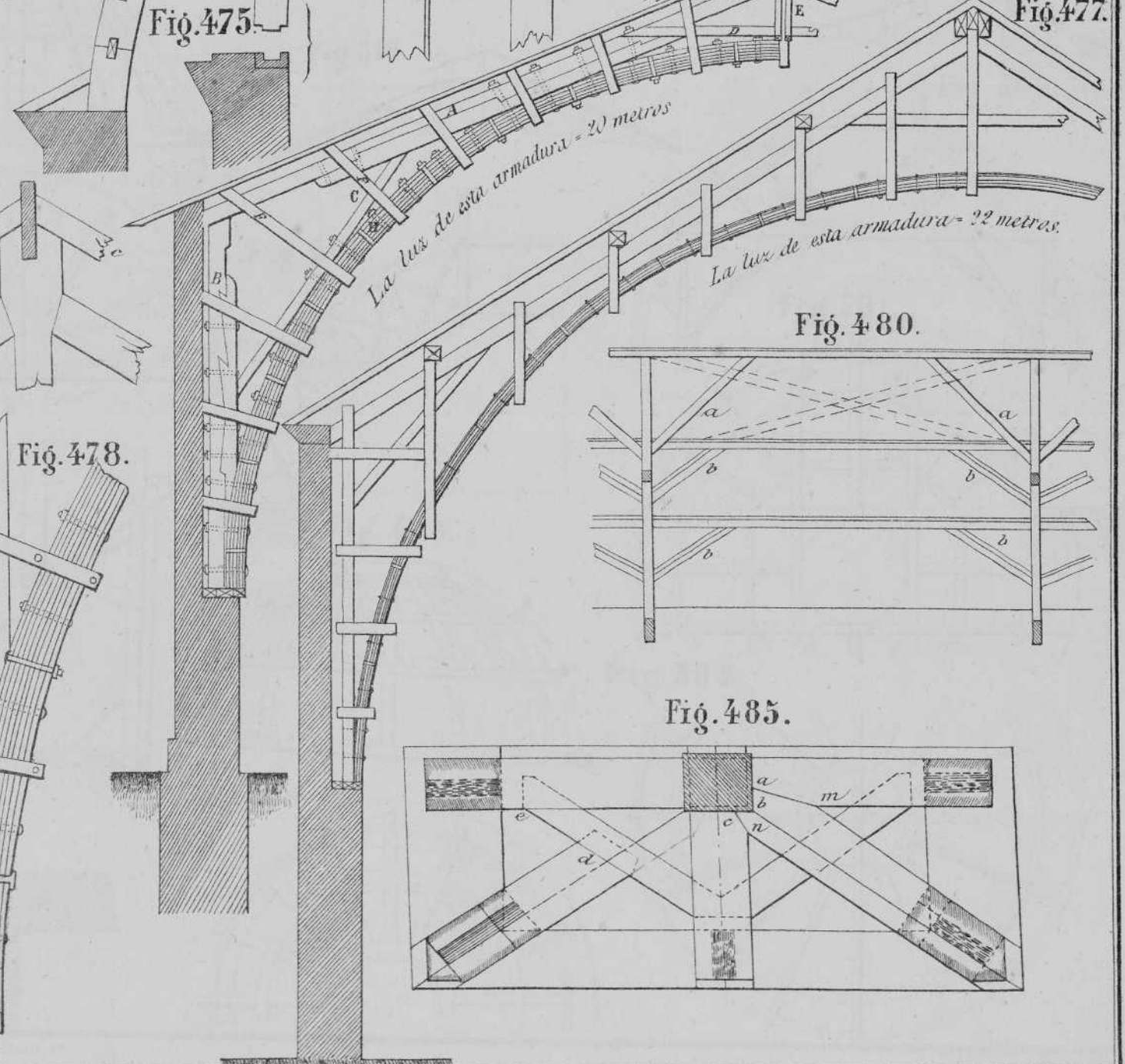


Fig. 477.

Fig. 471.

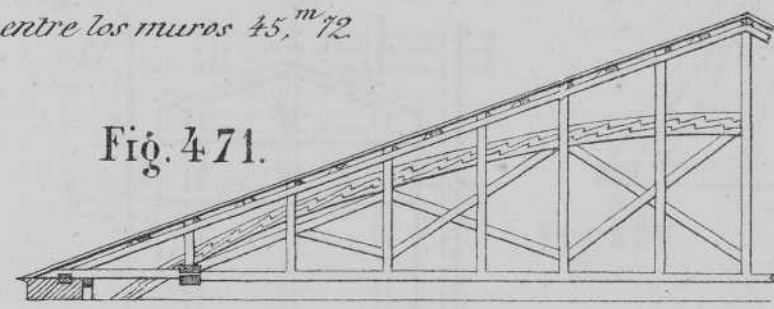


Fig. 469.

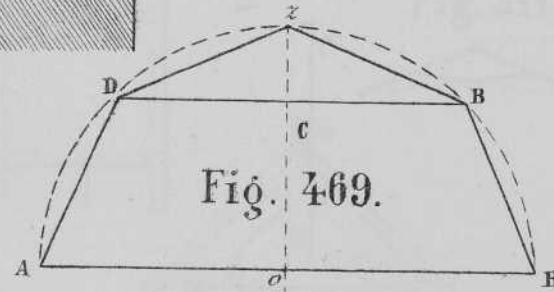


Fig. 470.

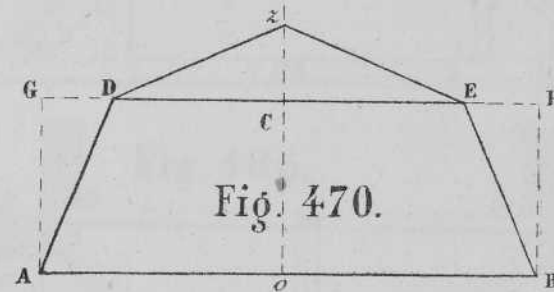


Fig. 468.

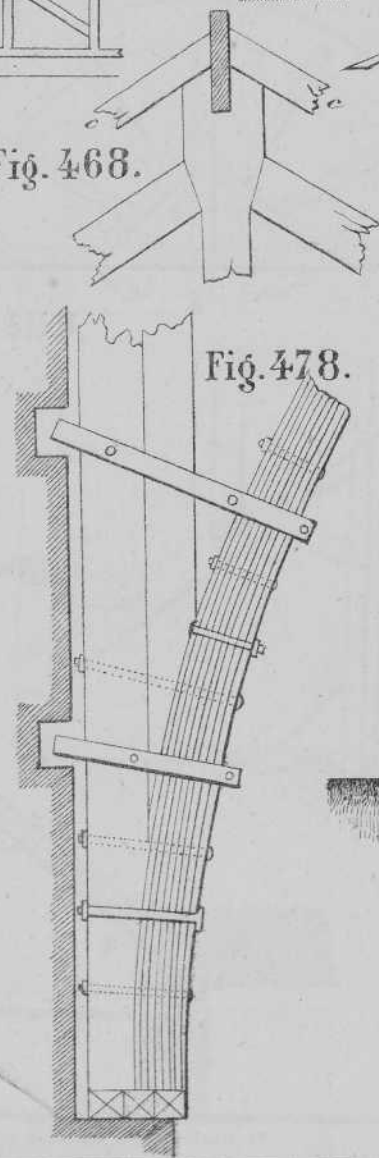


Fig. 481.

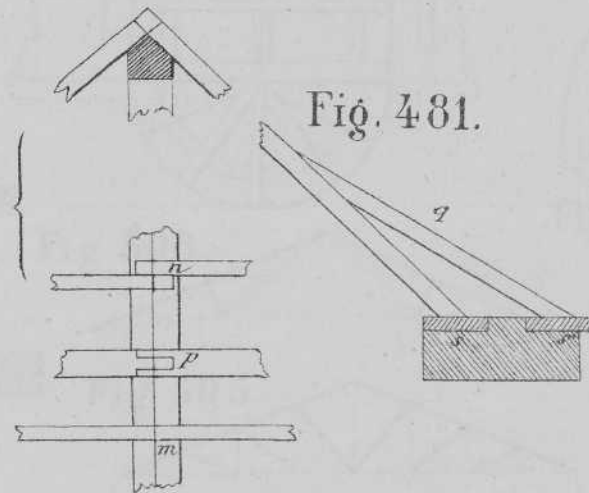


Fig. 478.

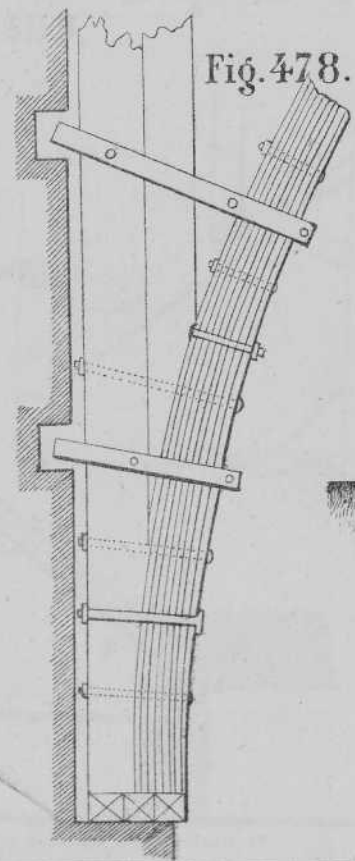


Fig. 480.

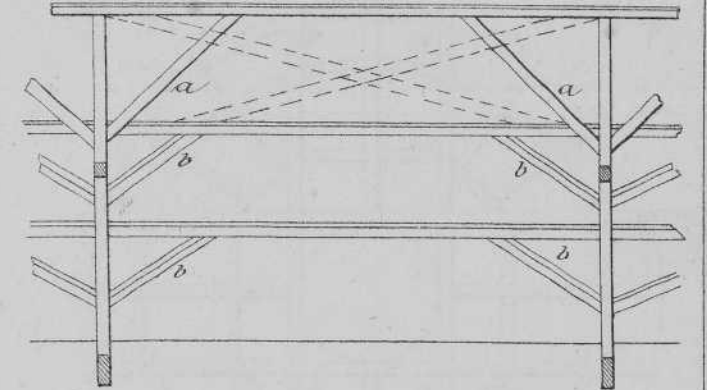


Fig. 483.

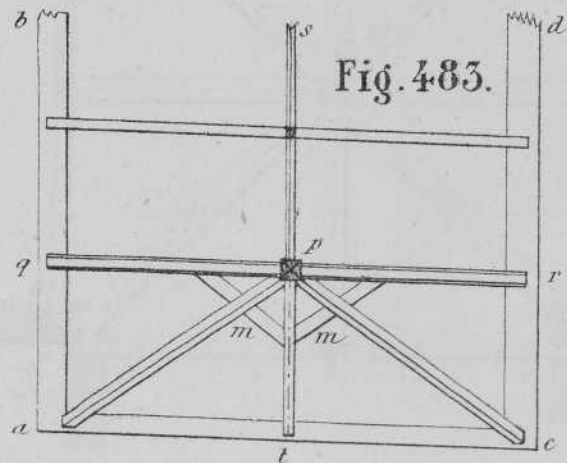


Fig. 484.

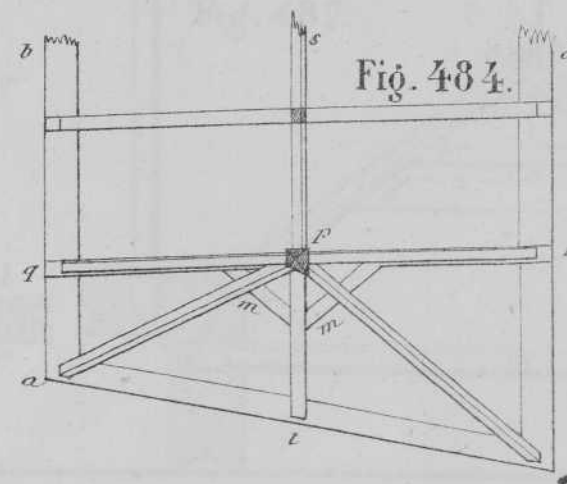


Fig. 485.

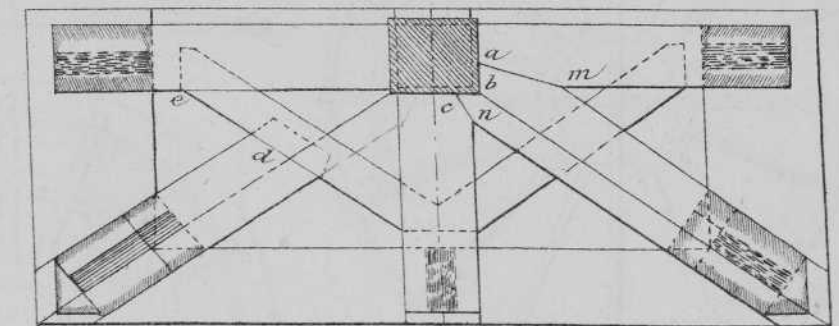


Fig. 493.

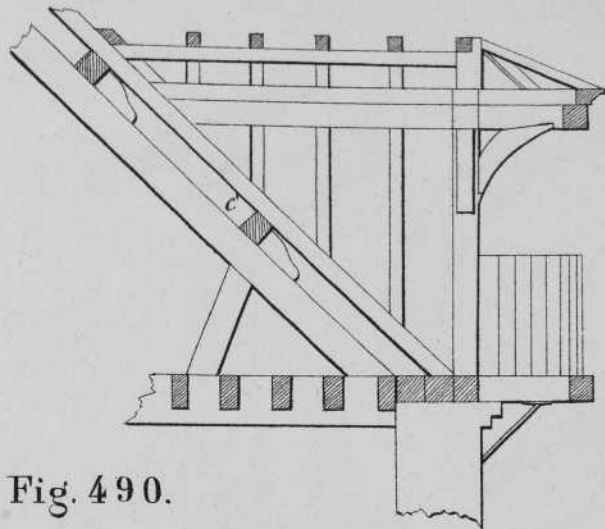


Fig. 494.

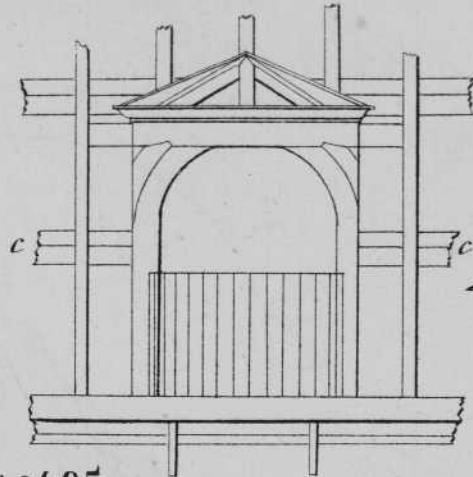


Fig. 482.

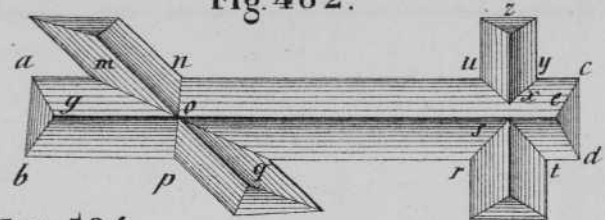


Fig. 491.

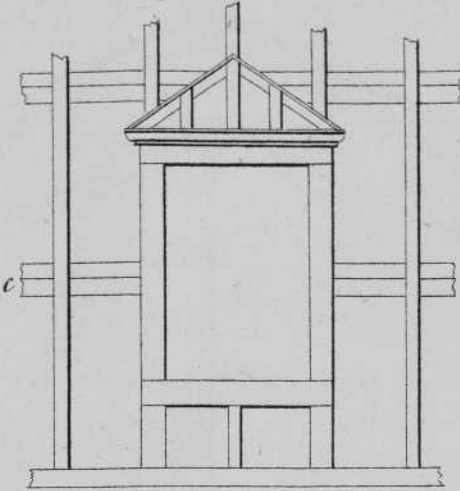


Fig. 492.

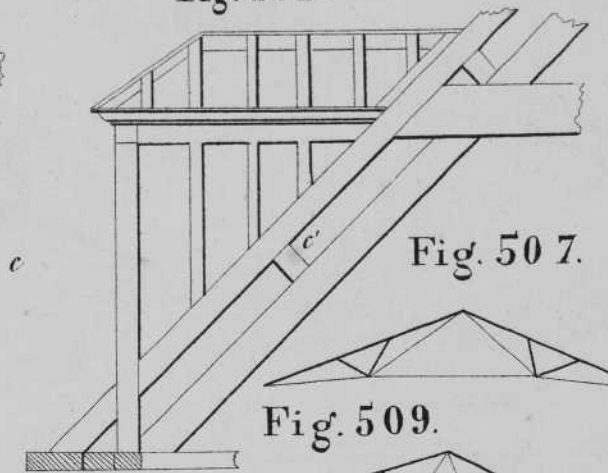


Fig. 504.



Fig. 506.



Fig. 507.



Fig. 497.

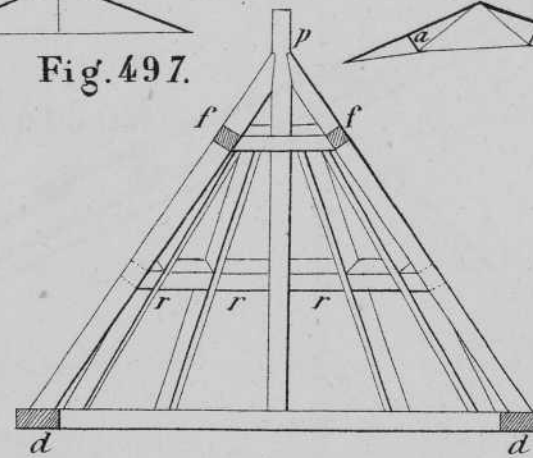


Fig. 509.



Fig. 490.

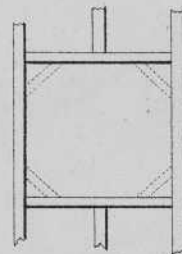


Fig. 488.



Fig. 511.

Fig. 495.

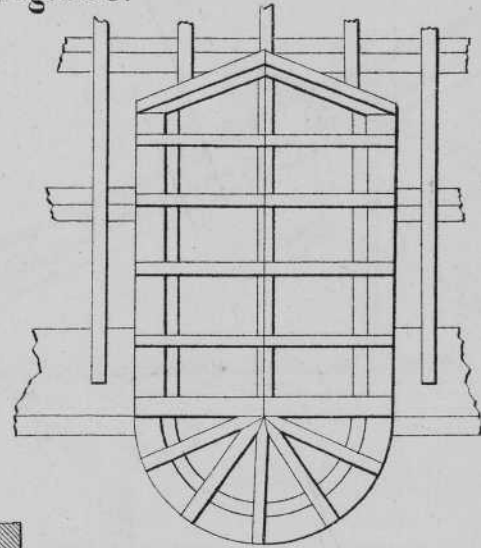


Fig. 510.

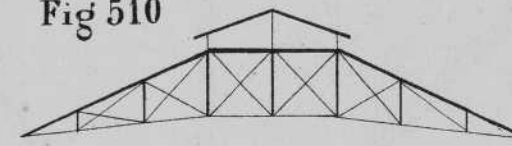


Fig. 496.

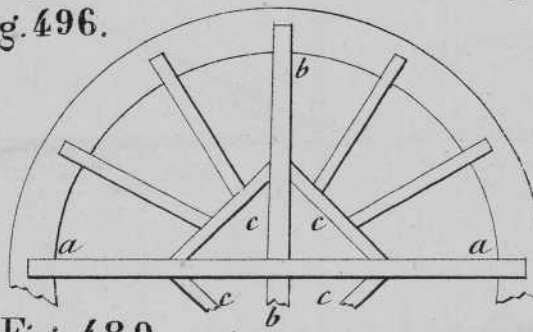


Fig. 500.

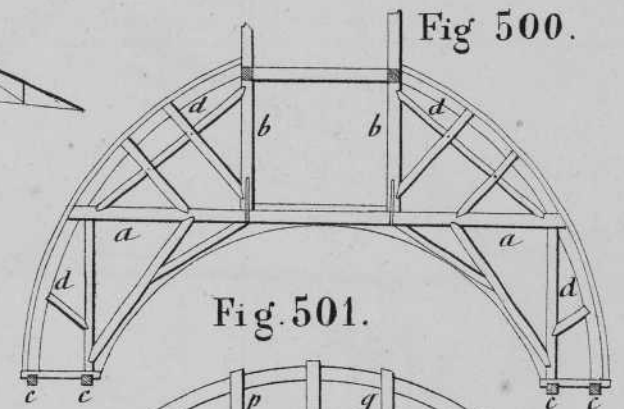


Fig. 503.

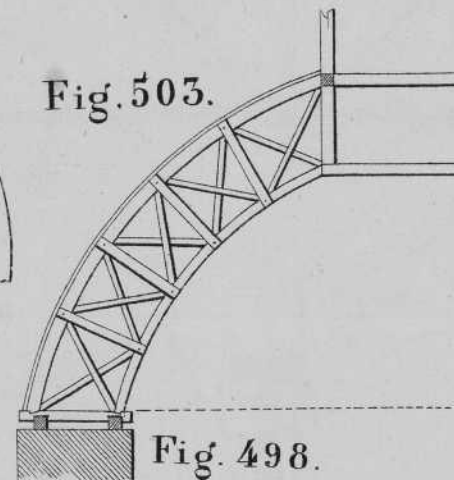


Fig. 501.

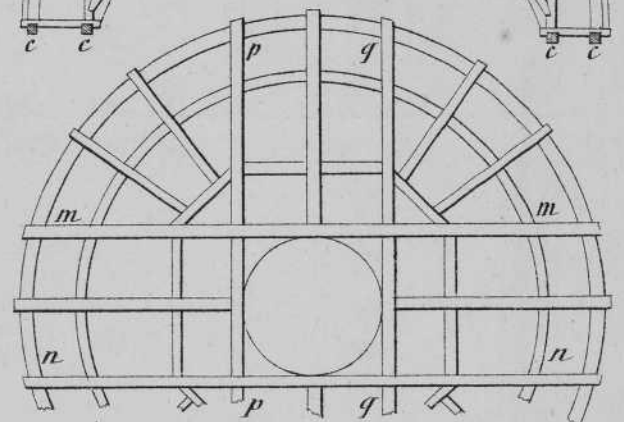


Fig. 486.

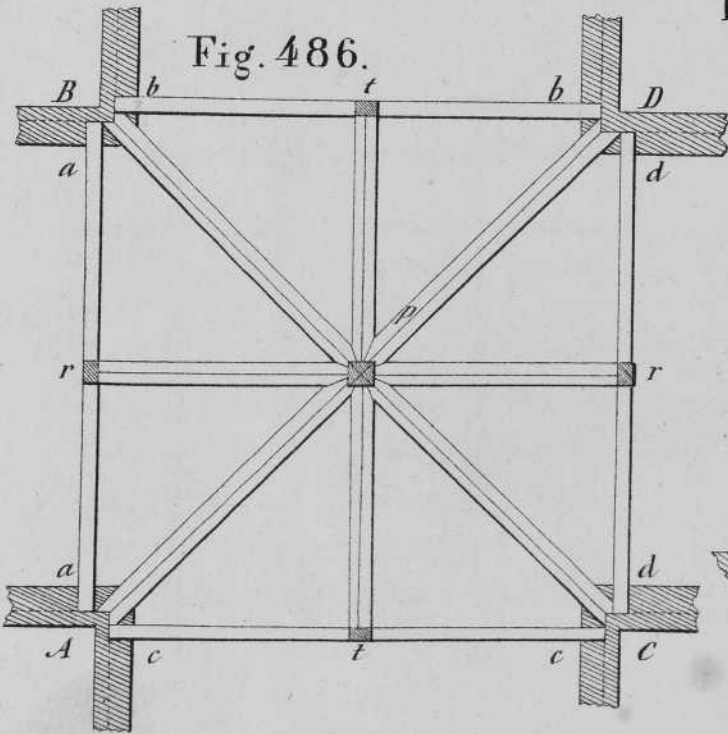


Fig. 508.

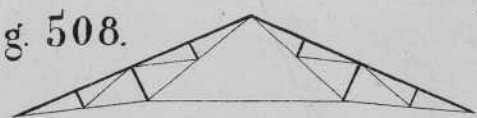


Fig. 489.

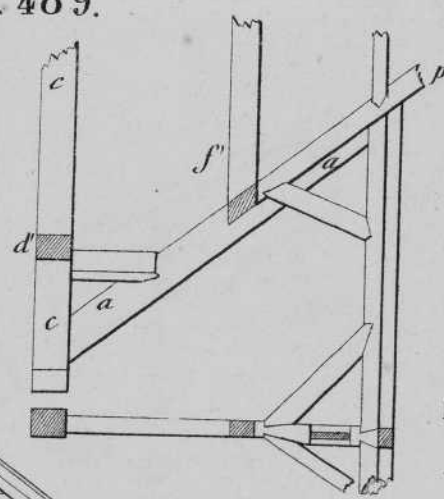


Fig. 498.

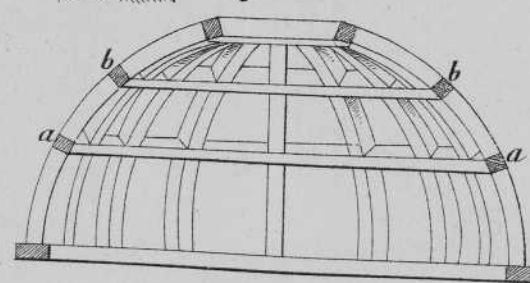


Fig. 502.

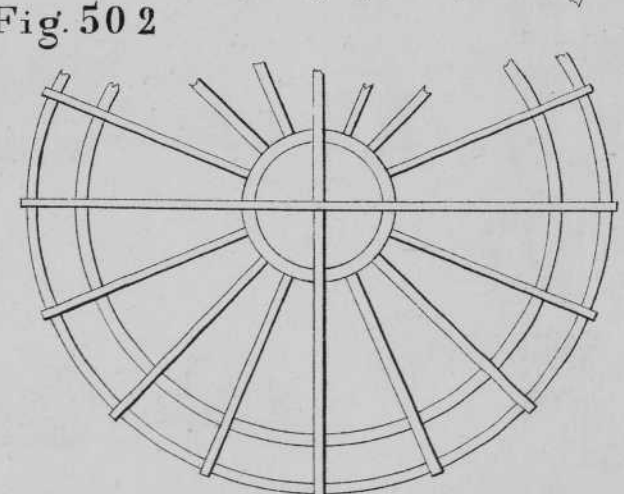


Fig. 505.

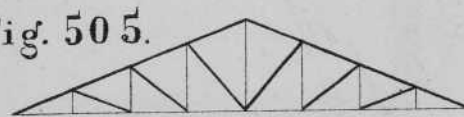


Fig. 487.

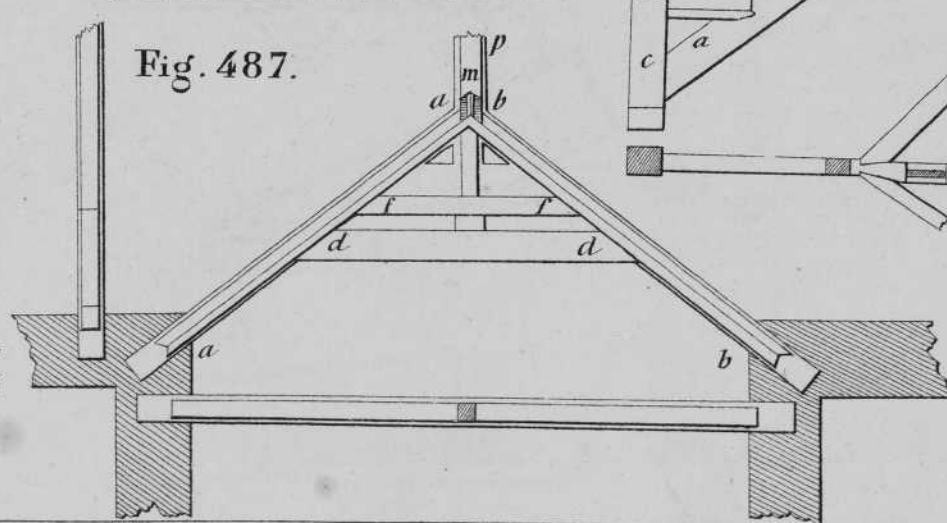


Fig. 499.

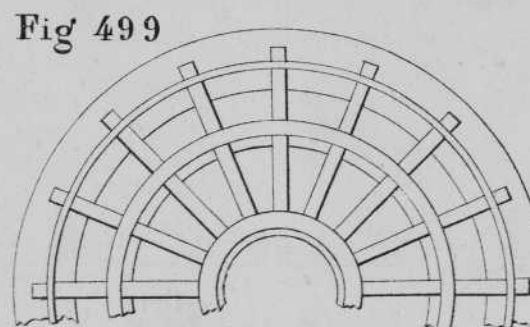


Fig. 522.

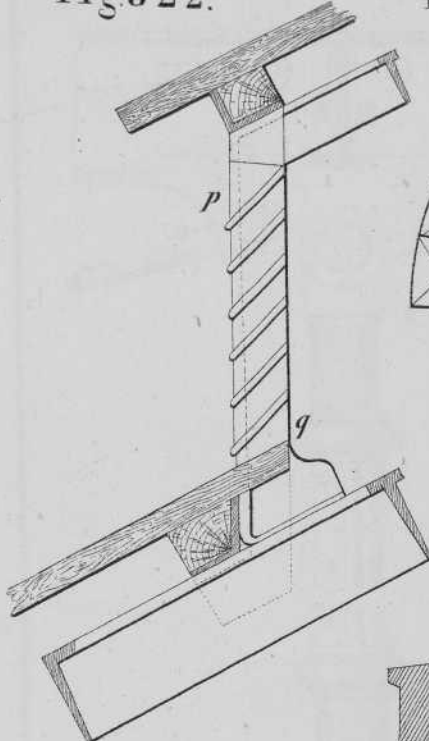


Fig. 514.



Fig. 515.

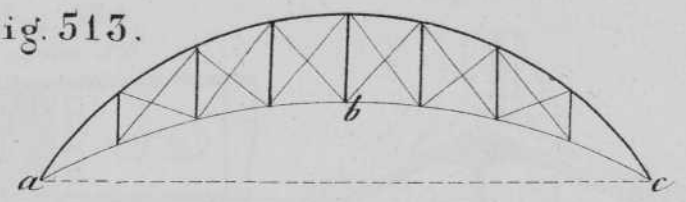


Fig. 515. (1/66)

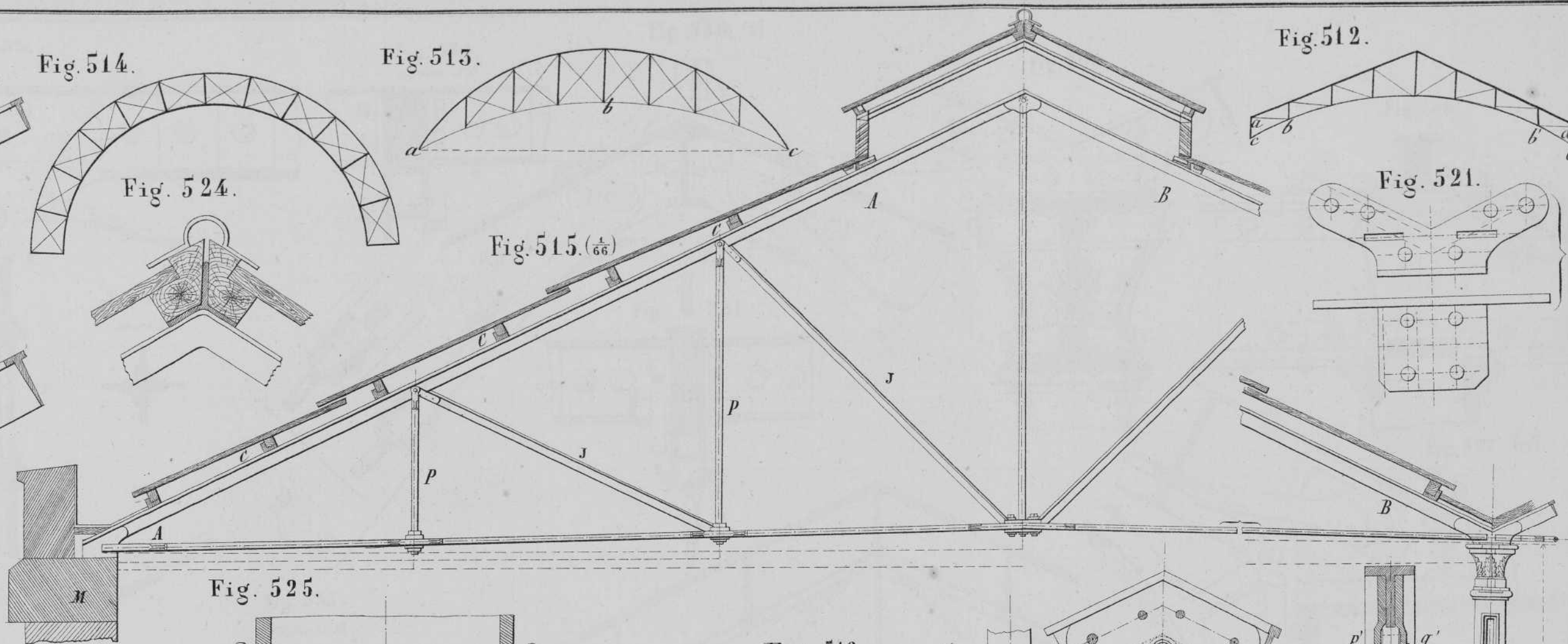


Fig. 512.

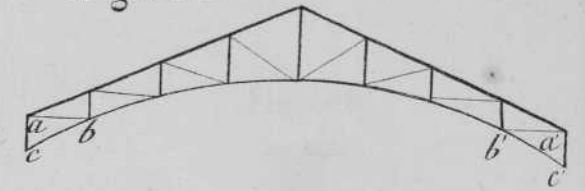


Fig. 521.

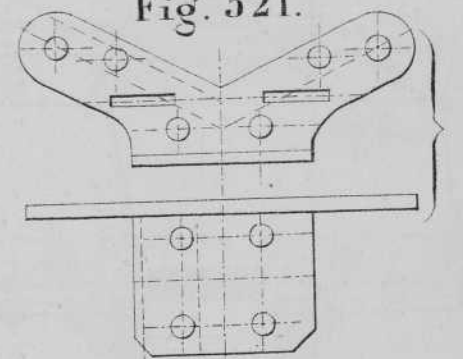


Fig. 525.

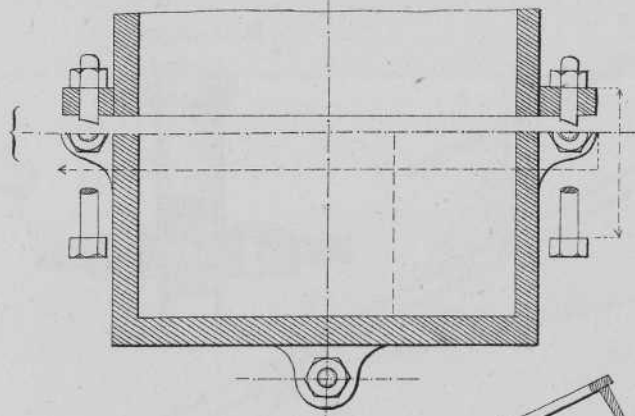


Fig. 516.

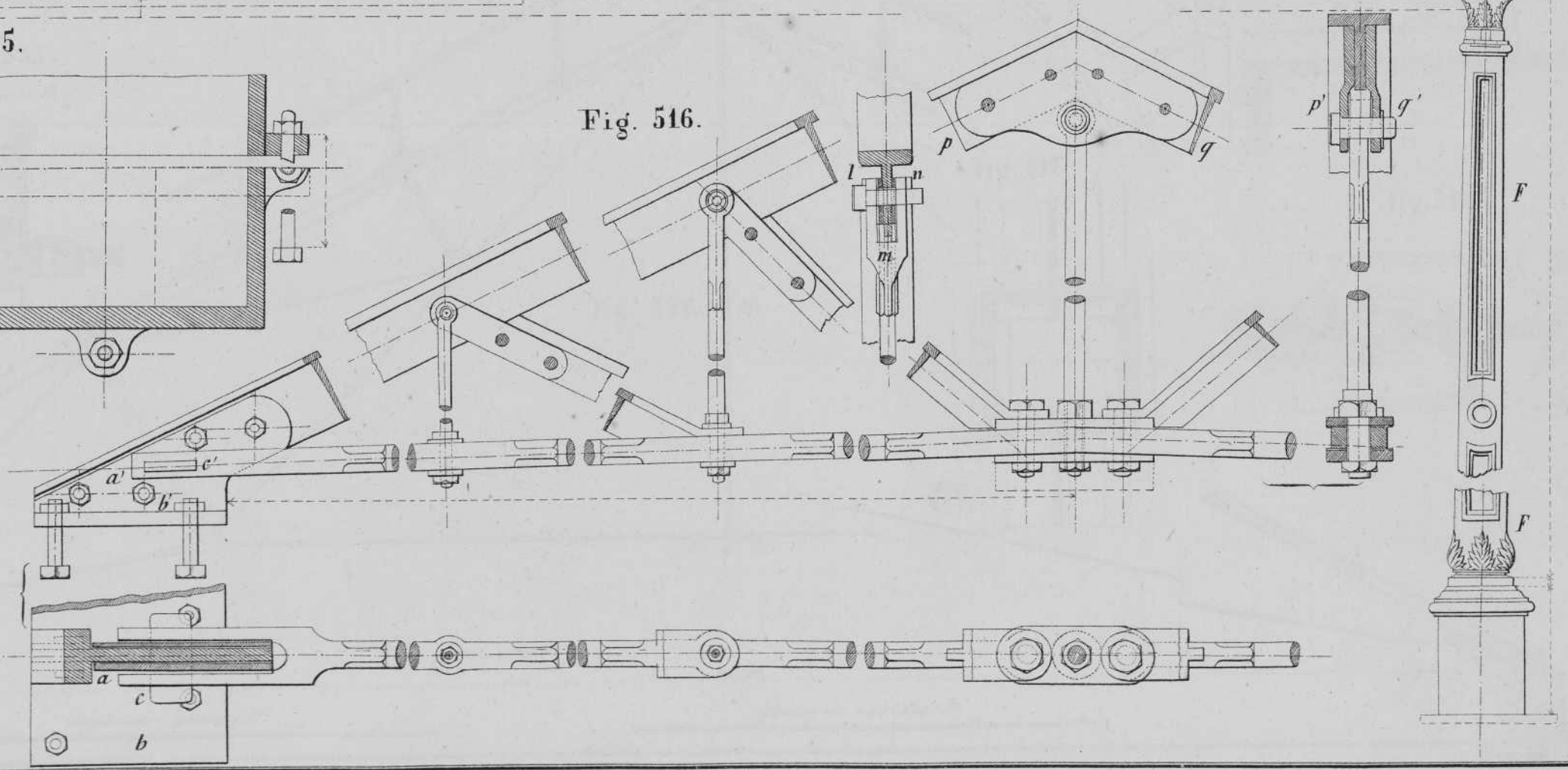


Fig. 523.

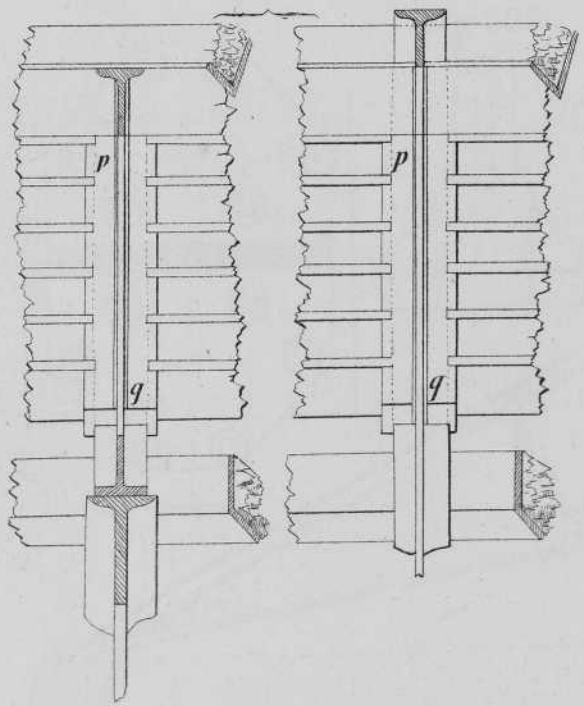


Fig. 533.

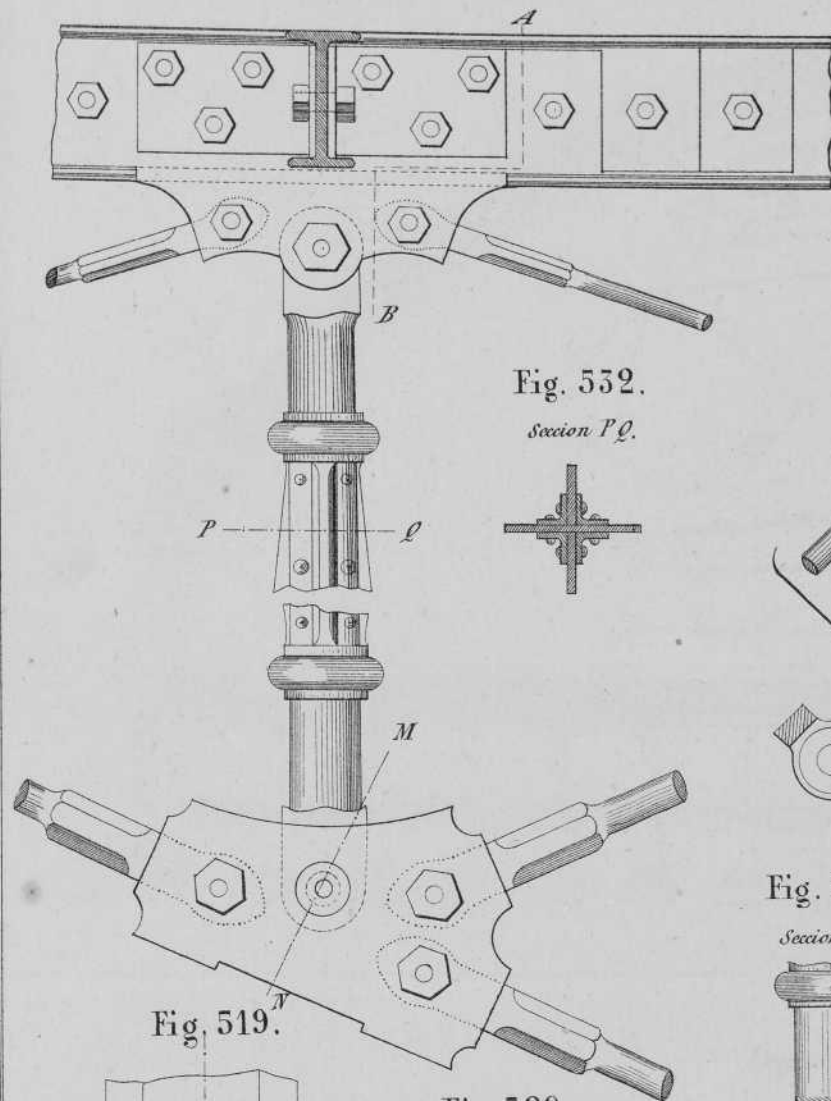


Fig. 532.
Seccion P Q.

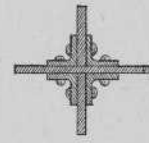


Fig. 534.
Seccion A B.

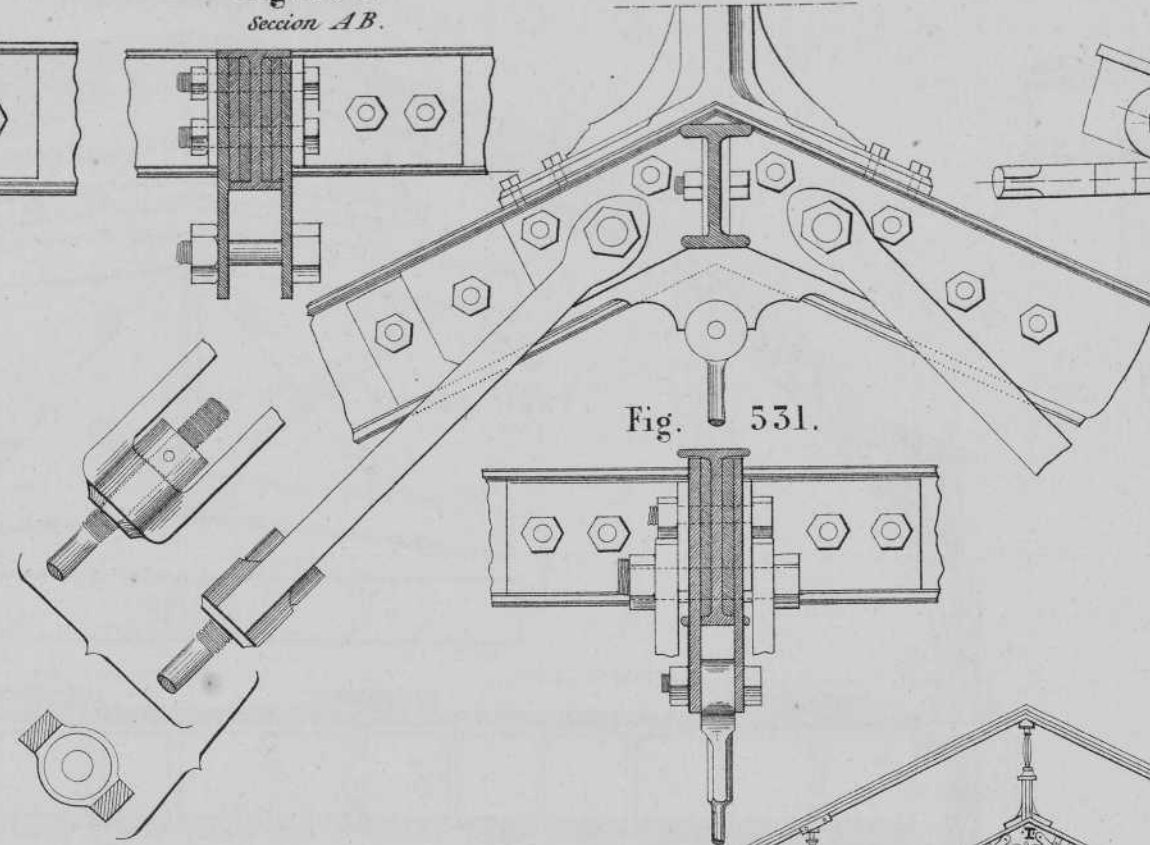


Fig. 530. (8)

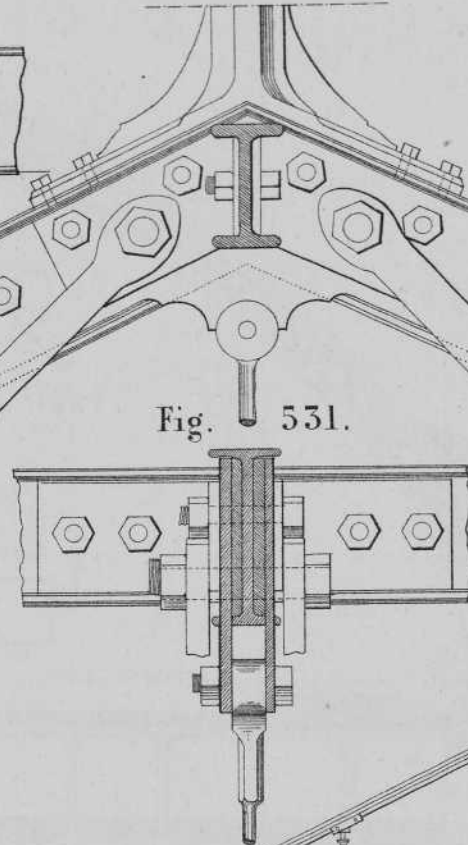


Fig. 531.

Fig. 520.

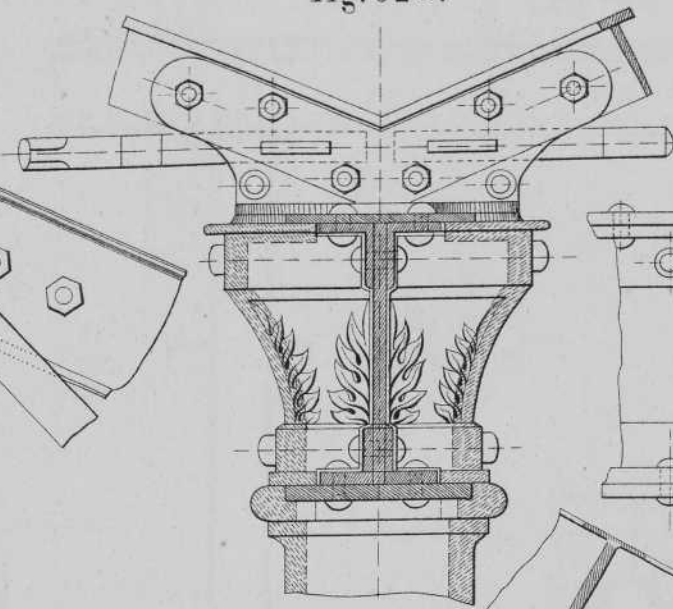


Fig. 518.

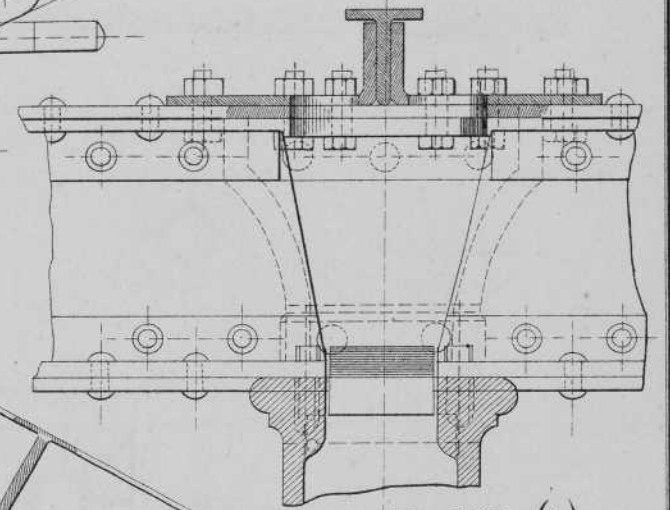


Fig. 527 (81)

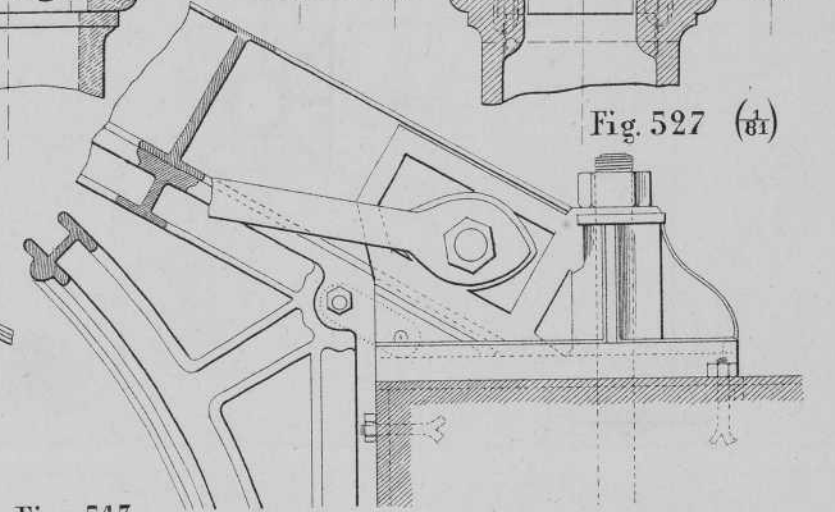


Fig. 535.
Seccion M N.

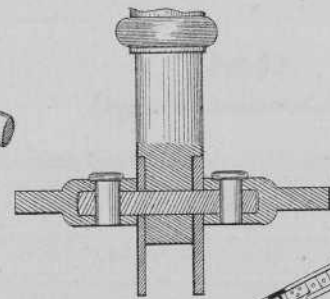


Fig. 519.

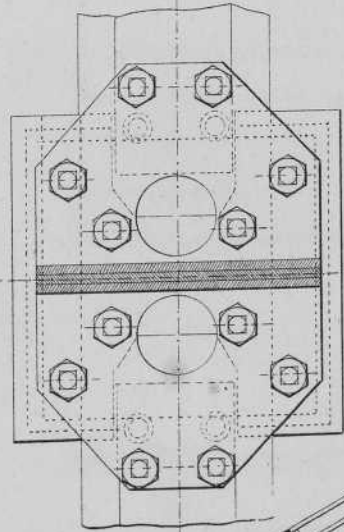


Fig. 529.

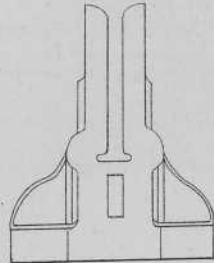


Fig. 526. (87)

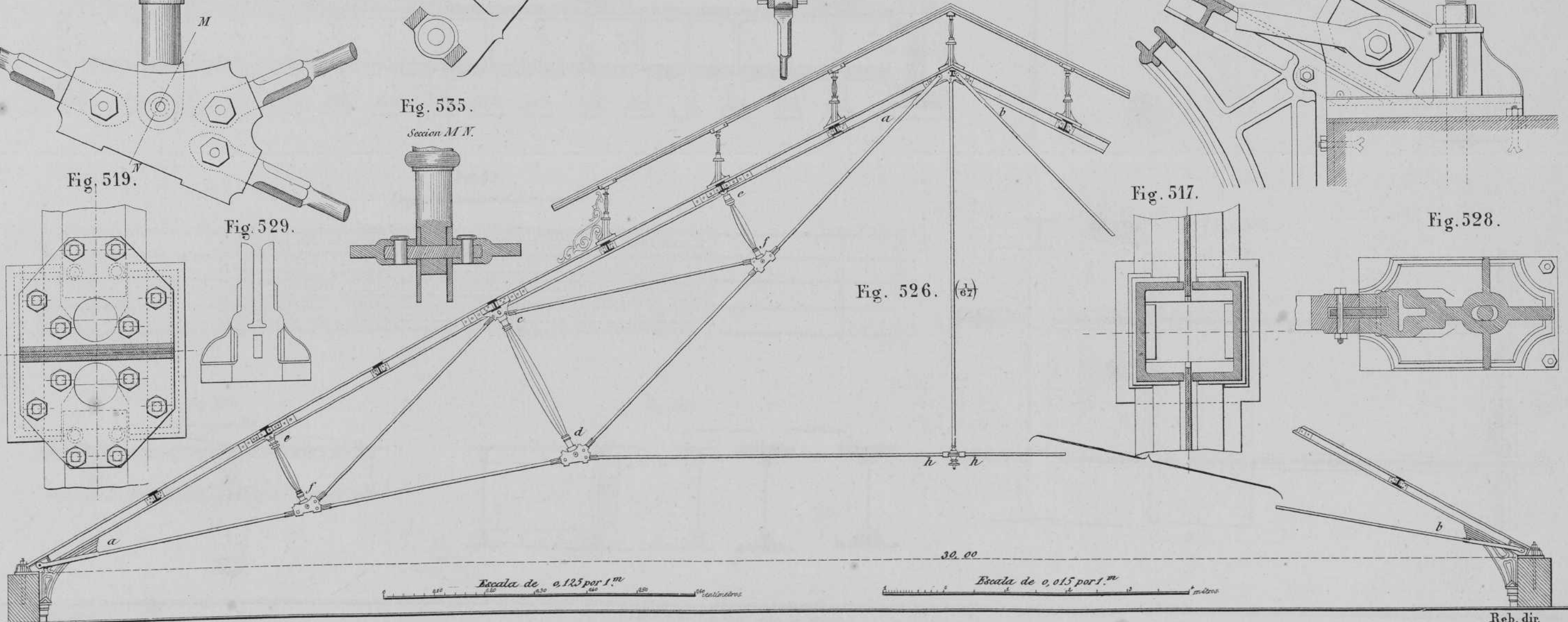


Fig. 517.

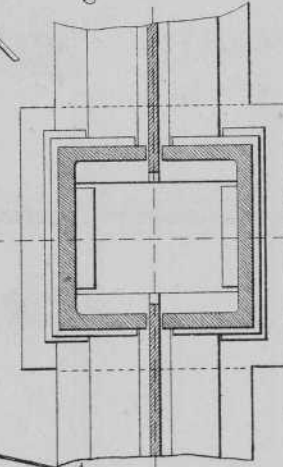


Fig. 528.

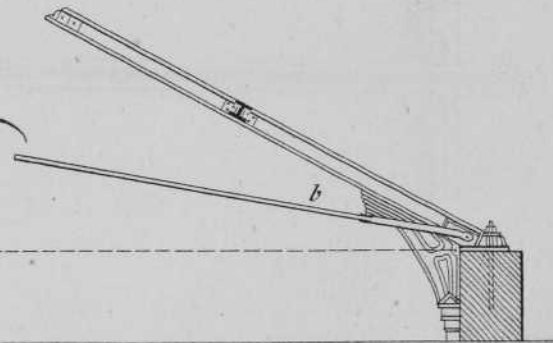
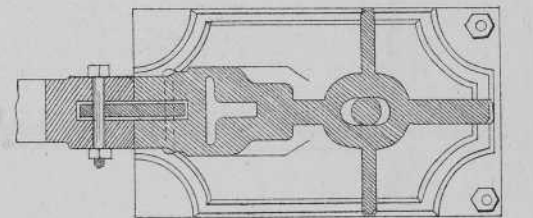


Fig. 536 (303)
Proyección vertical de una cercha.

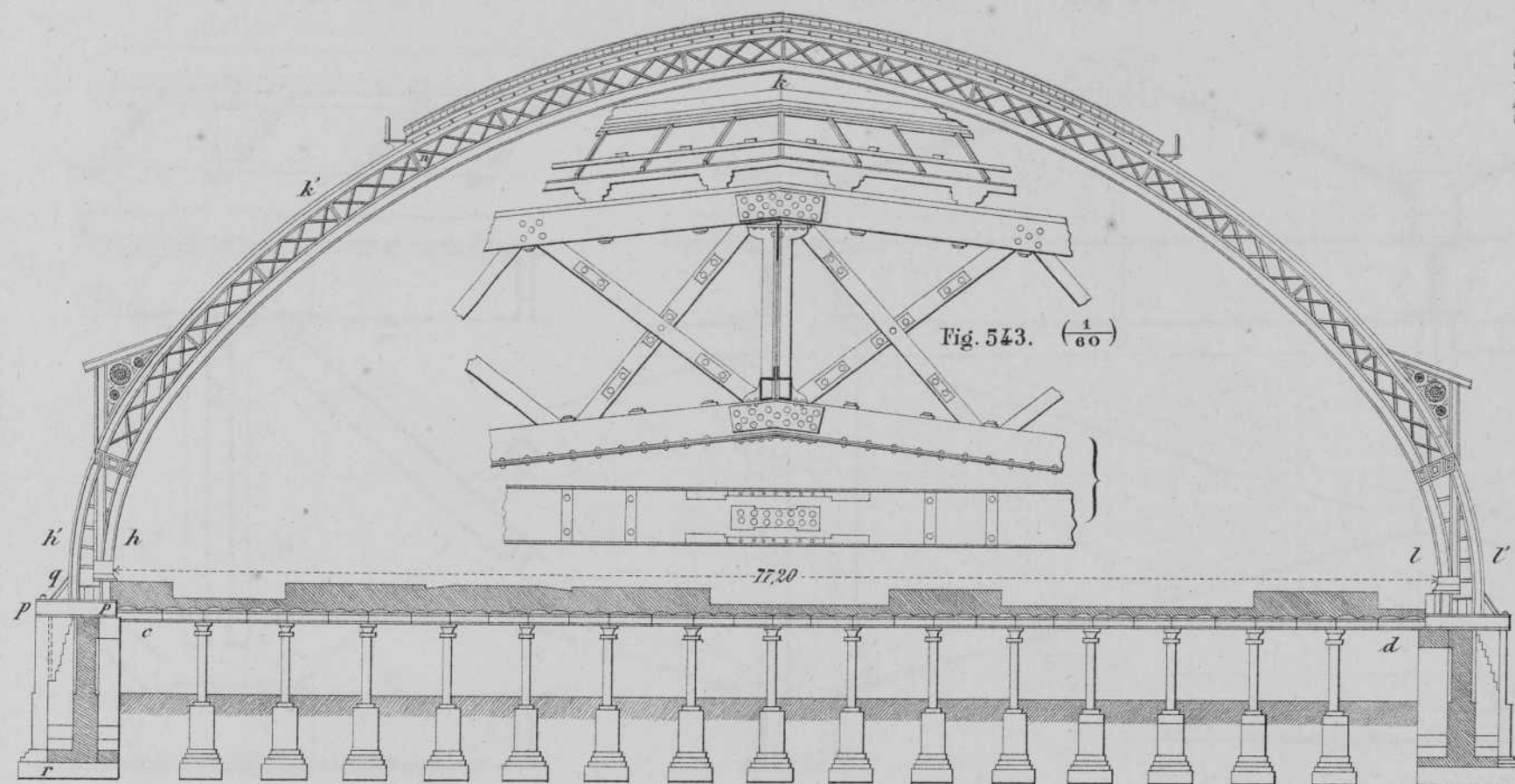


Fig. 543. (1/60)

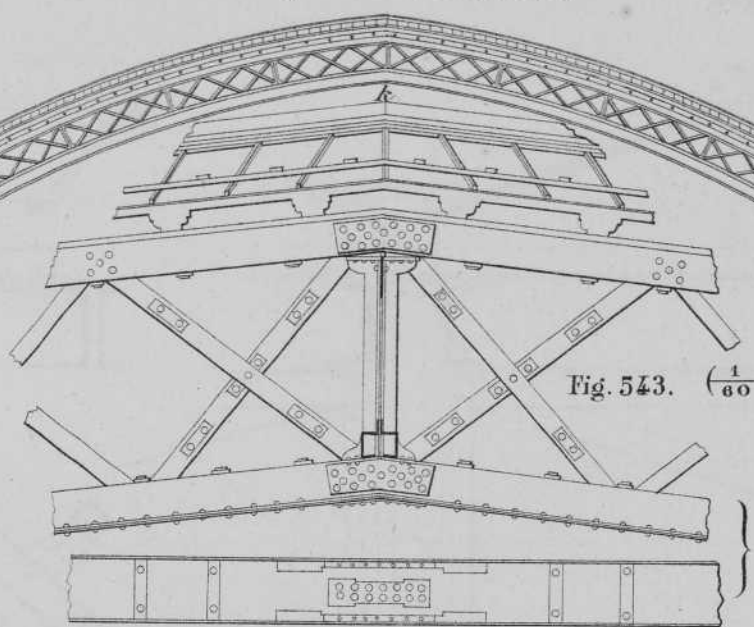


Fig. 540.

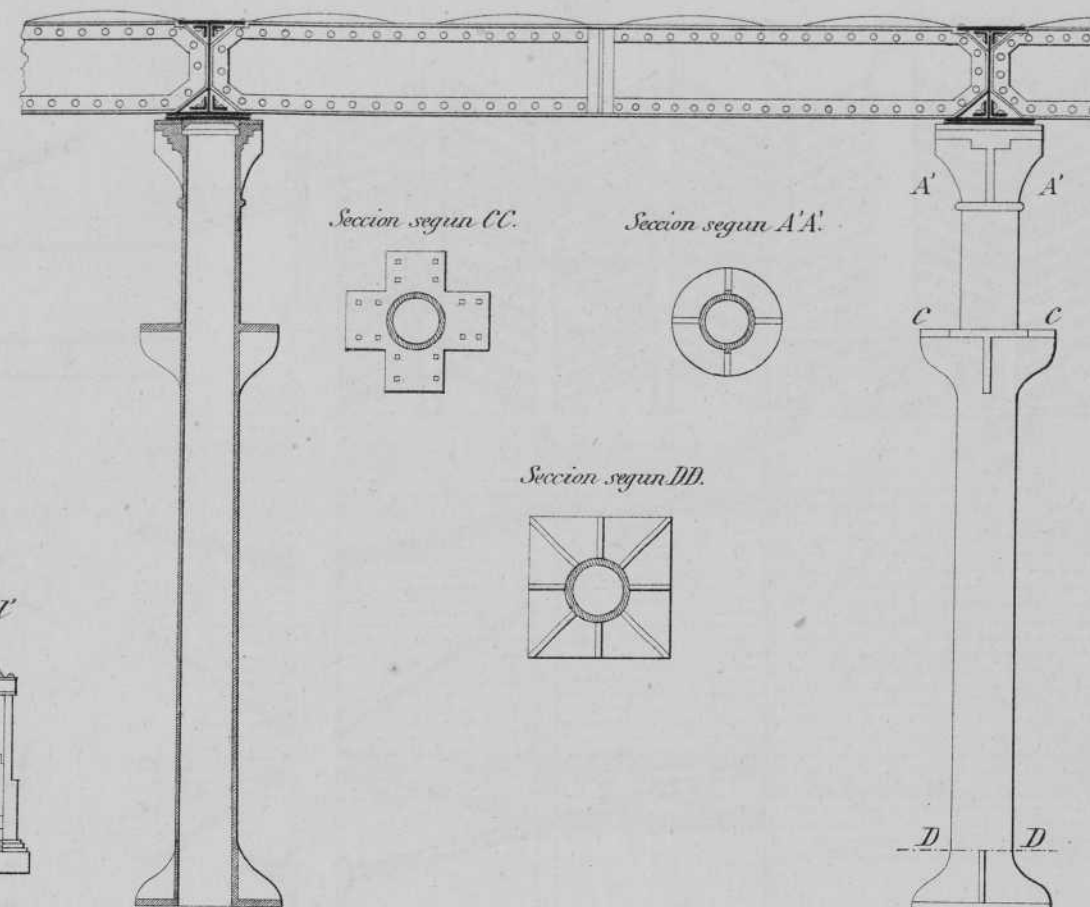


Fig. 537.
Proyección horizontal de las cerchas.

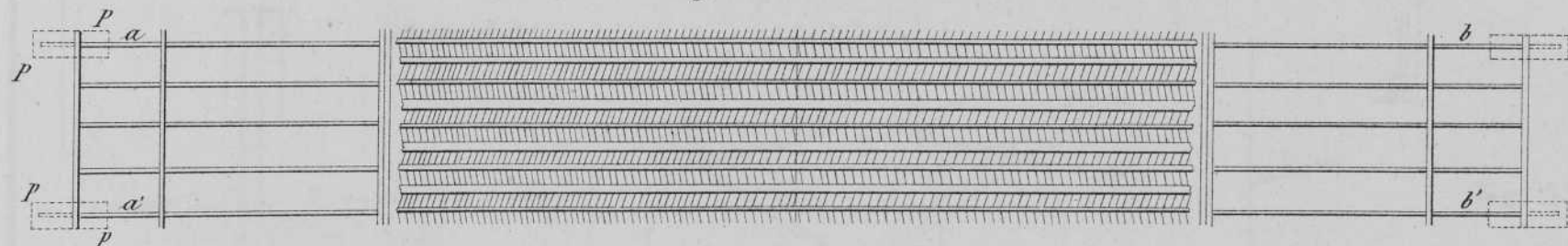


Fig. 539.
Sección según BB.

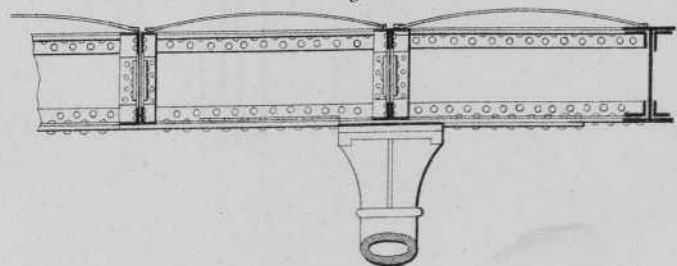


Fig. 541.

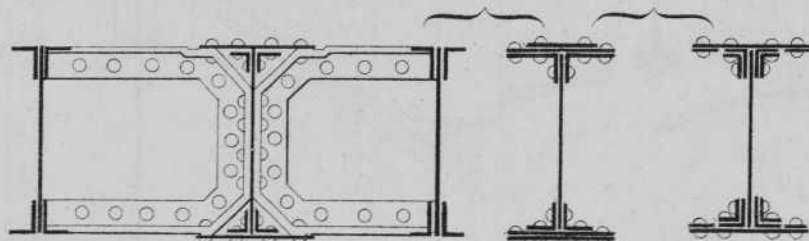


Fig. 538.

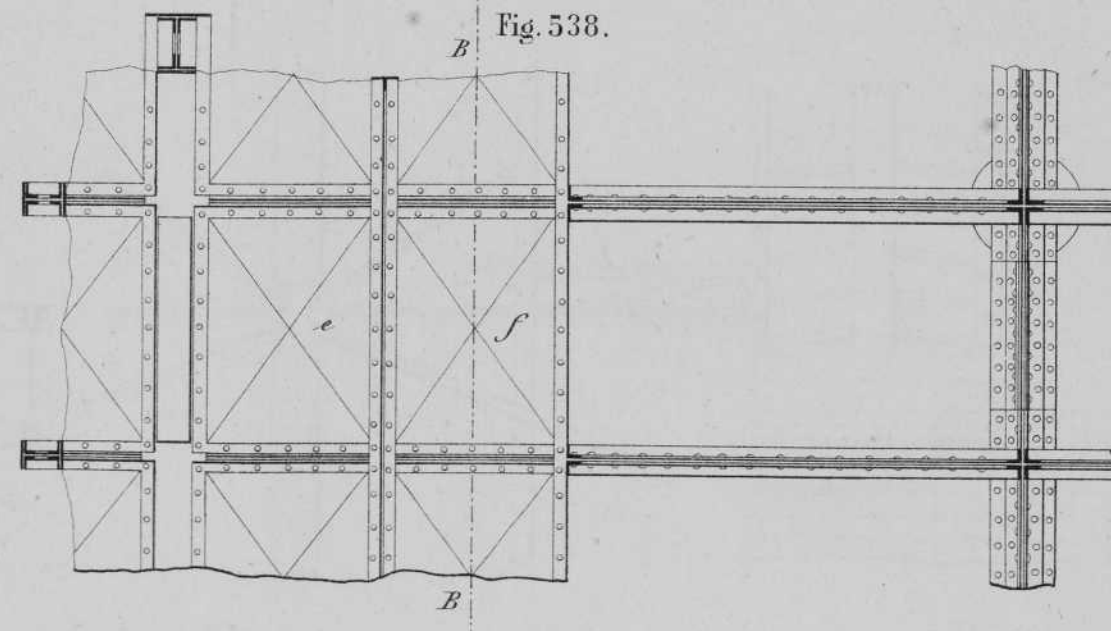


Fig. 542.

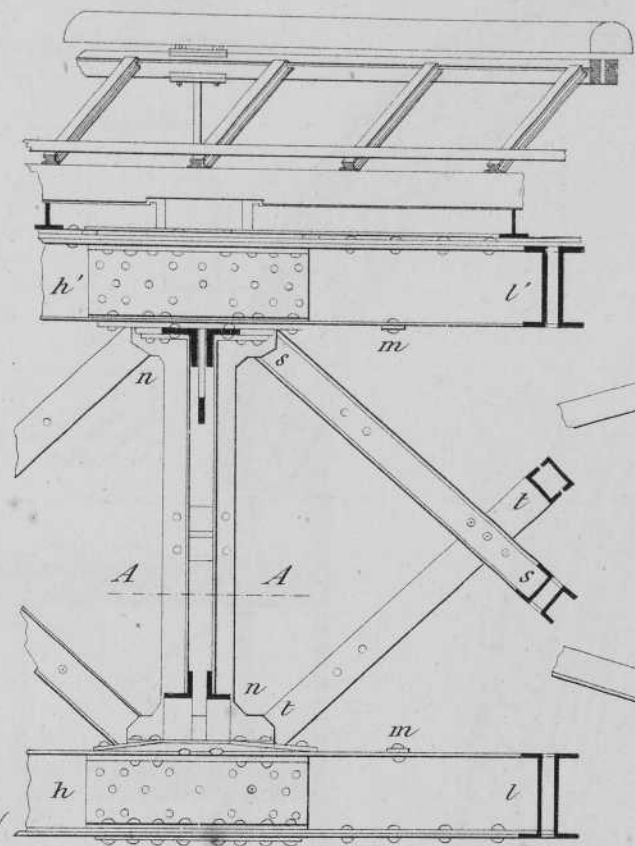


Fig. 544.

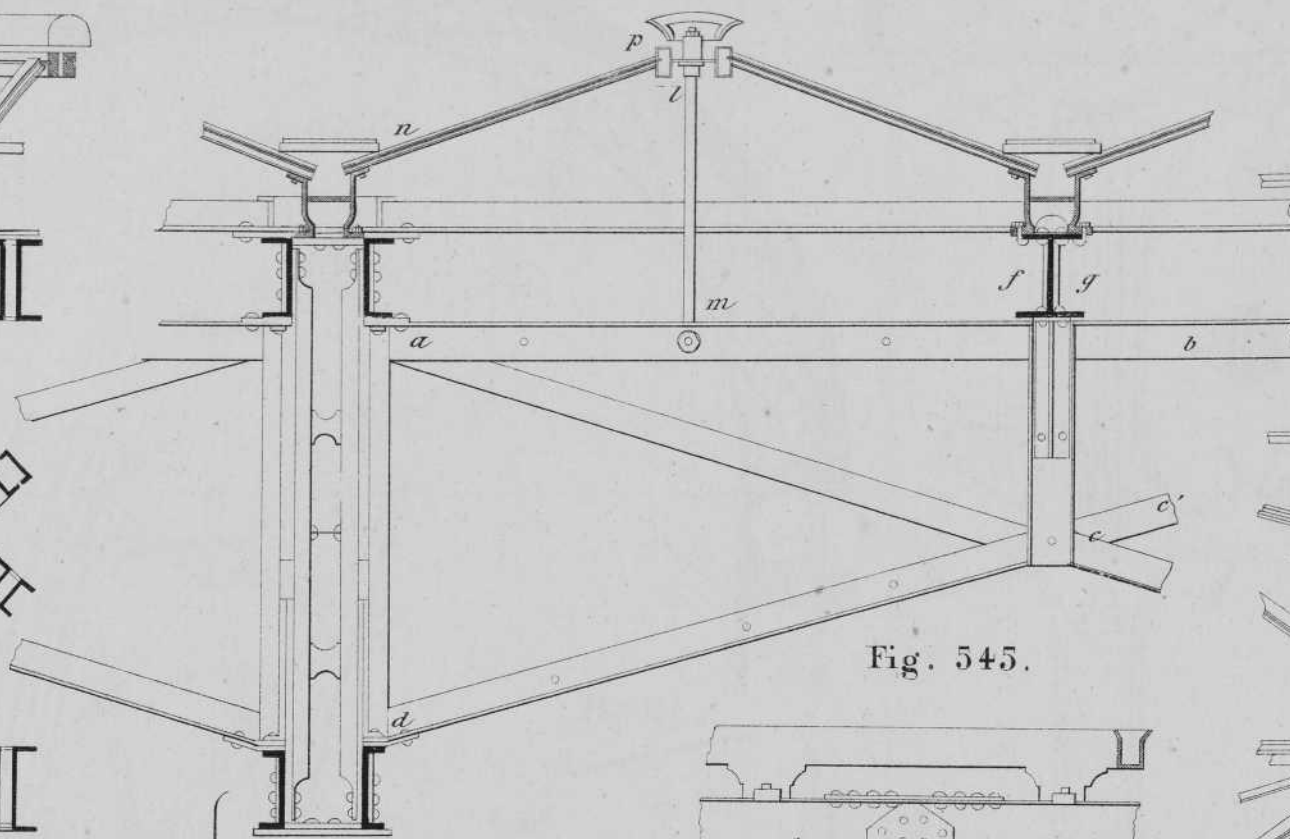


Fig. 546.

Seccion por el eje de la cubierta.

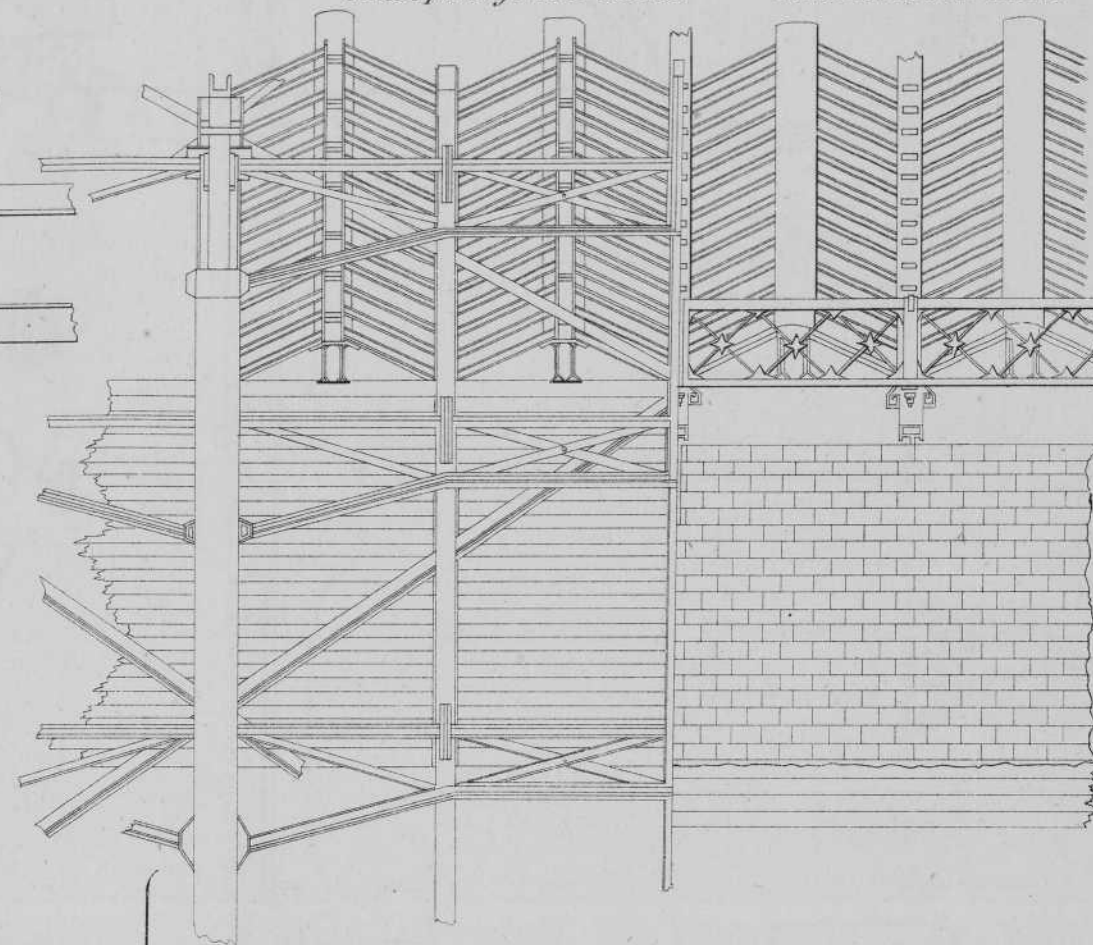


Fig. 547.

Seccion lateral de la cubierta.

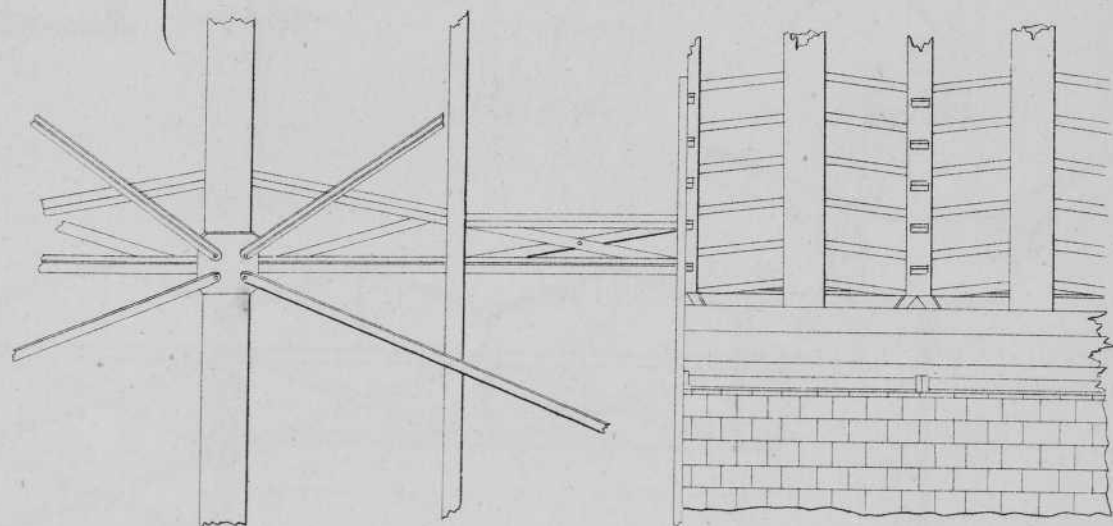


Fig. 545.

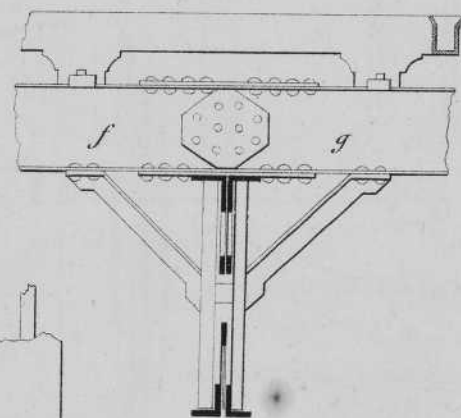
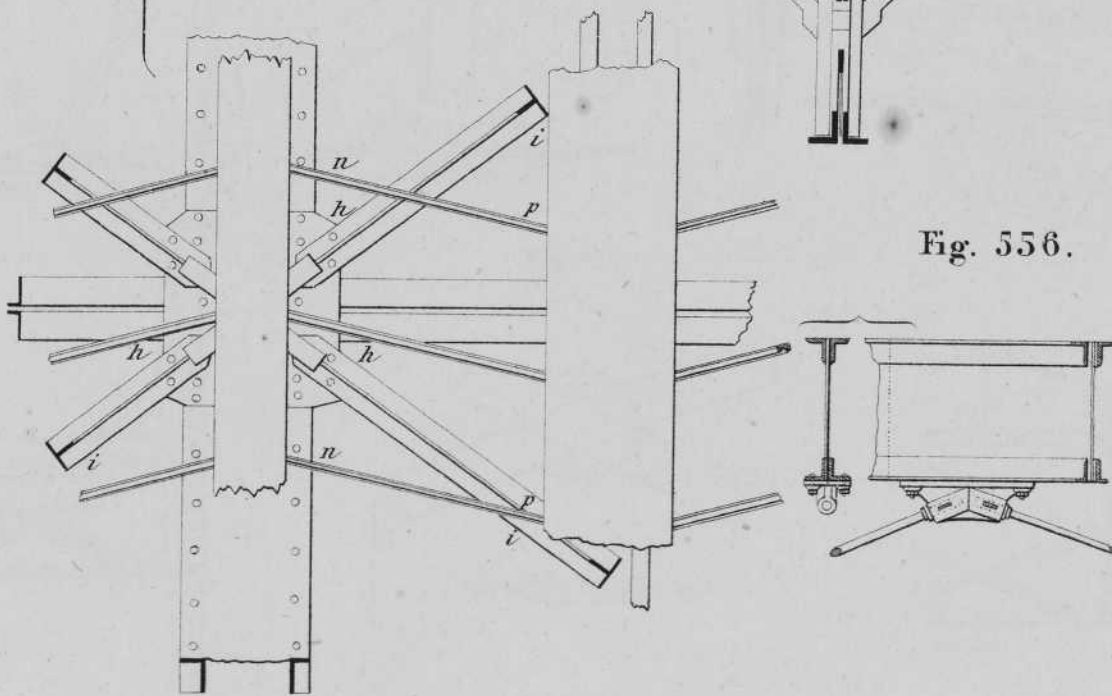
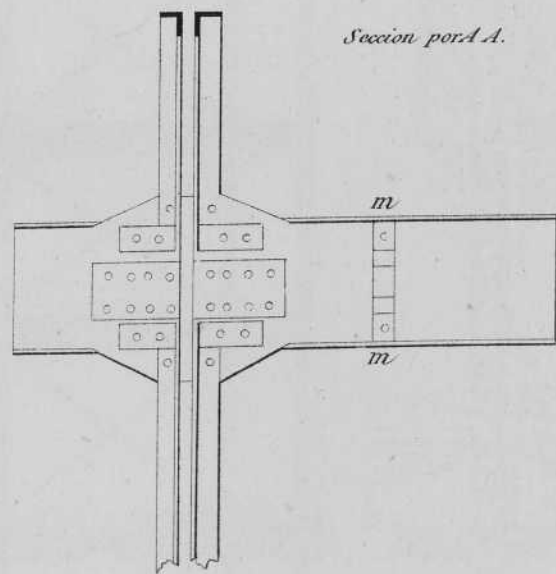


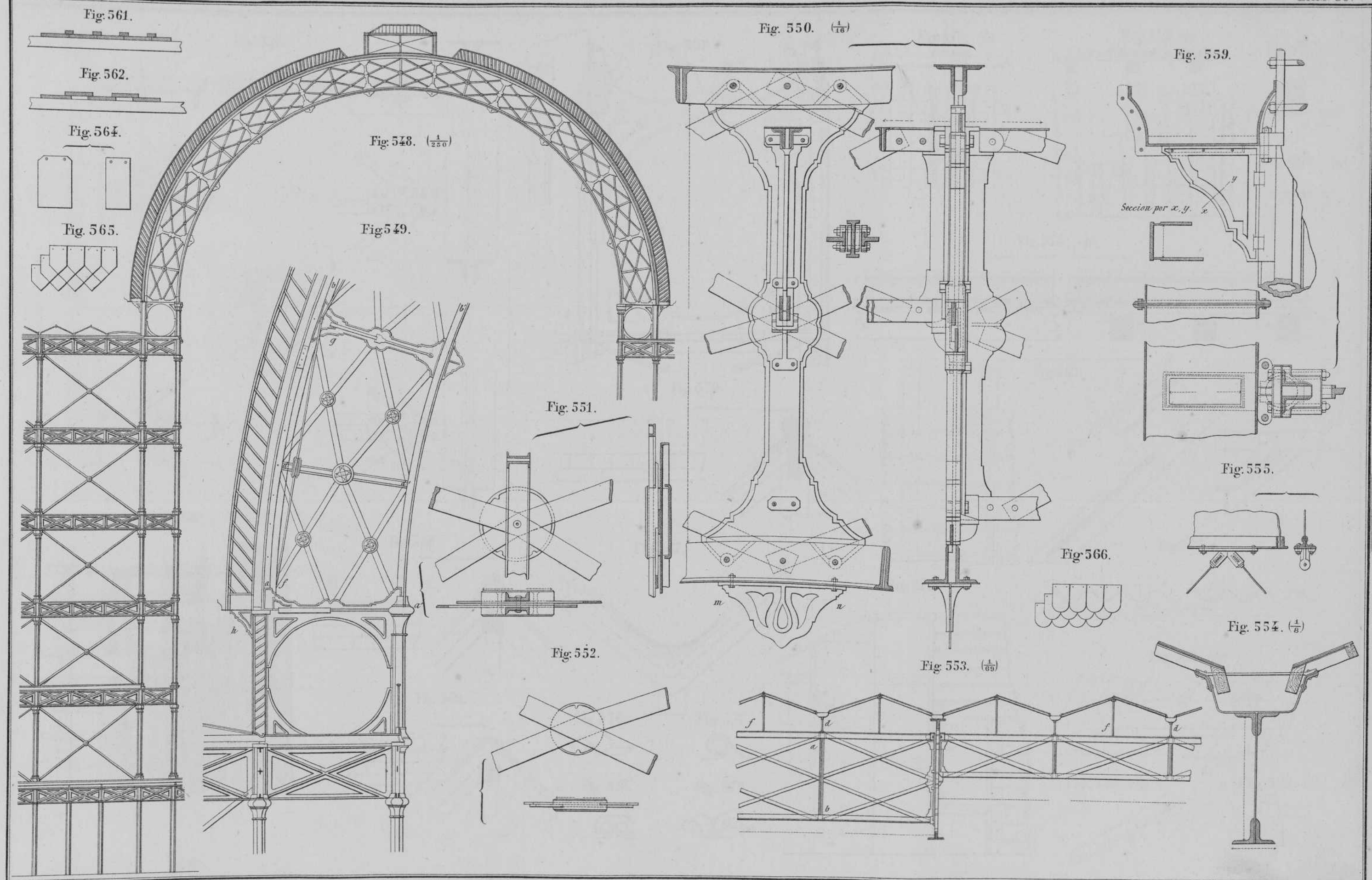
Fig. 556.



Seccion por A.A.







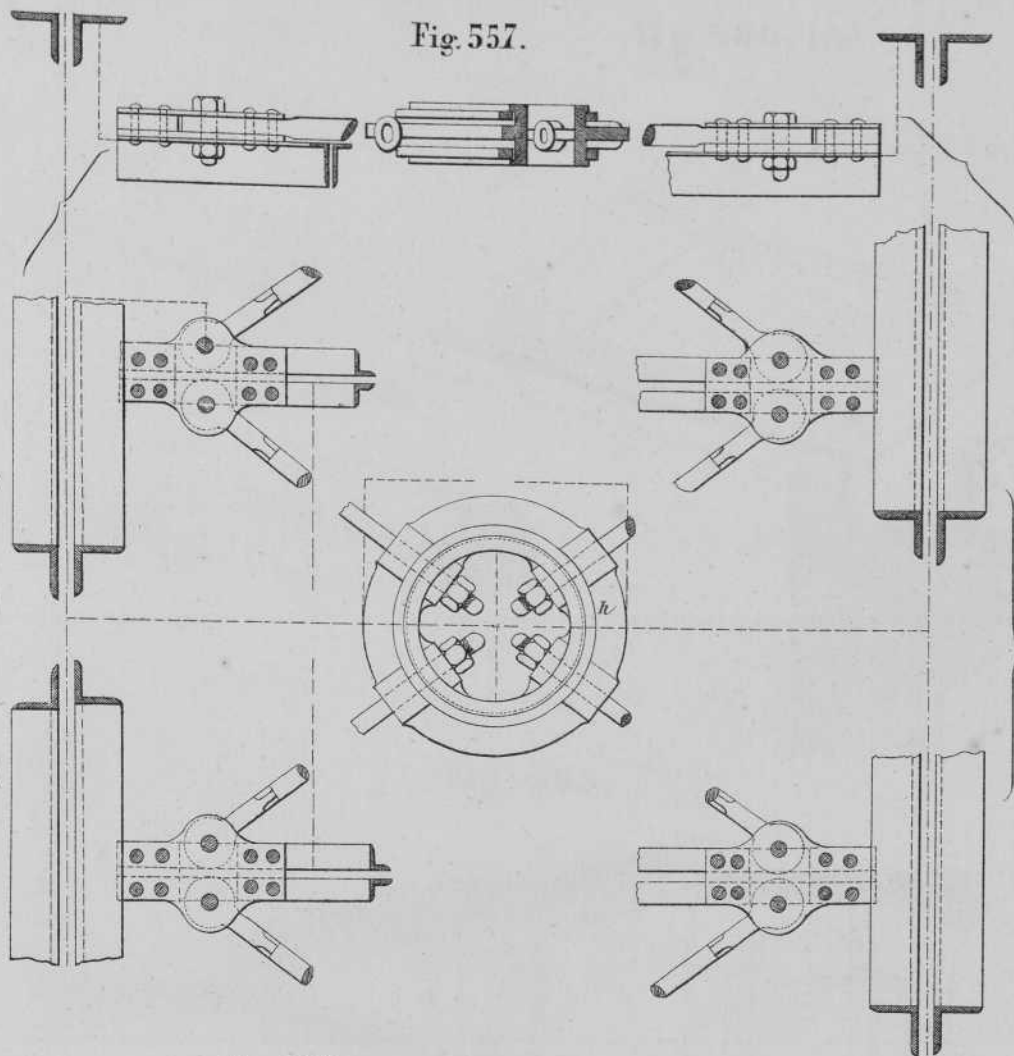


Fig. 557.

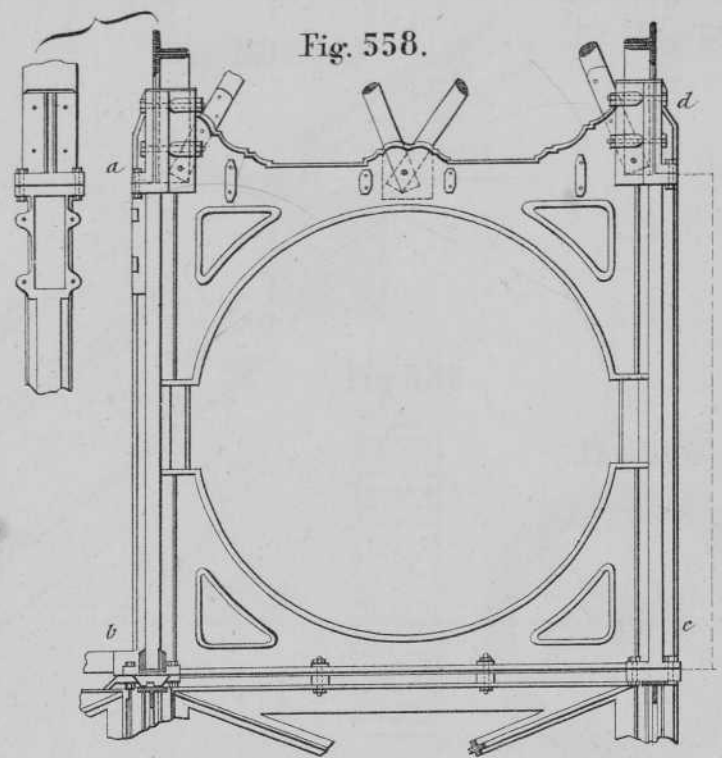


Fig. 558.

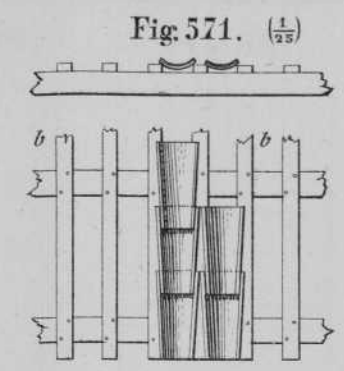


Fig. 571. (1/25)

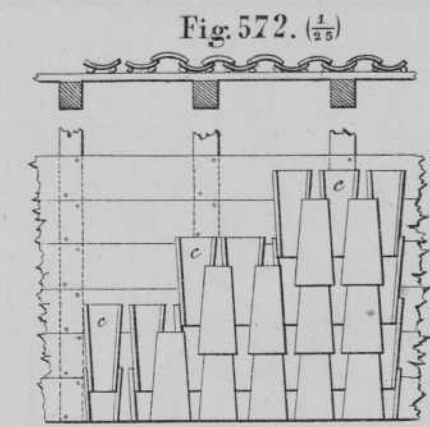


Fig. 572. (1/25)

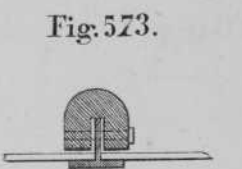


Fig. 573.

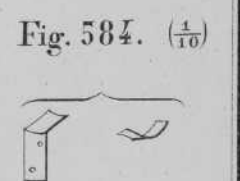


Fig. 584. (1/10)

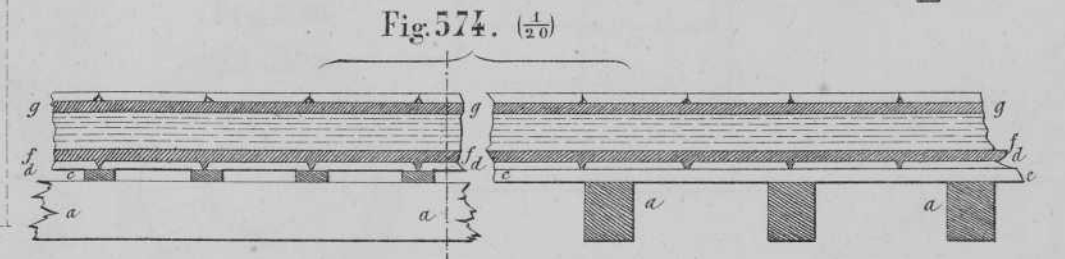


Fig. 574. (1/20)

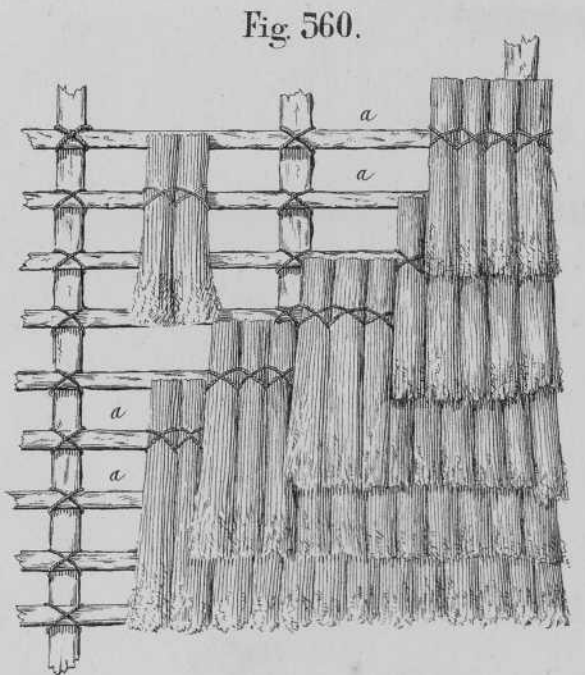


Fig. 560.

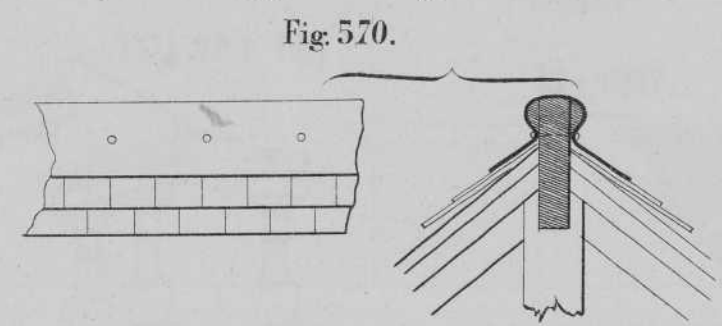


Fig. 570.

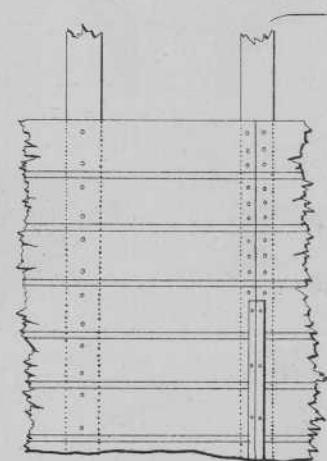


Fig. 563.

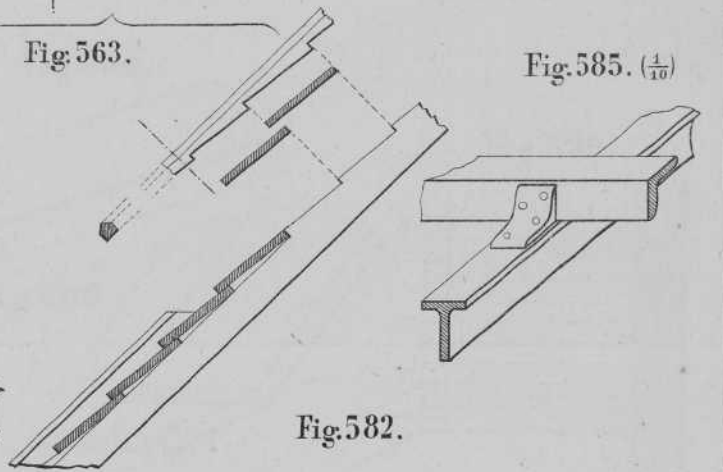


Fig. 585. (1/10)

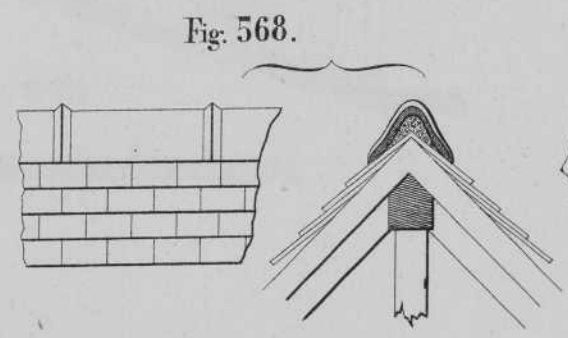


Fig. 568.

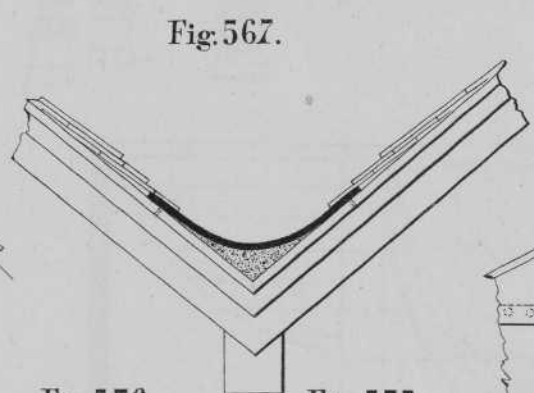


Fig. 567.

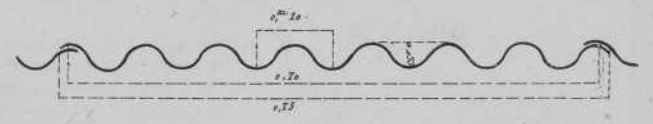


Fig. 582.

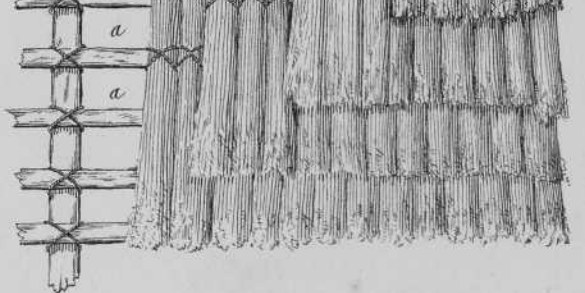


Fig. 569.

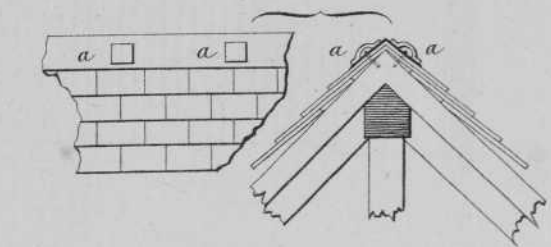


Fig. 576.

Fig. 578.

Fig. 577.

Fig. 579.

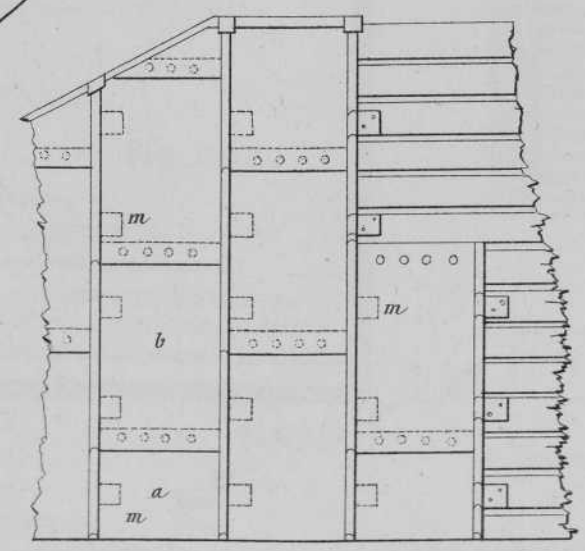


Fig. 575.

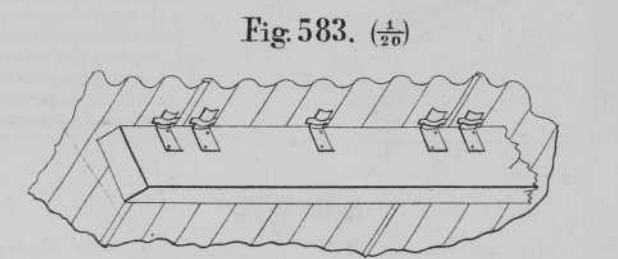


Fig. 583. (1/20)

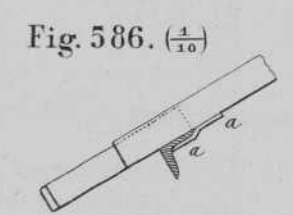
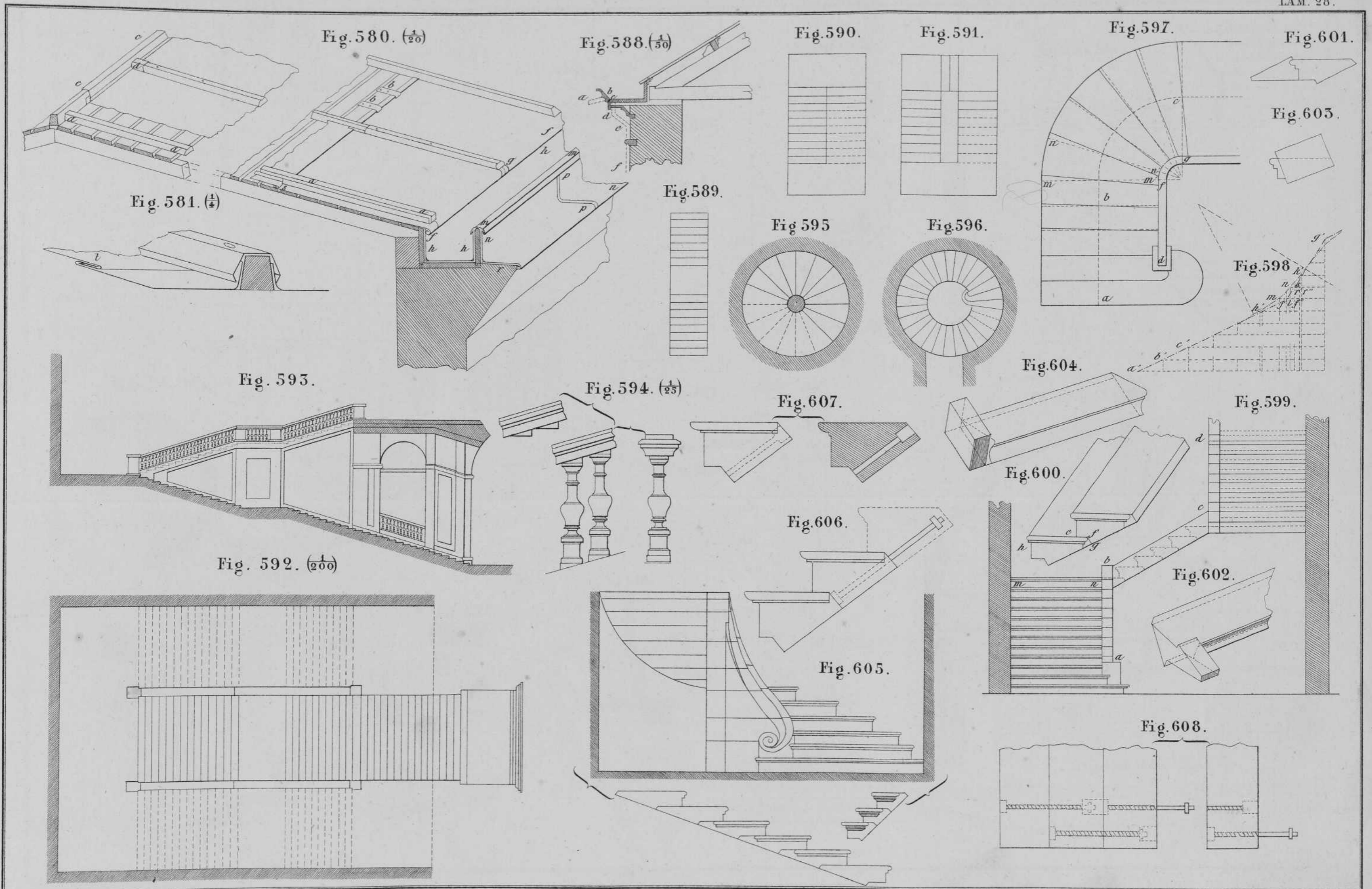
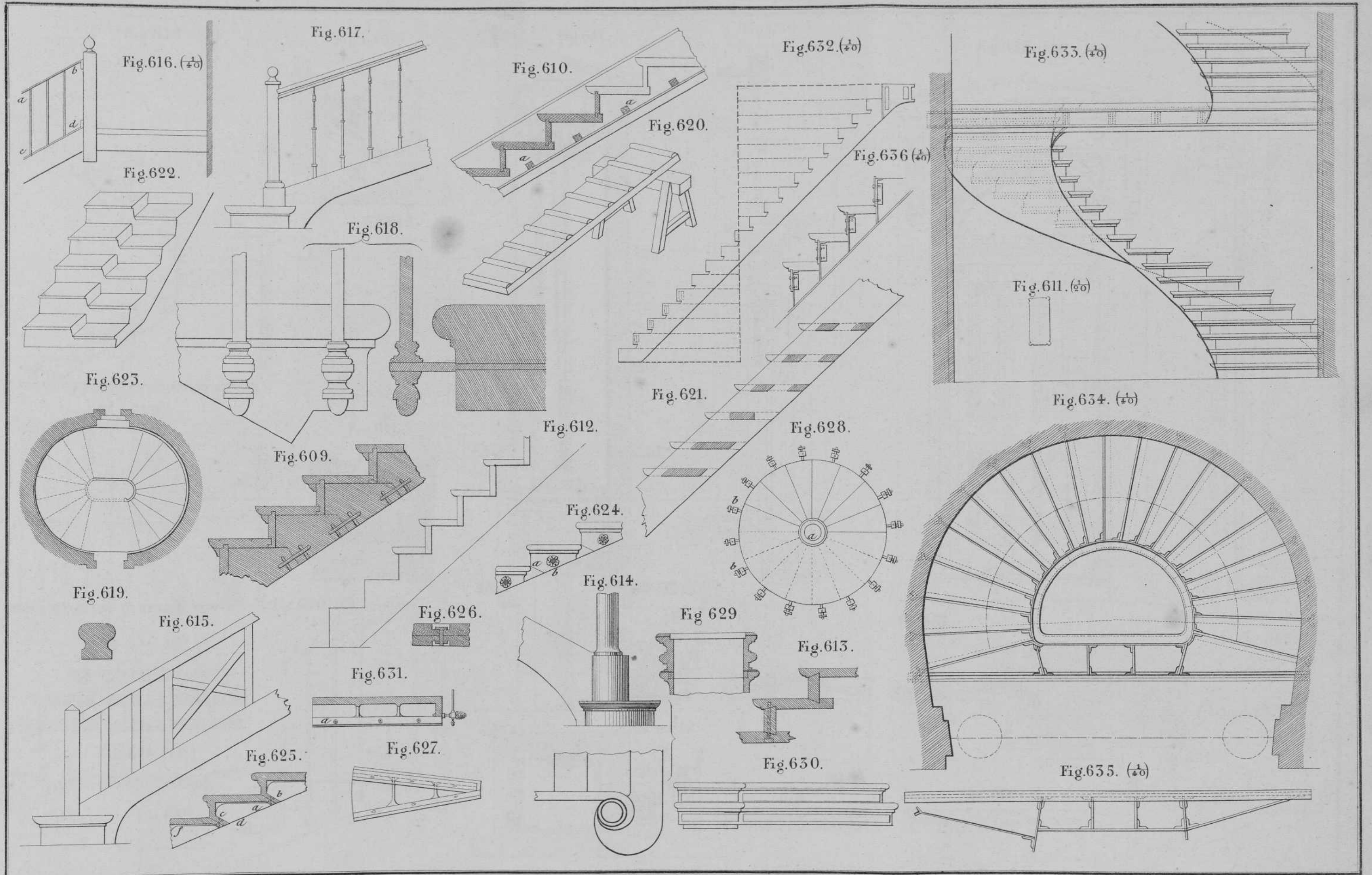


Fig. 586. (1/10)

Fig. 587. (1/10)





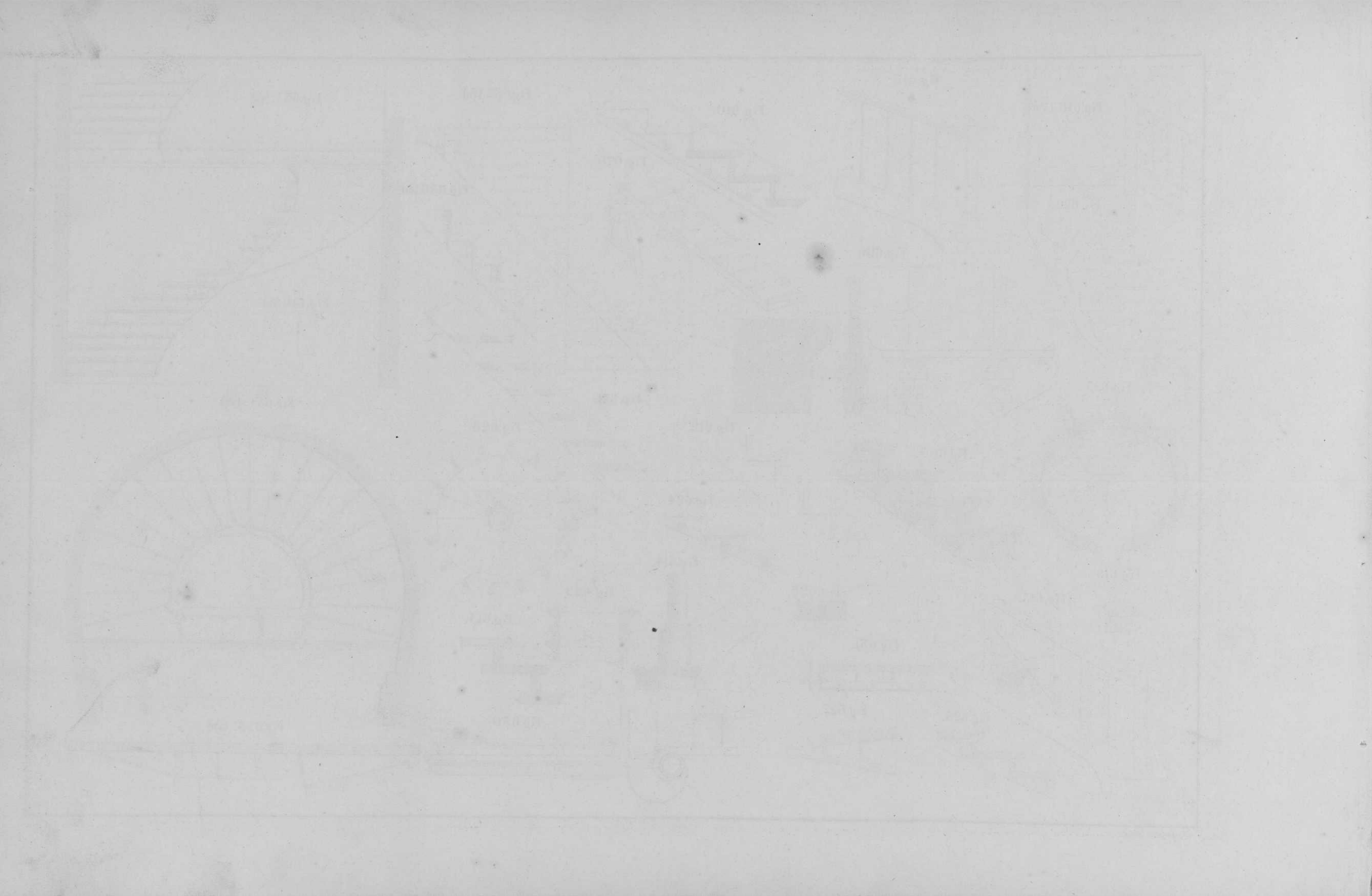


Fig.638. ($\frac{1}{40}$)

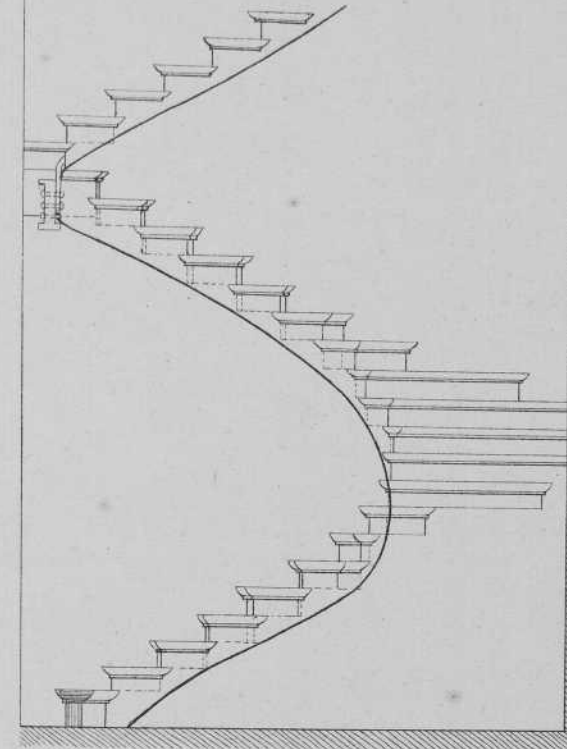


Fig.643.

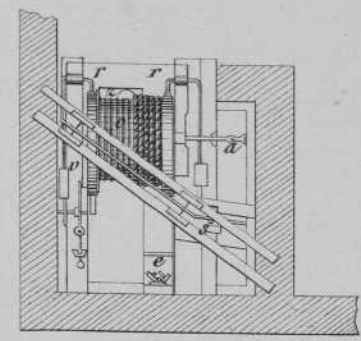


Fig.641.

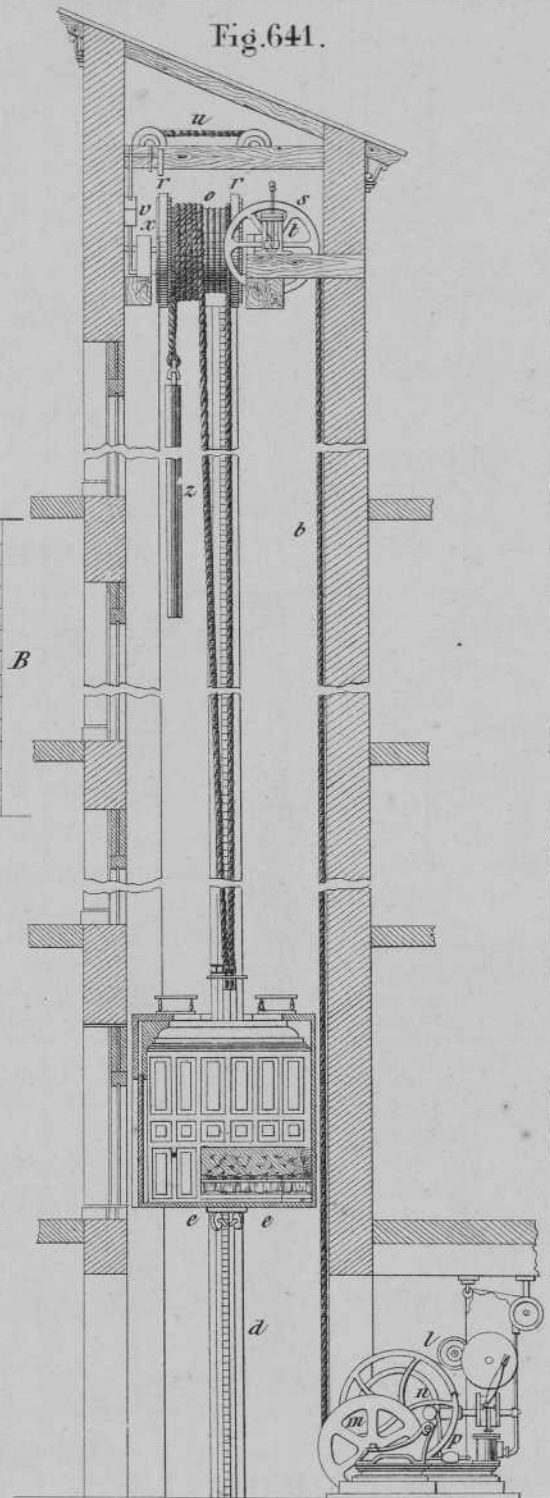


Fig.658.

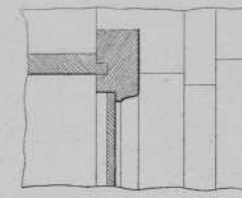


Fig.655. ($\frac{1}{24}$)

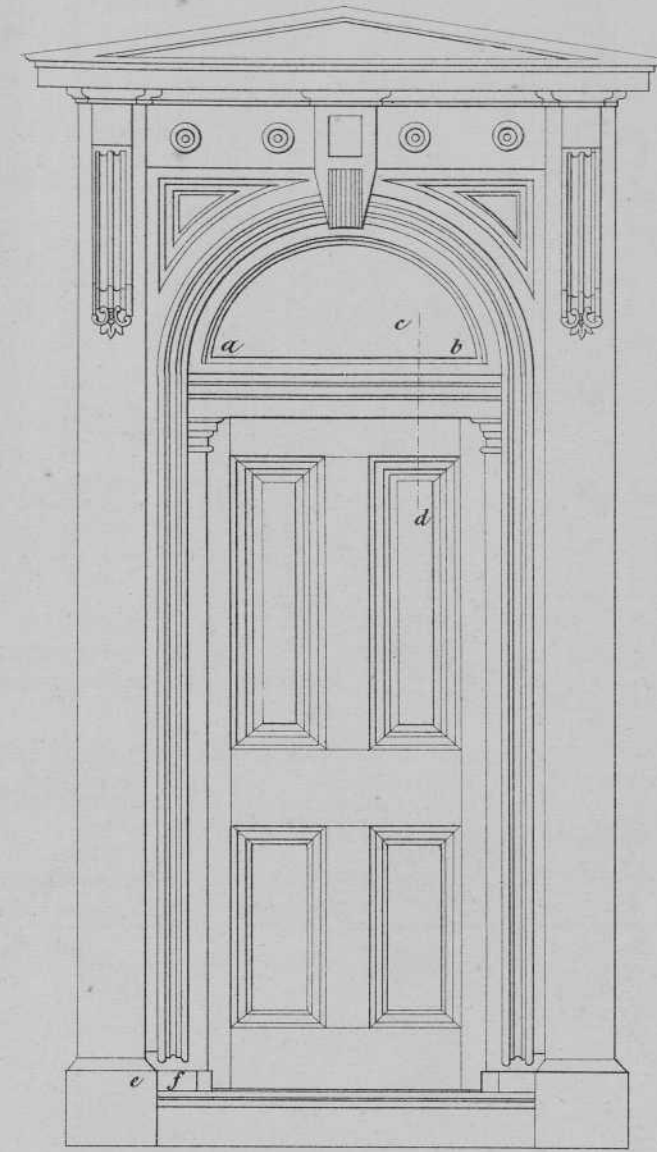


Fig.656.

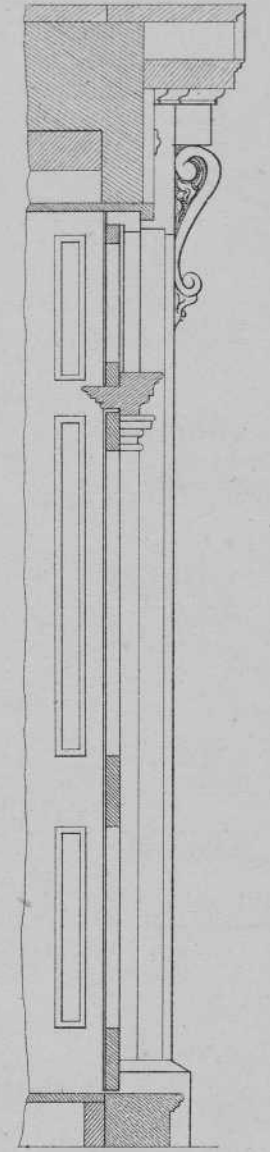


Fig.659.

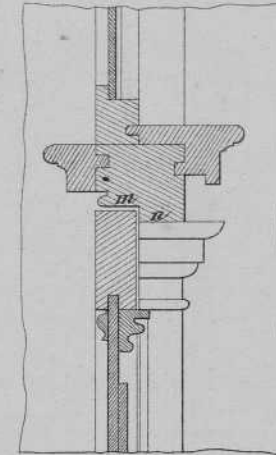


Fig.660.

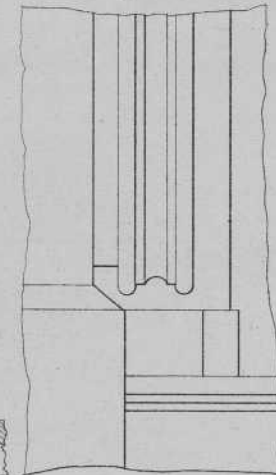


Fig.645.

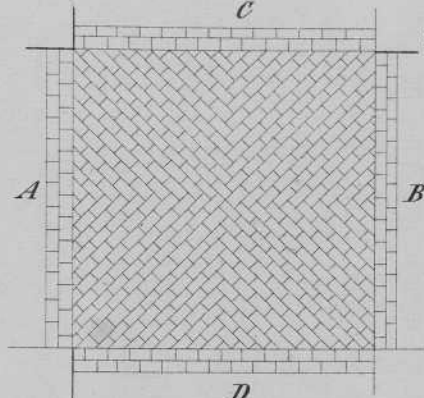


Fig.646.

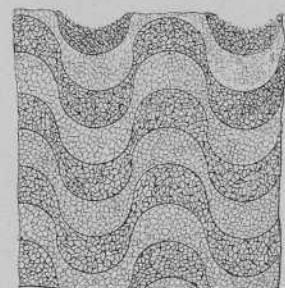


Fig.659.

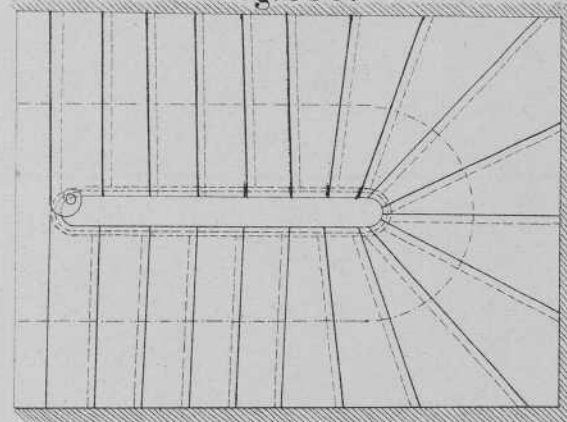


Fig.640. ($\frac{1}{20}$)

Fig.637. ($\frac{1}{20}$)

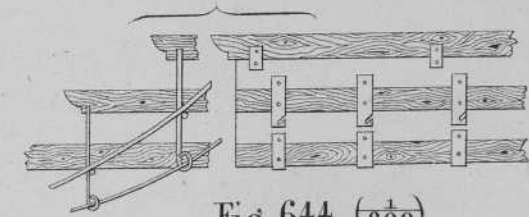


Fig.644 ($\frac{1}{200}$)

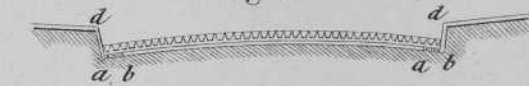


Fig.647.

Fig.648.

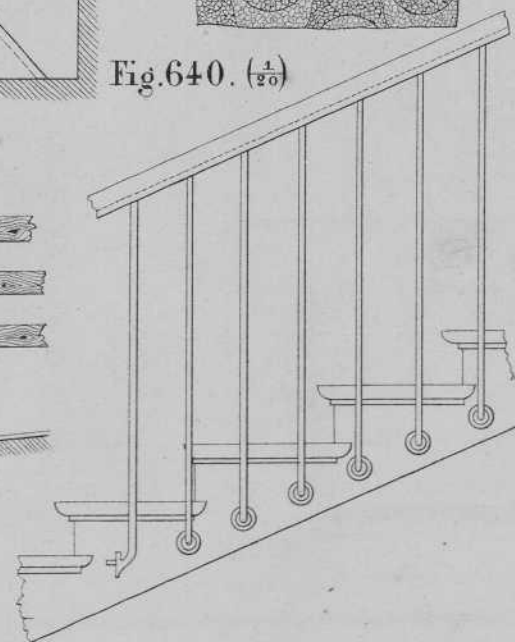
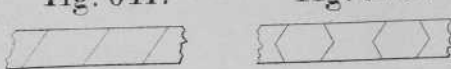


Fig.642.

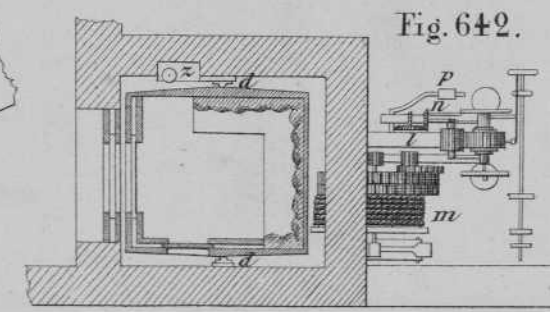


Fig.649.

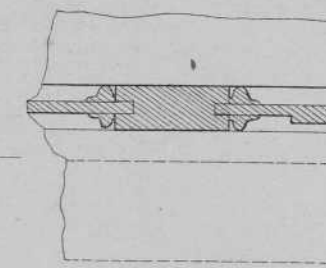
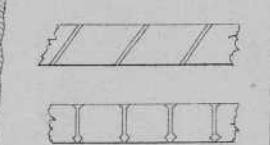


Fig.665.

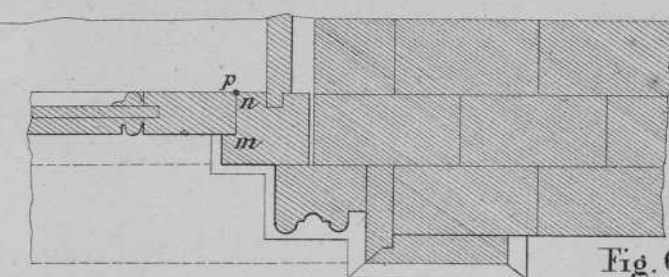
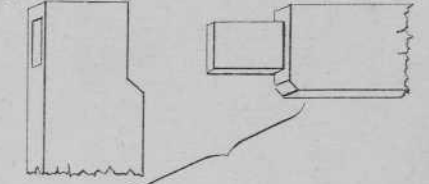
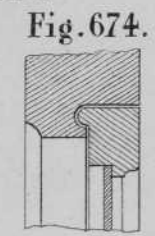
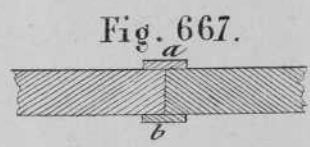
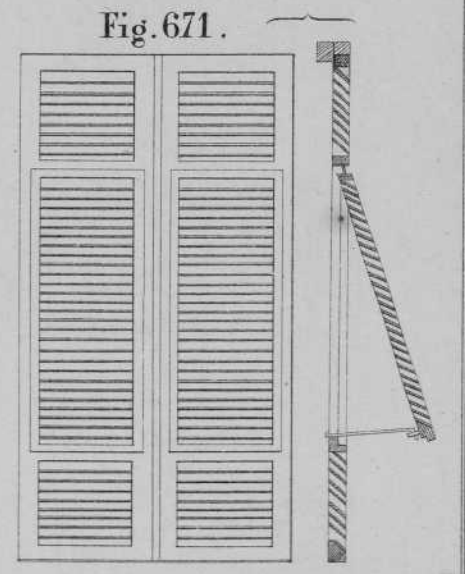
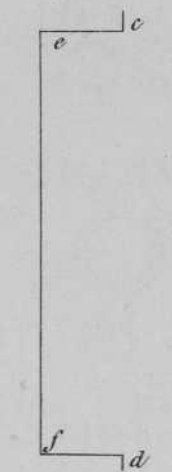
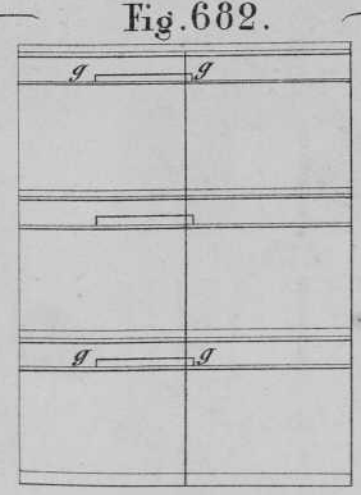
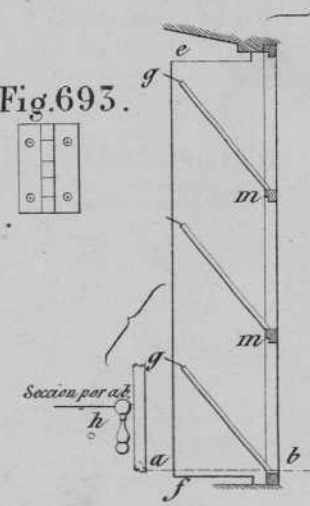
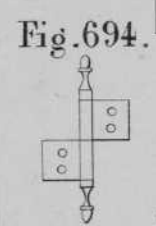
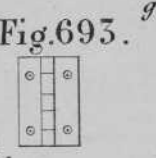
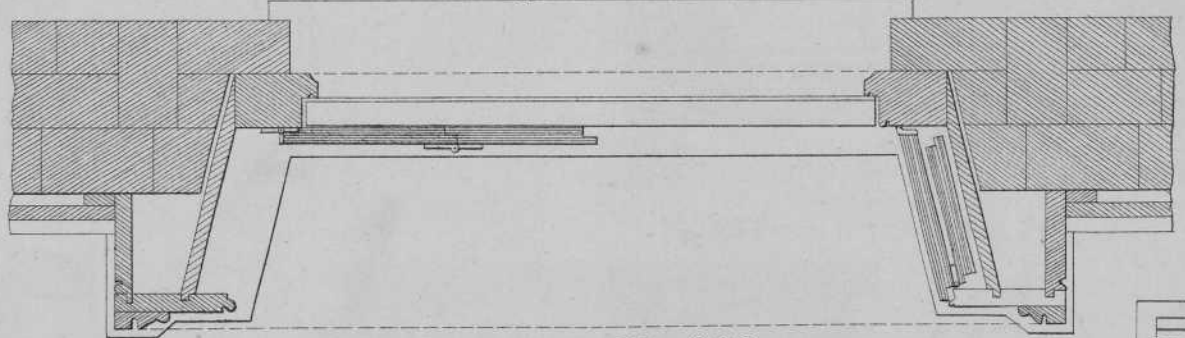
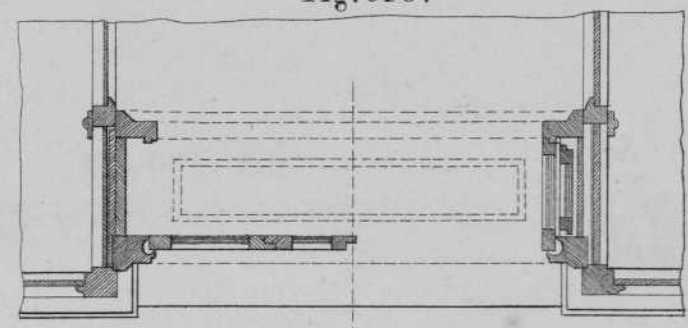
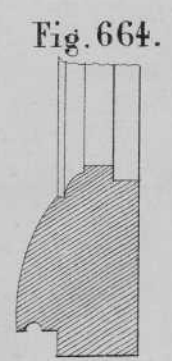
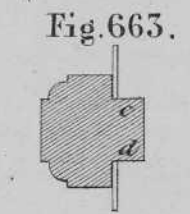
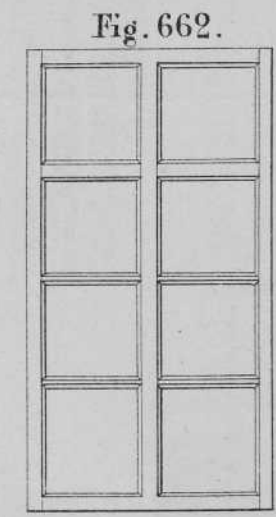
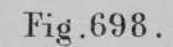
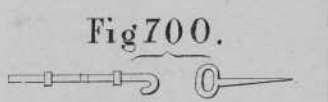
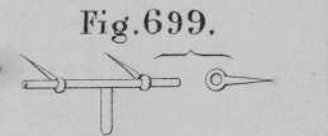
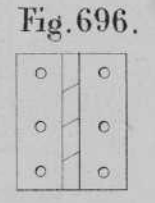
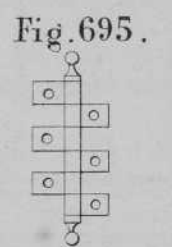
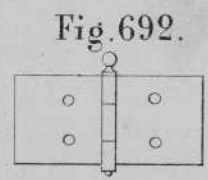
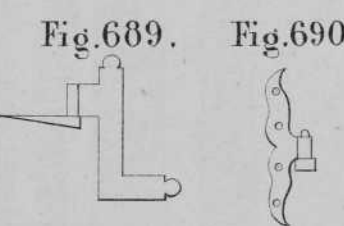
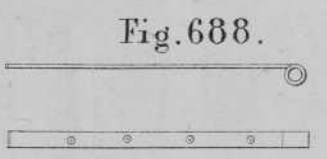
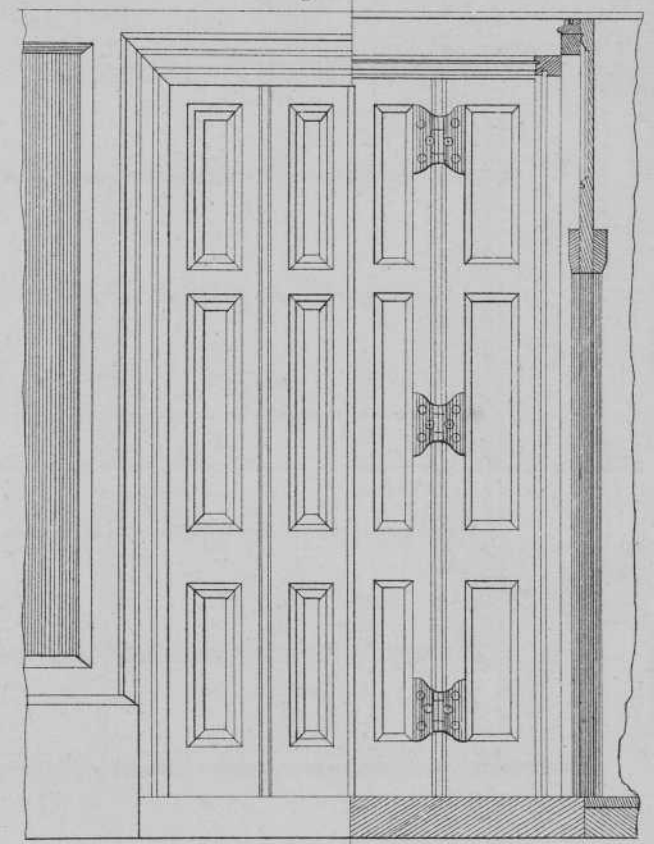
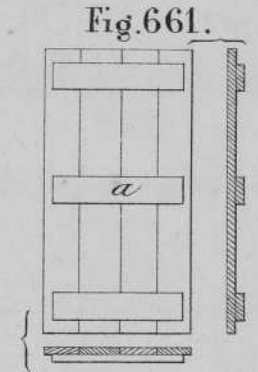
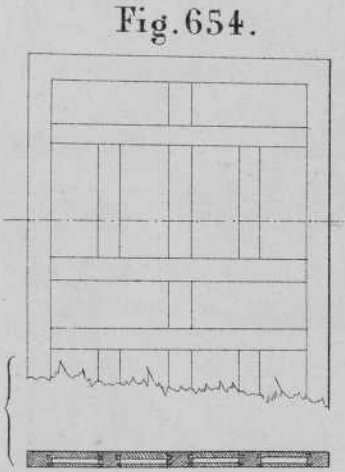
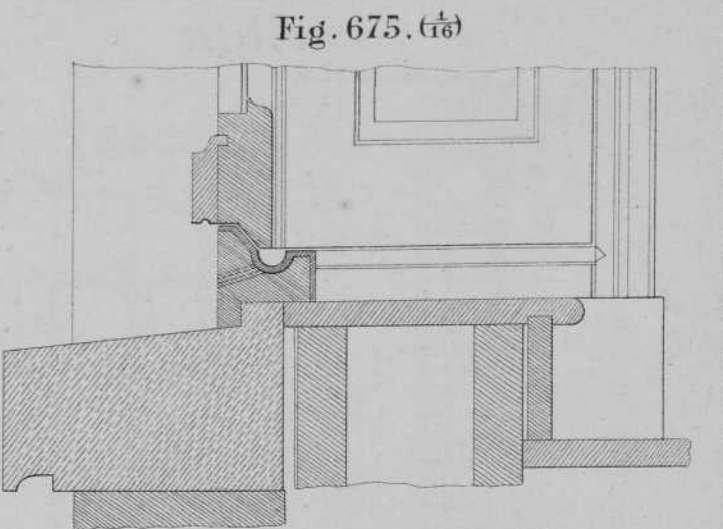
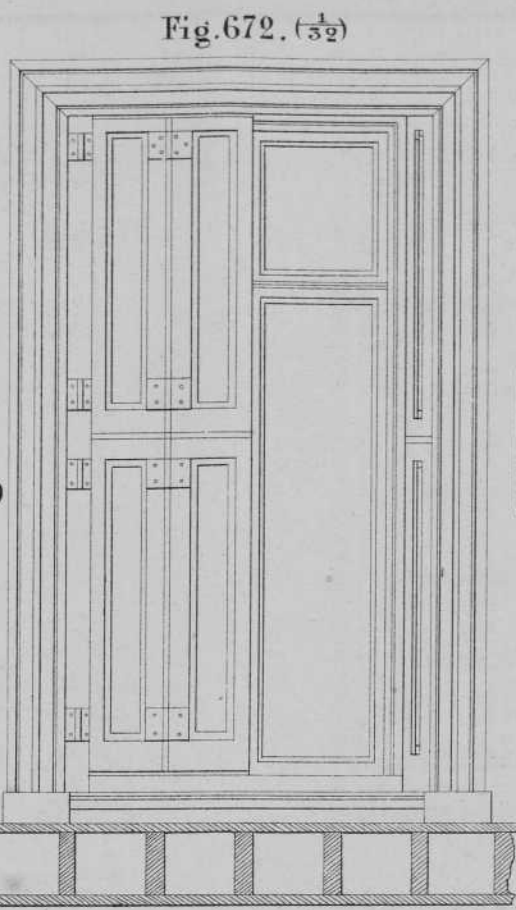
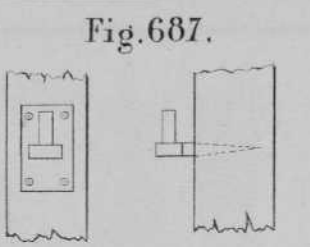
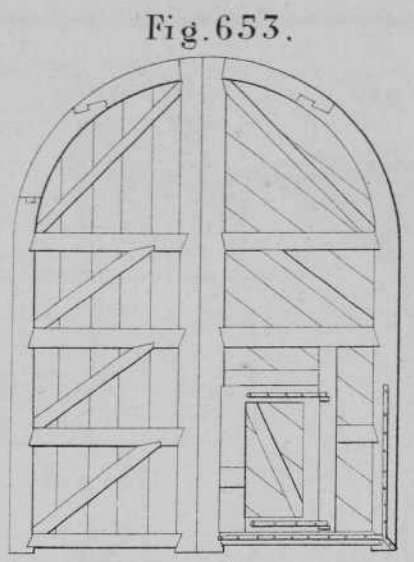
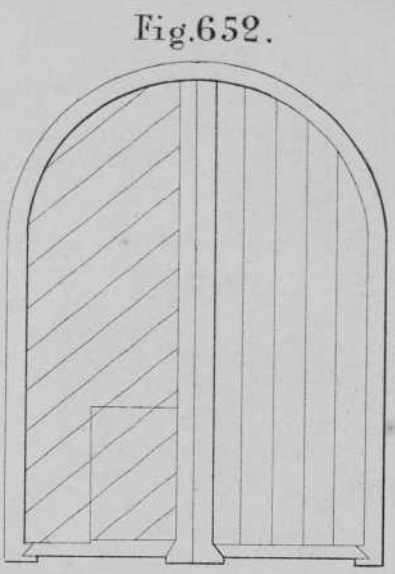
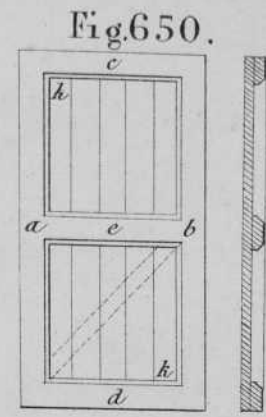


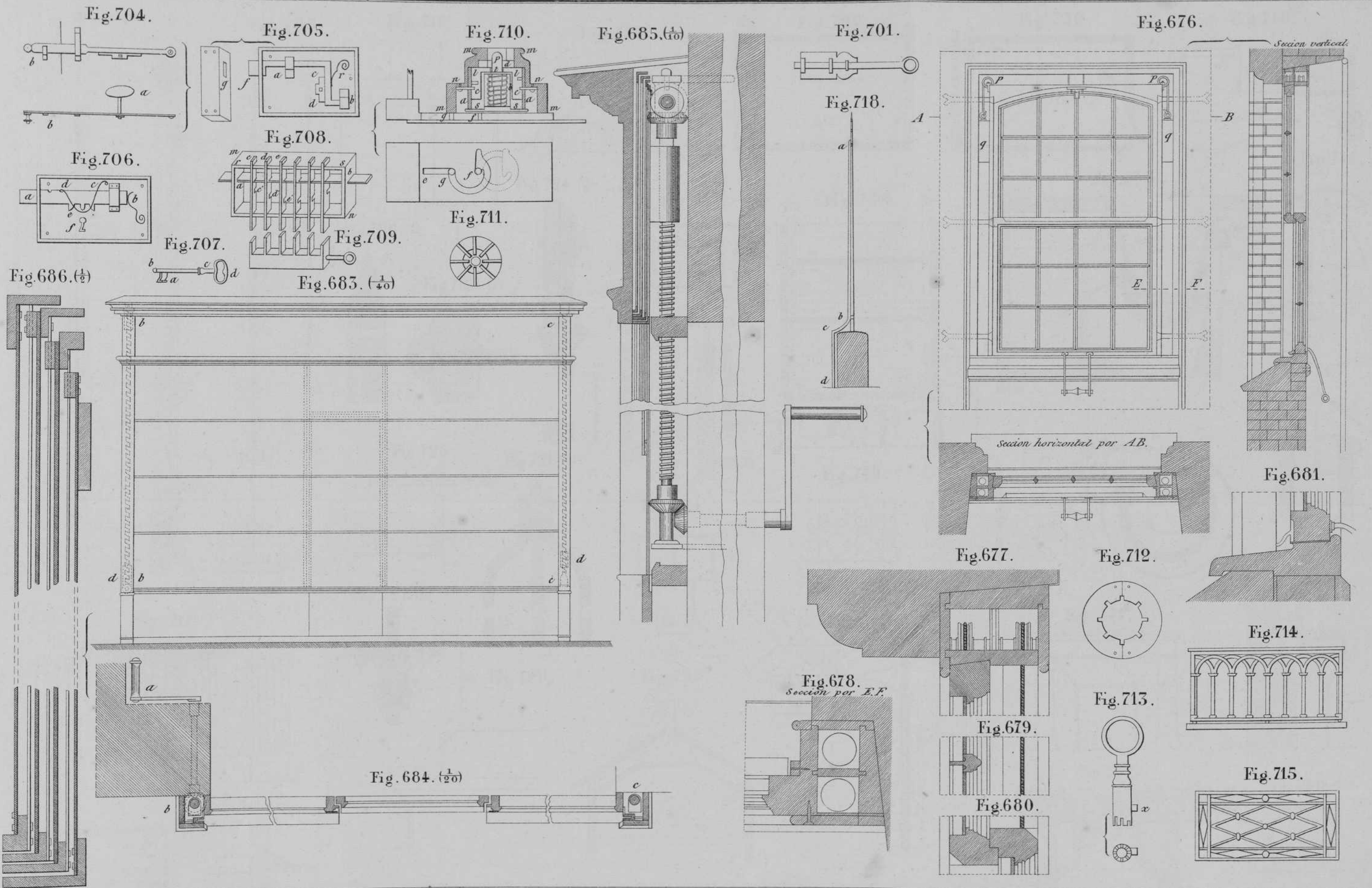
Fig.666.

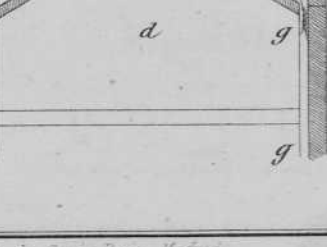
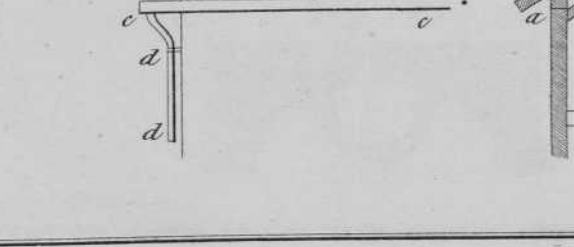
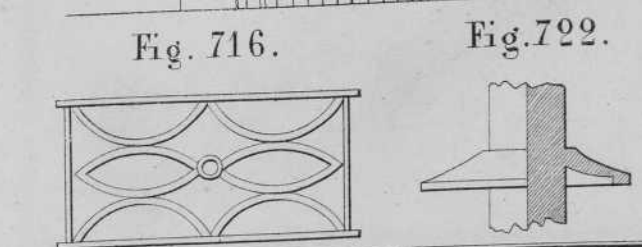
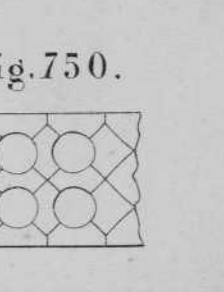
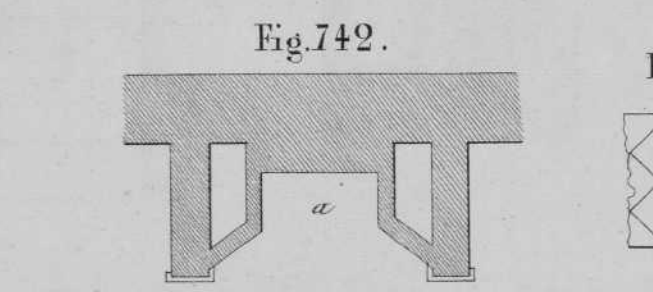
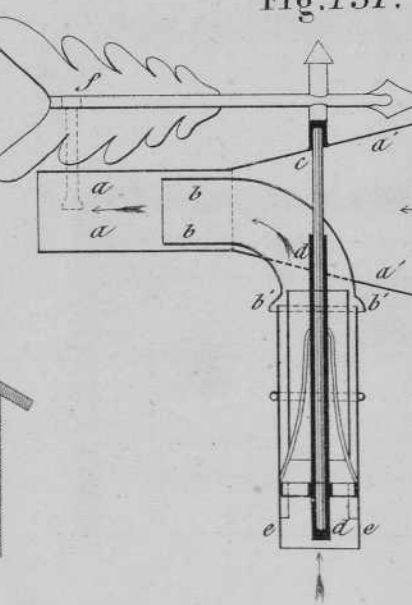
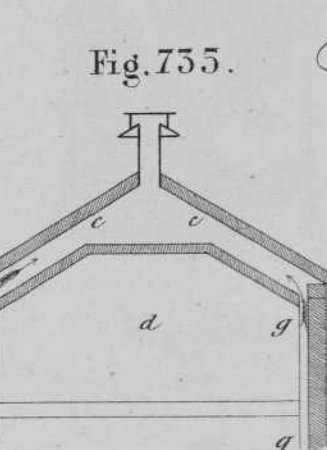
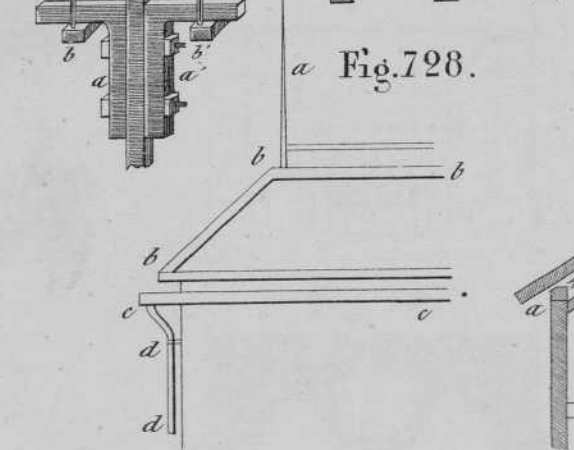
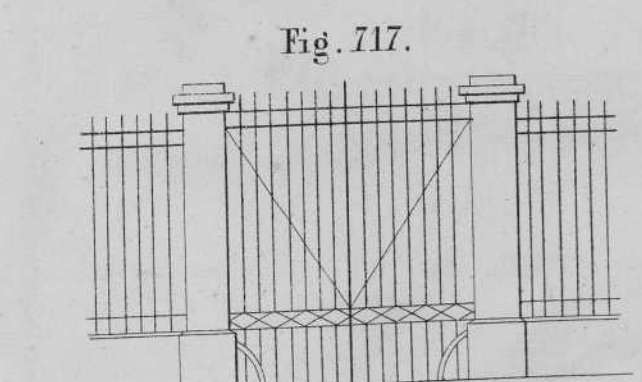
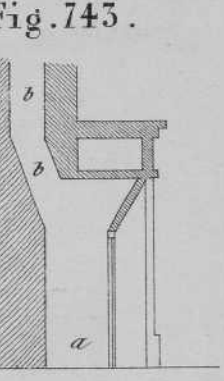
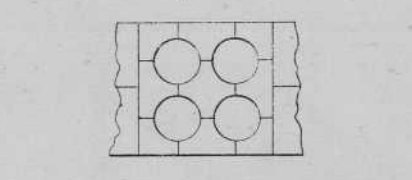
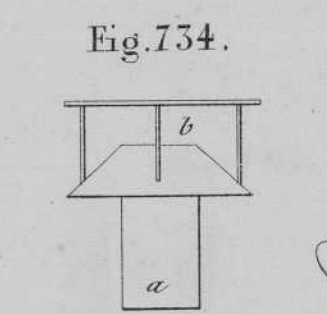
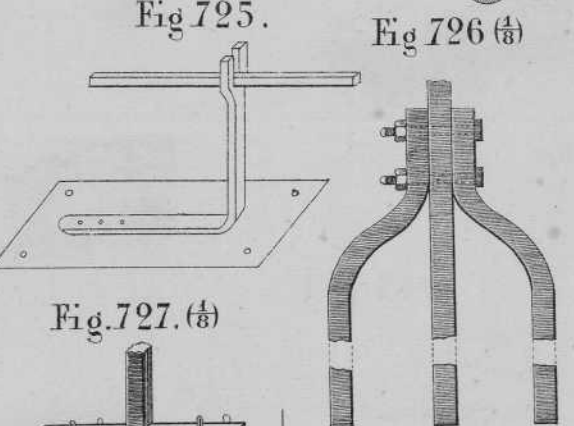
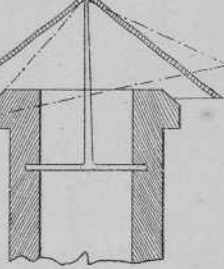
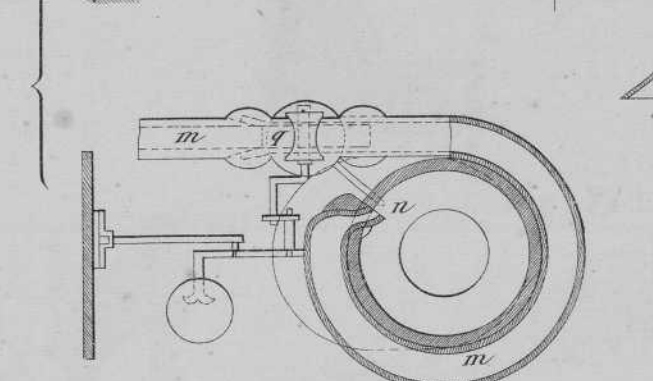
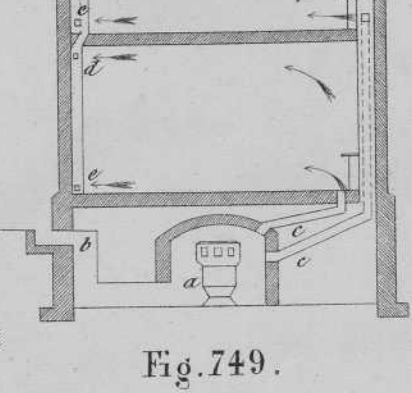
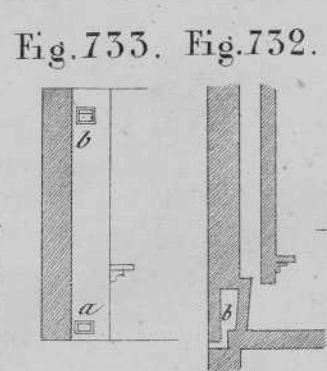
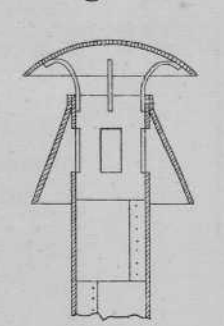
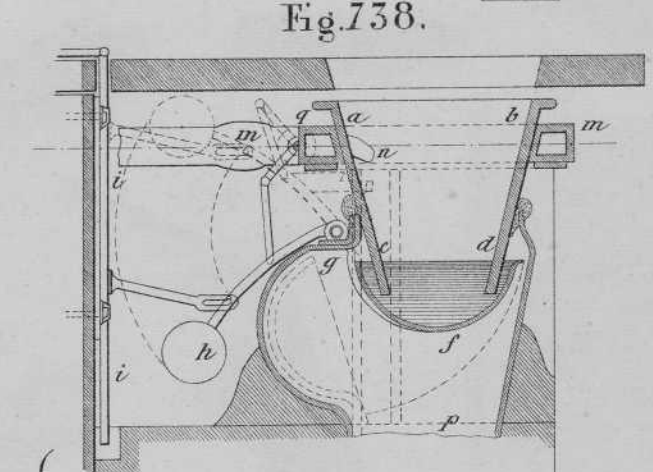
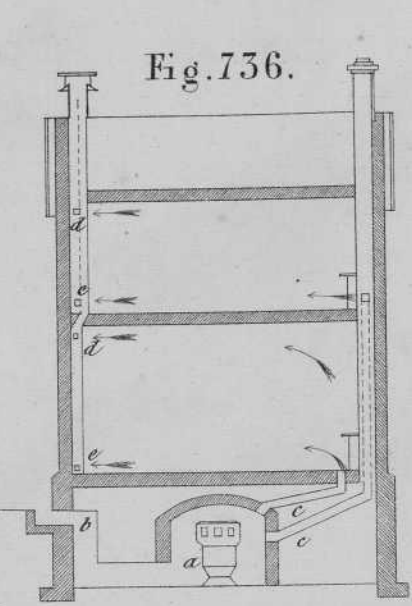
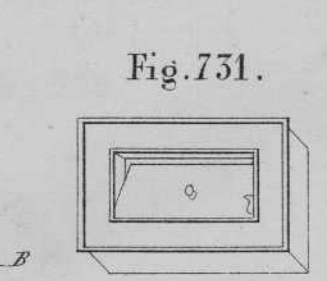
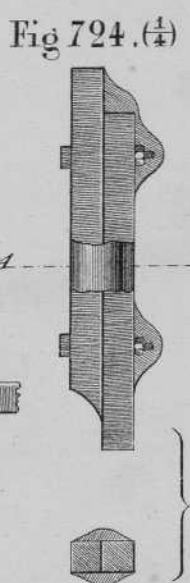
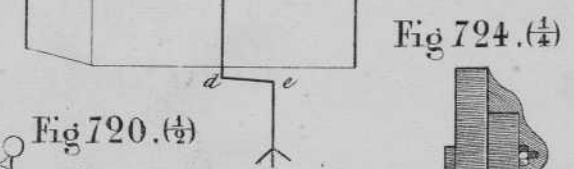
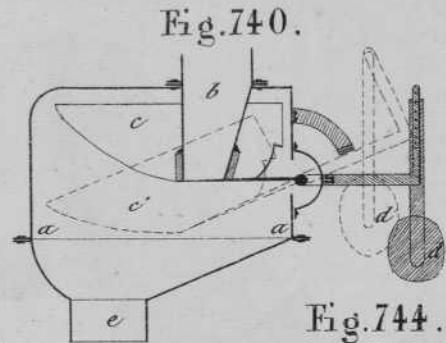
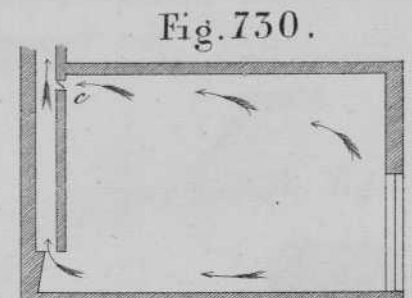
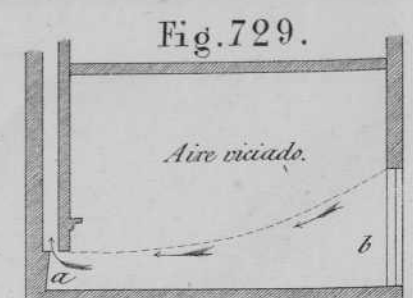
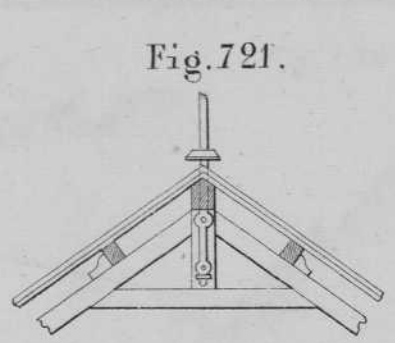
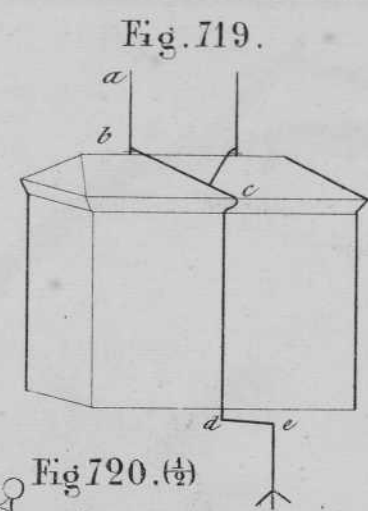
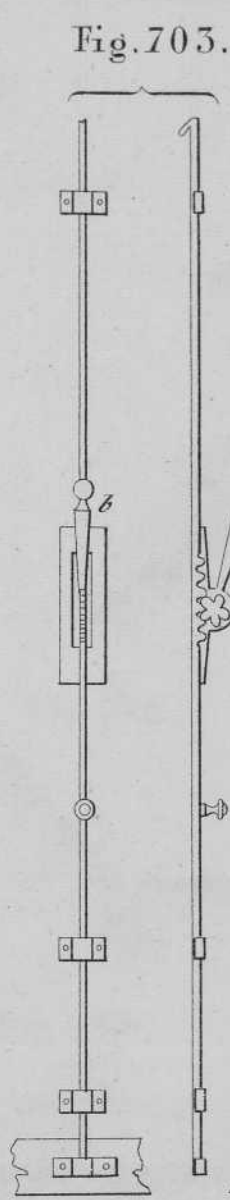
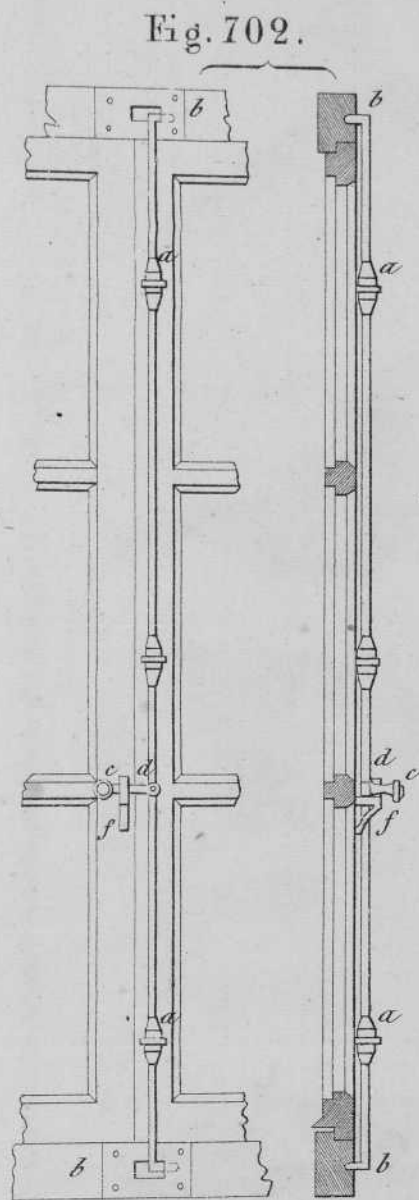


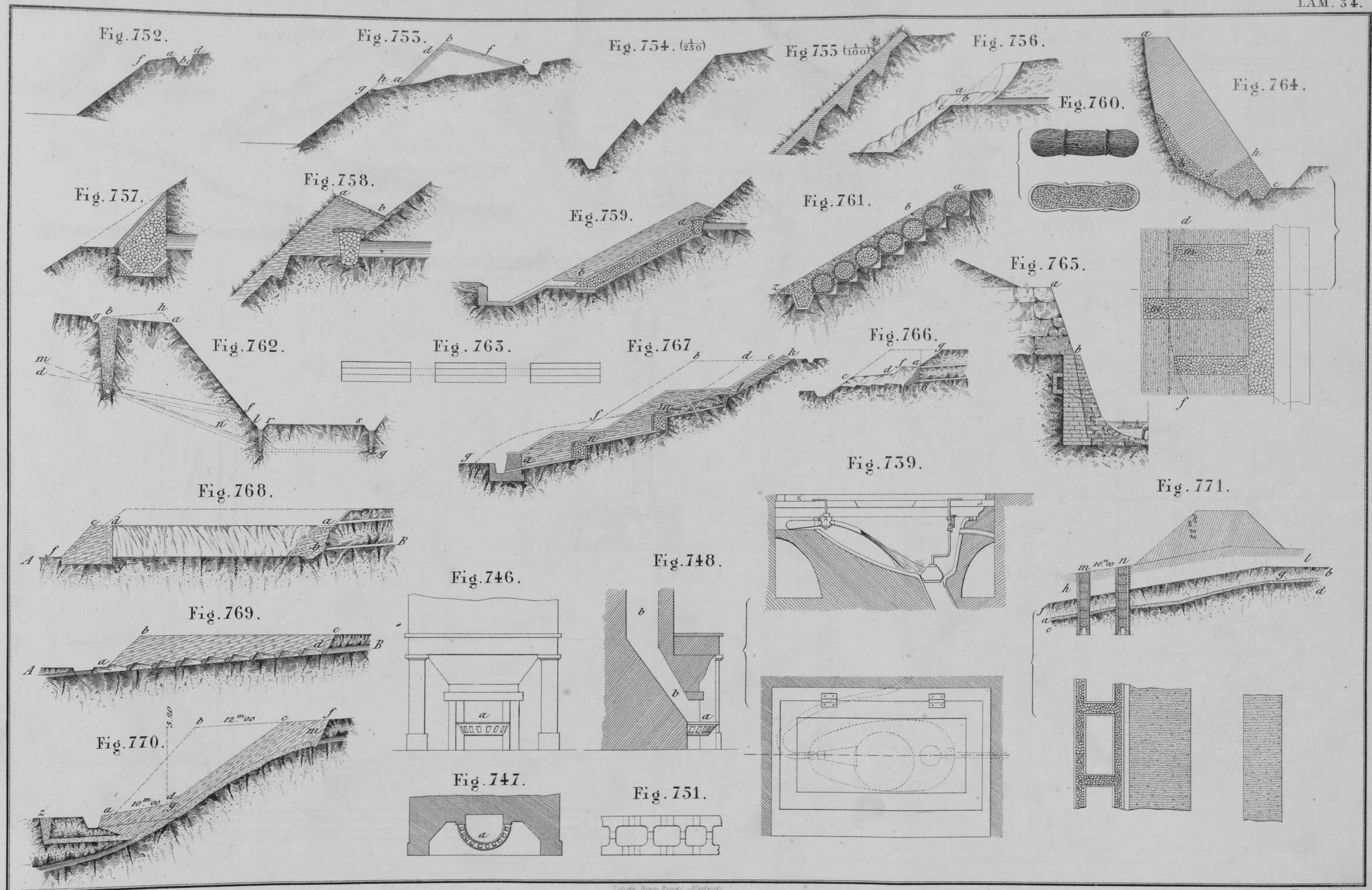
Fig.651.

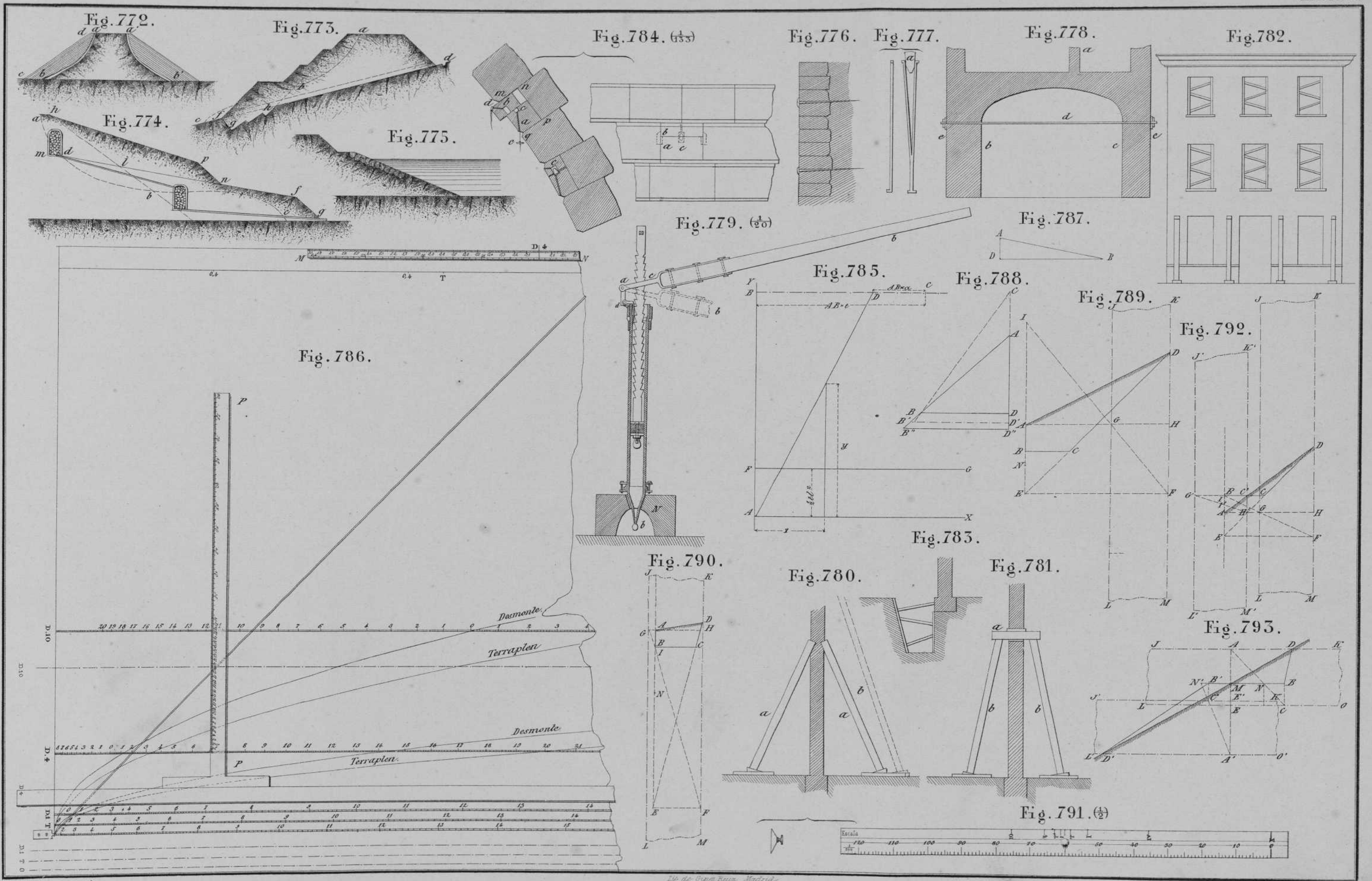












J. Mendez, grabó.

Imp. de G. Riva, Madrid.

Reb. dir.



